



سنتز و بررسی نانو ذرات طلا در اندازه گیری داروها
براساس ویژگی تجمع آن ها با استفاده از ابزارهای
کمومتریکس

مؤلف:

سکینه علیزاده

شابک	: ۹۷۸-۶۰۰-۴۶۵-۷۰۹-۹
شماره کتابشناسی ملی	: ۵۳۵۳۰۱۵
عنوان و نام پدیدآور	: سنتز و بررسی نانو ذرات طلا در اندازه‌گیری داروها براساس ویژگی تجمع آن‌ها با استفاده از ابزارهای کمومتریکس / مولف سکینه علیزاده.
مشخصات نشر	: تهران: انتشارات راه دکتری: گروه آموزشی مدرس، ۱۳۹۷.
مشخصات ظاهری	: ۱۱۴ ص.
موضوع	: داروها -- تجزیه و آزمایش
موضوع	: Drugs -- Analysis
موضوع	: تجزیه دستگاهی
موضوع	: Instrumental analysis
موضوع	: نانوذرات
موضوع	: Nanoparticles
موضوع	: ترکیب‌های طلا
موضوع	: Gold compounds
ردی بندی دیوبی	: ۱۹۰۱/۶۱۵
ردی بندی کنگره	: ۱۳۹۷۱۸۹RS
سرشناسه	: علیزاده، سکینه، -۱۳۶۴
وضعیت فهرست نویسی	: فیبا



عنوان: سنتز و بررسی نانو ذرات طلا در اندازه‌گیری داروها براساس ویژگی تجمع آن‌ها با استفاده از ابزارهای کمومتریکس
مولف: سکینه علیزاده.

تیراز: ۵۰۰ نسخه

ناشر: انتشارات راه دکتری: سنجش و دانش

نوبت چاپ: اول ۱۳۹۷

صفحه آرایی: مهتاب دوستی

طراح جلد: مهتاب دوستی

قیمت: ۱۸۰.۰۰۰ ریال

کلیه حقوق مادی و معنوی برای مولف محفوظ می‌باشد

www.rezomephd.ir

www.sanjesh.ir

تعددیم به پرورهای عزیزم

سپاس و ستایش مرخدای راجل و جلاله که آثار قدرت او بر پهره روز روشن، تماش است و انوار حکمت او در دل شب تار،
دفچان. آفریدگاری که خویشتن را به ما شناسند و در های علم را برم اکشود و عمری و فرصتی عطا فرمود تا بدان، بنده ضعیف خویش را در
طریق علم و معرفت بیازماید. سپاس او را که هرچه دارم از اوسست. به امید آنکه توفیق یابم بجز خدمت به خلق او نکوشم. خدای را
بی شکرم که از روی کرم پرورهای فداکار نصیم ساخته تا در سایه دخت پربار وجودشان بیاسایم و از ریشه آنها شاخ و
برگ کسیرم و از سایه وجودشان در راه کسب علم و دانش تلاش نمایم. والدینی که بودشان تاج افتخاری است بر سرم و نامشان
دلیلی است بر بودنم چرا که این دو وجود پس از پرورهگاریم، هستی ام بوده
اند دستم را که فتن و راه رفتن را در این وادی زندگی پر از فرازو نشیب آموختند.

فهرست مطالب

صفحه

عنوان

۱	نانو فناوری
۳	پیشینه‌ی نانو فناوری
۳	کاربردهای نانو فناوری
۶	خواص نوری
۷	تجمع
۷	نانو بیو تکنولوژی
۸	اهمیت مقیاس نانو برای شرکت در آزمون می باشد وارد سیستم شوید
۹	تغییر رنگ :
۱۰	تغییر شفافیت :
۱۰	تغییر خواص مغناطیسی:
۱۱	تغییر واکنش پذیری:
۱۲	خواص نانوذرات
۱۲	افزایش نسبت مساحت سطحی به حجم
۱۳	اثرات کوانتمی
۱۳	شاخه‌های فناوری نانو
۱۴	انوفناوری مرتبط:
۱۴	نانوفناوری خشک:
۱۴	نانوفناوری محاسبه ای:
۱۵	روش‌های شناسایی نانوذرات
۱۵	میکروسکوپ الکترونی عبوری (TEM)
۱۶	میکروسکوپ الکترونی روبشی (SEM)
۱۷	پراش اشعه ایکس (XRD)

۱۷	تاریخچه‌ی نانوذرات طلا
۱۸	کاربرد نانوذرات:
۱۹	نظریه مای و SURFACE PLASMON RESONANCE(SPR) رزونانس پلاسمون سطحی
۲۰	روش‌های سنتز نانوذره‌ی طلا
۲۰	روش ترکویج
۲۱	روش براست
۲۲	اصلاح نانوذرات طلا
۲۲	نانو ذرات طلا به عنوان پروب‌های کالریمتری
۲۳	سینتیک شیمیایی
۲۴	تجزیه سینتیکی
۲۵	پارامترهای ترمودینامیک و ماهیت انرژی آزاد نیروهای پیوندی، آنتروپی و آنتالپی
۲۵	مفهوم آرنیوس انرژی فعال سازی
۲۶	تئوری برخورد
۲۶	تئوری حالت گذار
۲۷	محدودیتهای ایده انرژی فعال سازی آرنیوس
۳۰	کمومتریکس
۳۱	آنالیز اجزای اصلی (PCA)
۳۲	انواع داده ها
۳۲	داده های مرتبه صفر
۳۳	داده های مرتبه یک
۳۳	داده های مرتبه دو
۳۴	داده های مرتبه سه
۳۴	رگرسیون کمترین مربعات نسبی (رگرسیون PLS)
۳۶	طیف‌سنجی نوری (اسپکتروفوتومتری)
۳۹	مقدمه

۳۹ بهینه سازی غلظت معرف اصلاح گر
۴۰ بهینه سازی غلظت NaCl
۴۱ بهینه سازی PH
۴۲ بهینه سازی زمان انکوبه شدن
۴۳ توسعه مدل PLS
۴۴ محدوده خطی منحنی های کالیبراسیون
۴۷ تعیین همزمان FA و HEM
۵۱ بررسی مزاحمت
۵۳ تجزیه نمونه حقیقی
۵۶ مقدمه
۵۶ بهینه سازی غلظت عامل اصلاح کننده
۵۷ بهینه سازی غلظت NaCl
۵۸ بهینه سازی PH
۵۹ بهینه سازی زمان انکوبه کردن
۶۰ توسعه مدل PLS
۶۲ محدوده خطی منحنی های کالیبراسیون
۶۵ تعیین همزمان Cd2+ + Hg22+
۶۹ بررسی مزاحمت
۷۰ تجزیه نمونه حقیقی
۷۳ مقدمه
۷۴ بهینه سازی شرایط
۷۴ بهینه سازی غلظت NaCl
۷۵ بهینه سازی PH
۷۶ بهینه سازی زمان انکوبه شدن
۷۶ بهینه سازی دما

۷۷	توسعه مدل PLS
۷۸	اعتبارسنجی روش
۸۱	بررسی تعیین همزمان مورفین و ایبو بروفن
۸۶	بررسی اثر مزاحمت
۸۷	تجزیه نمونه حقیقی
۹۰	مقدمه
۹۰	بهینه سازی شرایط آزمایش
۹۰	بهینه سازی غلظت NaCl
۹۱	بهینه سازی PH
۹۲	بهینه سازی زمان انکوبه شدن
۹۳	توسعه مدل PLS
۹۴	اعتبارسنجی روش
۹۷	تعیین همزمان BET و NEP
۱۰۳	بررسی اثر مزاحمت
۱۰۴	تحلیل نمونه حقیقی
۱۰۷	منابع

١- مقدمة

نانو فناوری

نانو فناوری یک مجموعه از فناوری‌های است که ویژگی مشترک آن‌ها داشتن یک بعد در مقیاس نانومتر است. منظور از مقیاس نانو ابعادی در حدود ۱ تا ۱۰۰ نانومتر می‌باشد. ترتیب قرار گرفتن اتم‌ها در کنار هم، خواص ماده حاصل را تعیین می‌کند در فناوری نانو انسان دست در ساختار ماده برد و به هر نحو دلخواه اتم‌ها را کنار هم قرار می‌دهد.

این فناوری تمام علوم اعم از شیمی، فیزیک کوانتوم، بیوشیمی، بیولوژیکی، پزشکی و ... را در بر می‌گیرد [۳]. ذرات نانومتری به عنوان مواد پیش سازنده برای تولید ساختارها و ادوات پیچیده به شمار می‌روند و استفاده از آن‌ها سبب بهبود و تغییر پدیده‌های فیزیکی- شیمیایی یا فرایندهای بیولوژیکی می‌گردد و باعث بروز خواص جدیدی می‌شود [۴]. فناوری نانو نقطه همگرایی علوم مختلف در آینده است. به عبارتی فناوری نانو یک علم جدید نیست بلکه یک رویکرد جدید در تمام علوم می‌باشد که زندگی اجتماعی انسان و توسعه همه جانبه آن وابستگی شدیدی به آن داشته و اغلب این وابستگی‌ها نتیجه اثرات مثبت و سازنده آن می‌باشد. نمونه‌هایی از این اثرات مثبت عبارتند از: کاهش مصرف مواد اولیه و هزینه‌های تولید، کاهش آلودگی‌های محیط زیست، طراحی وسایل و ابزارهای دقیق در مهندسی پزشکی، رساندن میزان مناسب دارو به سلول‌های بیمار و ... [۳,۵].

نانوذرات (NPs) کاربردهای گسترده‌ای در زمینه‌هایی مانند بهداشت، لوازم آرایشی، غذا و تغذیه، بهداشت محیط، مکانیک، اوپتیک، مراقبت‌های بیومدیکال، صنایع شیمیایی ، الکترونیک، صنایع فضایی، تحویل دارو - ژن ، علوم انرژی، اوپتوالکترونیک ، کاتالیزورها، ترانزیستورهای تک الکترونی، نشر کننده‌های نور، دستگاه‌های نوری غیر خطی و کاربردهای فتوالکتروشیمیایی دارد[۶].

پیشینه‌ی نانو فناوری

در طول تاریخ بشر از زمان یونان باستان، مردم و به خصوص دانشمندان آن دوره بر این باور بودند که مواد را می‌توان آنقدر به اجزاء کوچک تقسیم کرد تا به ذراتی رسید که خرد ناشدنی هستند و این ذرات بنیان مواد را تشکیل می‌دهند، شاید بتوان دموکریتوس فیلسوف یونانی را پدر فناوری و علوم نانو دانست چرا که در حدود ۴۰۰ سال قبل از میلاد مسیح او اولین کسی بود که واژه اتم را که به معنی تقسیم‌نشدنی در زبان یونانی است برای توصیف ذرات سازنده مواد به کار برد [۶۷]. نقطه شروع و توسعه اولیه فناوری نانو به طور دقیق مشخص نیست. شاید بتوان گفت که اولین متخصصان نانو فناوری شیشه‌گران قرون وسطایی بوده‌اند که از قالب‌های قدیمی^۱ برای شکل‌دادن شیشه‌هایشان استفاده کرده‌اند. البته این شیشه‌گران نمی‌دانستند که چرا با اضافه کردن طلا به شیشه رنگ آن تغییر می‌کند [۹].

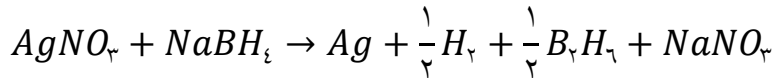
کاربردهای نانو فناوری

زمینه‌های کاربردی بالقوه نانو فناوری عبارتند از: الکترونیک، ارتباطات، برق، کامپیوتر، صنایع شیمیایی، داروسازی، بهداشت و محیط زیست، فناوری اطلاعات، بیوتکنولوژی، پژوهشکی و انرژی. کاربردهای متنوع و وسیع دیگر از جمله تولید نانو حسگرهای غبارهای هوشمند، نانو حسگرهای گازی، نانو غشاء‌ها، نانو پودرهای نانو تیوب‌های جاذب گازهای سمی و ... می‌باشند [۵].

برای مثال اثر شگفت‌انگیز نانوذرات بر رنگ از زمان‌های باستان که ذرات ریز فلزی برای رنگ کردن شیشه در پنجره‌های کلیساها استفاده می‌شد شناخته شده است. ذرات نقره شیشه را

زرد می کرد در حالی که ذرات طلا برای تولید رنگ عقیق استفاده می شد. در اجرای آزمایشات توصیف شده در اینجا دانش آموزان رنگ زرد روش نانوذرات نقره را در مقایسه با محلول بی رنگ نقره نیترات و نقره فلزی مشاهده خواهند کرد [۱۰]. تعیین یک مجموعه بهینه از شرایط برای سنتز نانوذرات نقره در بخش های بعد توضیح داده شده است. روش ساده و راحت که از محلول های رقیق آبی استفاده می کند می تواند روی میز به راحتی انجام شود و نیازمند تجهیزات ساده مانند طیف سنج Spectronic-۲۰ و صفحه همز مغناطیسی است. واکنش شیمیایی، احیای سدیم بوروهیرید نقره نیترات است [۱۰, ۱۱]:

(۱-۱)



این روش نانوذراتی به ابعاد $2nm \pm 12$ تولید می کند. جذب پلاسمون نزدیک به 400 nm و پهنهای پیک در نصف حداکثر^۱ ($PWHM$) $70\text{ nm} - 50$ است. نحوه انجام آزمایش با جزئیات در پایین توصیف شده است که شامل استفاده از میکروسکوپی عبور الکترون^۲ (TEM) (TEM) می توانند در یک آزمایش برای دروس سطح بالاتر تعمیم یابند) [۱۲].

ارتباط بین تجمع و خواص نوری به همراه روش حفاظت از ذرات با استفاده از پلی وینیل پیرولیدون تعیین شد. در طراحی یک آزمایش شامل سنتز نانوذرات فلزات نجیب برای یک کلاس شیمی عمومی چند جلسه ای، هزینه یک مشکل اساسی بود. چون هیدروژن تراکلرواورات (III) تری هیدرات، $H_3OCl_0.3H_2O$ استفاده شده در تهیه محلول کلوجیدی طلا حدود ۲۵ برابر

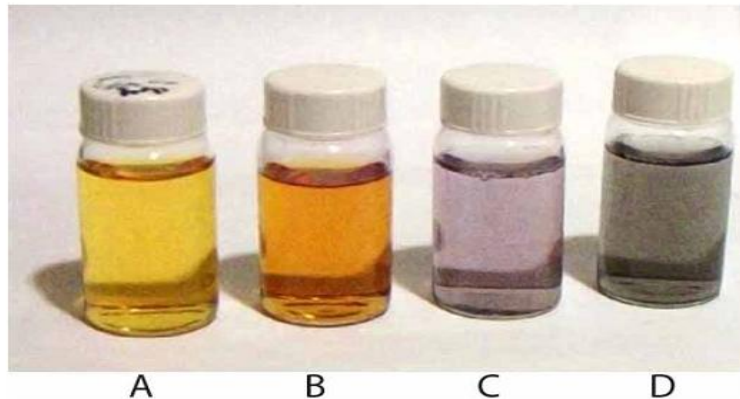
Peak width at half maximum ($PWHM$)^۱
Transmission Electron Microscopy (TEM)^۲

گرانتر از نقره نیترات ۲ است آزمایش انتخاب شده برای توسعه، سنتز و تحقیق نقره کلوئیدی بود. چندین روش احیای شیمیایی برای سنتز نانوذرات نقره از نمک های نقره استفاده شد [۱۲]. واکنش هایی که در این جا در نظر گرفته می شوند محدود به استفاده از نقره نیترات به عنوان ماده آغازین بودند.

انتخاب معرف احیا، مقادیر نسبی و غلظت های معرف ها، دما، مدت واکنش و قطر نانوذرات تولیدی متفاوت بود. تقریبا در تمامی آن ها محصولات نقره کلوئیدی به صورت کدر و زرد مایل به سبز یا قهوه ای بود. نقره کلوئیدی زرد با واکنش سدیم بوروهیدرید بسیار سرد گزارش شد و اساس روش استفاده شده در آزمایش بعد است. روش سنتز توسعه یافته برای این آزمایش یک کلوئید زرد نقره پایدار می سازد به شرطی که شرایط به خوبی کنترل شده باشند. نقره نیترات ($AgNO_3$ ۷۹%) و سدیم بوروهیدرید ($NaBH_4$ ۹۹%) از شرکت مواد شیمیایی آلدریچ خریداری شد. آب قطر استفاده شد. شیشه ها با فرو بردن در KOH الکلی شسته شدند. مقدار مازاد سدیم بوروهیدرید برای احیای نقره یونی و پایدارسازی نانوذرات نقره لازم است [۱۴].

حجم 10 mL از نقره نیترات 1.0 mmol L^{-1} به صورت قطره ای (۱ قطره در ثانیه) به 30 mL محلول سدیم بوروهیدرید 2.0 mmol L^{-1} که در حمام یخ سرد شده بود اضافه شد. مخلوط واکنش به شدت در یک صفحه همزن مغناطیسی هم زده شد. پس از افزایش 2 mL نقره نیترات ، محلول زرد کمرنگ شد و پس از افزایش کل نقره محلول زرد روشن تر شد (شکل ۱A). کل افزایش تقریباً سه دقیقه طول کشید که پس از آن هم زدن متوقف شد و میله همزن برداشته شد [۱۵]. نقره کلوئیدی زرد شفاف سمت چپ شکل ۱ در دمای اتاق پایدار است و در ظرف شفاف به مدت چند هفته یا چند ماه قابل نگهداری است. شرایط واکنش شامل زمان هم زدن و مقادیر نسبی معرف ها (تعداد مطلق مول های هر واکنشگر و مولاریته نسبی آن ها) باید به

خوبی کنترل شود تا نقره کلوئیدی زرد پایدار حاصل شود. اگر هم زدن ادامه یابد (پس از افزودن کل نقره) تجمع آغاز می یابد و محلول زرد ابتدا به زرد تیره (شکل ۱-۱B) و سپس بنفش (شکل ۱-۱C) و در نهایت خاکستری (شکل ۱-۱D) تبدیل می شود که پس از آن کلوئید تخریب شده ذرات رسوب می کنند. تجمع مشابه می تواند زمانی رخ دهد که واکنش قبل از افزودن کل نمک نقره مختل شود [۱۶].



شکل ۱-۱. نقره کلوئیدی در مراحل مختلف تجمع (الف) زرد واضح ب) زرد تیره ج) بنفش د) خاکستری درجهت پیشرفت تجمع.

خواص نوری

رنگ های بارز طلا و نقره کلوئیدی به دلیل پدیده ای به نام جذب پلاسمون است. نور تابیده شده نوساناتی در الکترون های هدایت در سطح نانوذرات ایجاد کرده تابش الکترومغناطیس جذب می شود. طیف نقره کلوئیدی زرد شفاف است. برای تنظیم حداکثر جذب بین ۰.۵ و ۰.۷، محلول با آب قطر رقيق شد. رزونانس پلاسمون پیکی در نزدیکی 400 nm با PWHM بین $50-70\text{ nm}$ تولید می کند. طول موج حداکثر جذب پلاسمون در یک محلول می تواند برای نشان دادن اندازه ذره بکار رود. نانوذرات نقره که تولید می شوند ($\lambda_{max} = 400\text{ nm}$) با استفاده از

میکروسکوپی الکترونی عبوری (TEM) بررسی شدند. یک نمونه از نانوذرات نقره از محلول تازه تهیه شده زرد شفاف با خشک کردن یک قطره کوچک روی یک شبکه مس با پوشش کربنی با مش ۲۰۰ تهیه شد [۱۷].

تجمع ۱

احتمال تجمع در زمان سنتز در بالا مطرح شد. جذب سطحی بوروهیدرید نقش کلیدی در پایدارسازی نانوذرات در حال رشد با ارائه بار سطحی دارد. باید بوروهیدرید کافی برای پایدارسازی ذرات با پیشرفت واکنش وجود داشته باشد. با این حال ، مقدار بیش از حد سدیم بوروهیدرید قدرت یونی کلی را افزایش داده تجمع را آغاز می کند. تجمع نیز می تواند با افزایش الکترولیت هایی مانند NaCl انجام گیرد. نانوذرات با نیروهای الکترواستاتیک دافعه بین ذرات به دلیل بوروهیدرید جذب سطحی شده معلق باقی می مانند. نمک از بارها محافظت کرده به ذرات اجازه می دهد تا با هم قفل شده کلوخه ها را تشکیل دهند. محلول نقره کلوئیدی به تدریج زرد تیره ، بنفش ، و سپس خاکستری می شود [۱۸] (شکل ۱-۱).

نانو بیو تکنولوژی

نانوبیوتکنولوژی یک زمینه علمی با رشد سریع رد تولید دستگاه هاست. یک زمینه مهم تحقیقاتی در نانوبیوتکنولوژی سنتز NP های با ترکیب شیمیایی، اندازه و مورفولوژی متفاوت و پراکندگی کنترل شده است. نانوبیوتکنولوژی به عنوان یک بخش ابتدایی از نانوتکنولوژی مدرن و علوم مواد جدید مطرح شده است که به دلیل کاربردهای قدرتمندش توجه جهانی را به خود جلب کرده است. این یک روش چند نظامی است که از کاربرد تحقیقاتی NP ها در سیستم های

زیستی از جمله نظام های زیست شناسی ، بیوشیمی، شیمی، مهندسی، فیزیک و پزشکی حاصل می شود [۱۹]. به علاوه نانو بیوتکنولوژی به عنوان یک تکنیک الزامی در توسعه رویه های تمیز، غیر سمی و دوستدار محیط زیست برای سنتز و تجمع NP های فلزی با قابلیت ذاتی احیای فلزات از طریق مسیرهای متابولیک ویژه عمل می کند [۲۰].

امروزه نیاز فزاینده ای به توسعه فرایندهای دوستدار محیط زیست وجود دارد که از مواد شیمیایی سمی در پروتکل های سنتز استفاده نمی کنند. سنتز سبز شامل پلی اوکسومتالاتهای با ظرفیت های مختلف، پلی ساکاریدها ، تولنز و روش های زیستی و تابشی است که مزایایی نسبت به روش های مرسوم با معرف های شیمیایی سمی برای محیط دارند. انتخاب محیط حلال و انتخاب عوامل کاهنده و پایدارکننده غیرسمی دوستدار محیط زیست مهم ترین مسائل هستند که باید در سنتز سبز NP ها در نظر گرفته شوند [۲۱].

NP های نقره به دلیل خواص منحصر به فرد مورد توجه هستند که می توانند در کاربردهای ضد میکروبی ، مواد بیوسنسور، فیبرهای کامپوزیت، مواد ابررسانای کرایوژنی، محصولات آرایشی و قطعات الکترونیکی استفاده شوند. برخی کاربردهای مهم NP های نقره در پزشکی، داروسازی و دندانپزشکی است [۲۲].

اهمیت مقیاس نانو برای شرکت در آزمون می باشد وارد سیستم شوید

نانومتر یک واحد اندازه‌گیری است برابر با 10^{-9} متر و تمام اشیاء و موجوداتی که اندازه آنها در حد ۱ تا 100 نانومتر است را نانومقیاس می نامند. خواص مواد به دو بخش خواص فیزیکی و خواص شیمیایی تقسیم‌بندی می‌شود. تجربه نشان داده ویژگی‌های یک ماده خالص، تا حد قابل قبولی ثابت است و این امر سبب می‌شود که ما بتوانیم مواد را از روی خواصشان شناسایی کنیم.

اما یافته‌های دانشمندان نشان می‌دهد که یک ماده در اندازه نانومتر، ویژگی‌های متفاوتی با ذرات بزرگتر از خود را خواهد داشت. این در حالی است که کوچک کردن ذرات، یک تغییر فیزیکی است و ما انتظار داریم که با این تغییر فیزیکی، ویژگی‌های اصلی ماده تغییر نکند [۲۳].

۱-۱- تأثیر تغییر اندازه در خواص شیمیایی مواد

از جمله تغییرات شیمیایی که بر اثر کوچک شدن ذرات تا اندازه نانومتری به وجود می‌آید عبارت اند از:

تغییر رنگ :

ذرات حاصل از شکستن یک شیشه هر چه قدر هم که کوچک باشند، باز به بی‌رنگی و شفافیت شیشه اولیه هستند. اما این قاعده در مقیاس نانو صادق نیست. یعنی موادی وجود دارند که رنگ ذرات چند نانومتری آنها، با رنگ ذرات بزرگ‌ترشان متفاوت است. طلا و نقره، شناخته شده‌ترین نمونه‌های این مواد هستند. مثال اتم طلا در اندازه ۳۰ تا ۵۰۰ نانومتر به رنگ آبی، در اندازه ۳ تا ۳۰ نانومتر به رنگ قرمز و در اندازه‌ی کمتر از ۱ نانومتر به رنگ زرد است. اما از آن غیرعادی‌تر این است که نانو ذرات نقره با تغییر شکل هندسی هم تغییر رنگ می‌دهند! برای مثال: نانو ذرات کروی نقره ۴ نانومتری به رنگ آبی پر رنگ، نانو ذرات کروی نقره ۸۰ نانومتری آبی کم رنگ، نانو ذرات کروی نقره ۱۲۰ نانومتری زرد رنگ، نانو ذرات کروی طلا ۵۰ نانومتری سبز رنگ، نانو ذرات کروی طلا ۱۰۰ نانومتری نارنجی رنگ و نانو ذرات هرمی شکل طلا ۱۰۰ نانومتری قرمز رنگ هستند.

تغییر شفافیت :

شفافیت، یک خاصیت فیزیکی است و نشان دهنده میزان توانایی یک ماده، در عبور دادن نور مرئی از خود است. یک پرتو نور در برخورد با سطح ماده می‌تواند از آن عبور کند یا جذب آن گردد یا بازتاب شود. اگر ماده‌ای پرتوهای نور را جذب کند و یا آنها را بازتاب کند نور را مسدود کرده است. مواد مختلف بسته به عملکردشان در برابر تابش نور، می‌تواند کاربردهای فراوانی داشته باشد. به عنوان مثال اکسید روی و اکسید تیتانیوم نور ماوراء بنفش را کاملاً جذب می‌کنند و نور مرئی را بازتاب می‌کنند. این مواد، که به رنگ سفید دیده می‌شوند، گزینه‌های بسیار مناسبی برای کرم‌های ضد آفتاب هستند. البته افراد بسیاری، رنگ سفیدی را که این کرم‌ها بر روی پوست ایجاد می‌کنند، دوست ندارند. خوشبختانه این مشکل را می‌توان با کوچک کردن اندازه ذرات این مواد حل کرد.

نانوذرات اکسید روی و اکسید تیتانیوم، با وجود اینکه نور ماوراء بنفش را کاملاً جذب می‌کنند، برخلاف ذرات بزرگتر کاملاً شفاف هستند. البته این امر، ناشی از عبور نور مرئی از این ذرات نیست، بلکه به سبب آن است که اندازه نانوذرات اکسید روی و اکسید تیتانیوم، کوچک‌تر از طول موج نور مرئی (۴۰۰–۷۰۰ نانومتر) است و از این رو این ذرات توانایی بازتابش نور مرئی را ندارند.

تغییر خواص مغناطیسی:

سیال مغناطیسی (فروفلوید)، مایعی است متشکل از نانوذرات فرومغناطیس (مانند آهن و کبات) که در آب یا یک حلال آلی معلق شده‌اند. این مایع در حضور یک آهنربا (میدان مغناطیسی) خاصیت مغناطیسی بسیار قوی از خود نشان می‌دهد؛ به نحوی که با حرکت آهنربا در

اطراف این مایع می‌توان آنرا به شکل‌های سه بعدی زیبایی درآورد. البته این سیال تا زمانی از خود چنین خاصیتی نشان می‌دهد، که ذرات نانومتری آن (تحت نیروهای بین‌مولکولی) به یکدیگر نسبتند.

تغییر واکنش پذیری:

خواص شیمیایی یک ماده، خواصی هستند که به طور مستقل نمی‌توان آنها را اندازه‌گیری کرد. به این معنا که مقدار یک خاصیت شیمیایی، در طی واکنش و برهمکنش یک ماده با مواد دیگر مشخص می‌شود. واکنش‌پذیری یا تمایل یک ماده برای واکنش با سایر مواد، از جمله مهمترین خواص شیمیایی است. به طور مثال سدیم، لیتیم یا پتاسیم در تماس با آب به سرعت واکنش داده و شعله ور می‌شوند. همه اینها عناصری هستند که به شدت واکنش‌پذیرند؛ تا آنجا که نمی‌توان آنها را مانند سایر عناصر در تماس با هوا نگه داشت. اما در مقابل با انداختن یک انگشت طلا در یک لیوان آب اتفاقی نمی‌افتد و یا پنجره‌های آلومینیومی بدون هرگونه مشکلی در مجاورت هوا استفاده می‌شوند (البته این به مدد لایه مقاوم اکسیدی است که بر روی سطح آلومینیوم تشکیل می‌شود). اما همین مواد در مقیاس نانو، رفتار متفاوتی از خود نشان می‌دهند. واکنش‌پذیری مواد در مقیاس نانو افزایش چشمگیری پیدا می‌کند. در این مقیاس ذرات طلا نه تنها واکنش‌پذیری بالایی دارند، بلکه برای افزایش سرعت واکنش مواد دیگر (به عنوان کاتالیزگر) نیز استفاده می‌شوند. نانوذرات آلومینیوم در هوا آتش می‌گیرند و می‌توان از آنها به عنوان سوخت موشک استفاده کرد. افزایش واکنش‌پذیری مواد در این مقیاس، امکان ساخت کاتالیزگرهای بسیار قوی‌تری را برای ما فراهم کرده است. تا آنجا که پیش‌بینی می‌شود بتوانیم با استفاده از

نانوکاتالیزگرهای واکنش‌های بازگشت‌ناپذیر بسیاری را (مانند تشکیل گازهای سمی NO و CO) در دما و فشار محیط برگشت‌پذیر کنیم [۲۴].

خواص نانوذرات

دو مورد مهم از خواص فیزیکی نانوذرات:

۱. افزایش نسبت مساحت سطحی به حجم
۲. ورود اندازه ذره به قلمرو اثرات کوانتونمی

افزایش نسبت مساحت سطحی به حجم

افزایش نسبت مساحت سطحی به حجم که به تدریج با کاهش اندازهٔ ذره رخ می‌دهد، باعث غلبهٔ یافتن رفتار اتم‌های واقع در سطح ذره به رفتار اتم‌های درونی می‌شود. این پدیده بر خصوصیات ذره در حالت انزوا و بر تعاملات آن با دیگر مواد اثر می‌گذارد. افزایش سطح، واکنش‌پذیری نانوذرات را به شدت افزایش می‌دهد زیرا تعداد مولکولها یا اتمهای موجود در سطح در مقایسه با تعداد اتمها یا مولکولهای موجود در تودهٔ نمونه بسیار زیاد است، به گونه‌ای که این ذرات به شدت تمایل به کلوخه‌ای شدن دارند. به عنوان مثال در مورد نانوذرات فلزی، به محض قرار گیری در هوا، به سرعت اکسید می‌شوند. در بعضی مواقع برای حفظ خواص مطلوب نانوذرات، جهت پیشگیری از واکنش بیشتر، یک پایدار کننده را بایستی به آنها اضافه کرد که آنها را قادر می‌سازد تا در برابر سایش، فرسودگی و خوردگی مقاوم باشند [۲۴]. البته این خاصیت مزایایی هم در بر دارد. مساحت سطحی زیاد، عاملی کلیدی در کارکرد کاتالیزوها و ساختارهایی همچون الکترودها می‌باشد. به عنوان مثال با استفاده از این خاصیت می‌توان کارایی کاتالیزورهای شیمیایی را به نحو مؤثری بهبود بخشید و یا در تولید نانوکامپوزیت‌ها

با استفاده از این ذرات، پیوندهای شیمیایی مستحکم تری بین ماده زمینه و ذرات برقرار شده و استحکام آن به شدت افزایش می‌یابد. علاوه بر این، افزایش سطح ذرات، فشار سطحی را کاهش داده و منجر به تغییر فاصله بین ذرات یا فاصله بین اتم‌های ذرات می‌شود. تغییر در فاصله بین اتم‌های ذرات و نسبت سطح به حجم بالا در نانوذرات، تأثیر متقابلی در خواص ماده دارد. تغییر در انرژی آزاد سطح، پتانسیل شیمیایی را تغییر می‌دهد. این امر در خواص ترمودینامیکی ماده (مثل نقطه ذوب) تأثیر گذار است.

اثرات کوانتومی

به محض آنکه ذرات به اندازه کافی کوچک شوند، شروع به رفتار مکانیک کوانتومی می‌کنند. خواص نقاط کوانتومی مثالی از این دست است. نقاط کوانتومی کریستال‌هایی در اندازه نانو می‌باشد که از خود نور ساطع می‌کنند. انتشار نور توسط این نقاط در تشخیص پزشکی کاربرد های فراوانی دارد. این نقاط گاهی اتم‌های مصنوعی نامیده می‌شوند؛ چون الکترونهای آزاد آنها مشابه الکترونهای محبوس در اتمها، حالات گستته و مجازی از انرژی را اشغال می‌کنند. علاوه بر این، کوچک‌تر بودن ابعاد نانوذرات از طول موج بحرانی نور، آنها را نامرئی و شفاف می‌نماید. این خاصیت باعث شده است تا نانوذرات برای مصارفی چون بسته بندی، مواد آرایشی و روکش‌ها مناسب باشند. مواد در مقیاس نانو، رفتار کاملاً متفاوت، نامنظم و کنترل نشده‌ای از خود بروز می‌دهند. با کوچکتر شدن ذرات خواص نیز تغییر خواهد کرد [۲۴].

شاخه‌های فناوری نانو

به طور کلی مطالعات نانوفناوری را می‌توان به سه دسته تقسیم کرد:

انوفناوری مرطوب:

این شاخه به مطالعه سامانه های زنده ای می پردازد که اساسا در محیط های آبی وجود دارند. در این شاخه ساختمان مواد ژنتیکی، غشاءها و سایر ترکیبات سلولی در مقیاس نانومتر مورد مطالعه قرار می گیرد. پژوهشگران موفق شده اند ساختارهای زیستی فراوانی تولید کنند که نحوه عملکرد آنها در مقیاس نانو کنترل می شود. این شاخه دربرگیرنده علوم پزشکی، دارویی و به طور کلی علوم و روش های مرتبط با زیست فناوری است [۲۵].

نانوفناوری خشک:

این شاخه از علوم پایه شیمی و فیزیک مشتق می شود و به مطالعه تشکیل ساختارهای کربنی، سیلیکون و مواد غیر آلی و فلزی می پردازد. نکته قابل توجه این است که الکترونهای آزاد که در فناوری مرطوب موجب انتقال مواد و انجام واکنشها می گردند، در فناوری خشک خصوصیات فیزیکی ماده را پدید می آورند. در نانوفناوری خشک کاربرد مواد نانویی در الکترونیک، مغناطیس و ابزارهای نوری مورد مطالعه قرار می گیرد. برای مثال طراحی و ساختن میکروسکوپ هایی که بتوان با استفاده از آنها مواد را در ابعاد نانومتری دید.

نانوفناوری محاسبه ای:

در بسیاری از موقعیت ابزار آزمایشگاهی موجود برای انجام برخی از آزمایشها در مقیاس نانومتر مناسب نیستند و یا آنکه انجام این آزمایشها بسیار گران تمام می شود. در این حالت از رایانه ها برای شبیه سازی فرآیندها و واکنش های اتم ها و مولکول ها استفاده می شود. شناختی که به وسیله محاسبه به دست می آید، باعث می شود که زمان پیشرفت نانوفناوری خشک به چند دهه کاهش یابد و البته تأثیر مهمی در نانوفناوری مرطوب نیز خواهد داشت [۲۶].

روش‌های شناسایی نانوذرات

تعیین مشخصات نانوذرات برای کنترل سنتز و کاربرد آنها ضروری است. نانوذرات در حال حاضر از طیف وسیعی از مواد ساخته می‌شوند. نانو مواد دارای مشخصات متنوعی هستند که برای تعیین هرکدام از آنها به ابزار و وسایل دقیقی نیاز است. از این رو تجهیزات و روش‌هایی شامل آنالیزمیکروسکوپی، آنالیزساختاری، روش‌های تعیین اندازه وسطح ویژه ذرات، آنالیز پیوندی، آنالیزعنصری، روش‌های تعیین ضخامت فیلم و تعداد لایه، روش‌های تعیین خواص فیزیکی و روش‌های جداسازی برای این منظور مورد استفاده قرار می‌گیرد. نتیجه آنالیزهای مذکور به صورت تصویر، طیف و یا گراف است که اطلاعاتی در مورد ابعاد، شکل، انواع پیوندها، عناصر و مقدار تخلخل ارائه می‌دهد [۲۷].

برخی از روش‌های کاربردی عبارتند از:

میکروسکوپ الکترونی عبوری (TEM)

در پژوهش‌های مربوط به خواص مواد نانوساختاری میکروسکوپ الکترونی یکی از مهم‌ترین و پرکاربردترین دستگاه‌هایی است که مورد استفاده قرار می‌گیرد. در اغلب مطالعات انجام شده روی خواص مواد نانوساختاری برای تعیین اندازه و شکل آنها از میکروسکوپ الکترونی عبوری (Transmission Electron Microscopy) که به اختصار به آن TEM می‌گویند، استفاده شده است. این روش اندازه و شکل ذرات را با دقت حدود چند دهم نانومتر به دست می‌دهد که به نوع ماده و دستگاه مورد استفاده بستگی دارد. امروزه در بررسی خواص مواد نانوساختاری از میکروسکوپ الکترونی عبوری با وضوح بالا (High-Resolution) استفاده می‌شود. علاوه بر تعیین شکل و اندازه ذرات به وسیله میکروسکوپ الکترونی عبوری با استفاده از پراش الکترون

و سایر سازوکارهای موجود در برخورد الکترون با ماده برخی ویژگی‌های دیگر مواد نانوساختاری مانند ساختار بلوری و ترکیب شیمیایی را می‌توان بدست آورد. (شکل ۲-۱)



شکل ۲-۱: میکروسکوپ الکترونی عبوری.

میکروسکوپ الکترونی روبشی^۱ (SEM)

اصول عملکرد SEM بر سه اصل استوار است که به صورت زنجیروار با هم در ارتباط هستند [۲۸]:

- الف- برهمنش پرتوی الکترونی با نمونه.
- ب- امکان تولید و کنترل مشخصه‌های پرتوی الکترونی روبشگر در میدان‌های الکتریکی و مغناطیسی.
- ج- امکان آشکارسازی پرتوهای ساطع شده از سوی نمونه در اثر برهمنش آن با پرتوی الکترونی ورودی.

وقتی پرتوی الکترونی روبشی با نمونه برخورد می‌کند، بین آنها برهمنش روی می‌دهد. نتیجه‌ی آن، ساطع شدن پرتوهایی است که با کمک آشکارسازها دریافت و شناسایی می‌شوند و

^۱ Scanning electron microscopy

مشخصات ماده را آشکار می‌سازند. نوع اطلاعاتی که از این طریق به دست می‌آید به برهمنش پرتو و نمونه بستگی دارد [۲۹].

پراش اشعه ایکس (XRD^۱)

در روش XRD با استفاده از رابطه شرر^۲ (معادله (۲-۱)) می‌توان اندازه کریستالی دانه‌های nm نانومتری را تعیین کرد. الگوی دریافتی پراش ایکس برای نانو مواد با اندازه دانه کمتر از ۱۰۰ گستردگی محسوسی را در خطوط پراش پرتو ایکس از خود نشان می‌دهد. پهنانی قله‌ها در نصف ارتفاع خود حاوی اطلاعاتی از نمونه می‌باشد. اندازه حوزه کریستالی و میکرو کرنش (کرنش کوتاه برد که در اثر عیوب شبکه ایجاد می‌شود) عوامل مؤثر در پهنانی قله‌ها می‌باشند. بدیهی است که هرچه حوزه کریستالی کوچک‌تر و عیوب شبکه کم‌تر باشد پهنانی قله‌ها بیشتر است. با استفاده از روابط موجود و تجزیه و تحلیل نمونه می‌توان به اندازه حوزه کریستالی پی برد.

$$D = K\lambda / (b \cos\theta) \quad (2-1)$$

در این معادله D اندازه ذرات و b پهنانی پیک مبنا، در زاویه θ ، در نیمه ارتفاع می‌باشد. \AA λ طول موج پرتو X ورودی است [۲۹].

تاریخچه‌ی نانوذرات طلا

در قرون وسطی برای ساخت شیشه‌های کلیساها قرون وسطایی از ذرات نانومتری طلا استفاده می‌شده است و با این کار شیشه‌های رنگی بسیار جذابی بددست می‌آمد. این قبیل

Xray diffraction^۱
Scherrer^۲

شیشه‌ها هم‌اکنون در بین شیشه‌های بسیار قدیمی یافت می‌شوند. رنگ به وجود آمده در این شیشه‌ها برپایه این حقیقت استوار است که مواد با ابعاد نانو دارای همان خواص مواد با ابعاد میکرو نمی‌باشند. در واقع یافتن مثالهایی برای استفاده از نانو ذرات فلزی چندان سخت نیست. رنگدانه‌های تزیینی جام مشهور لیکرگوس در روم باستان (قرن چهارم بعد از میلاد) نمونه‌ای از آنهاست. این جام هنوز در موزه بریتانیا قرار دارد و بسته به جهت نور تابیده به آن رنگ‌های متفاوتی دارد. نور انعکاس یافته از آن سبز است ولی اگر نوری از درون آن بتاخد، به رنگ قرمز دیده می‌شود. در سال ۱۹۵۹ ریچارد فاینمن^۱ مقاله‌ای را درباره قابلیت‌های فناوری نانو در آینده منتشر ساخت. با وجود موقعیت‌هایی که توسط بسیاری تا آن زمان کسب شده بود، ریچارد. پی. فاینمن را به عنوان پایه گذار این علم می‌شناسند [۳۰].

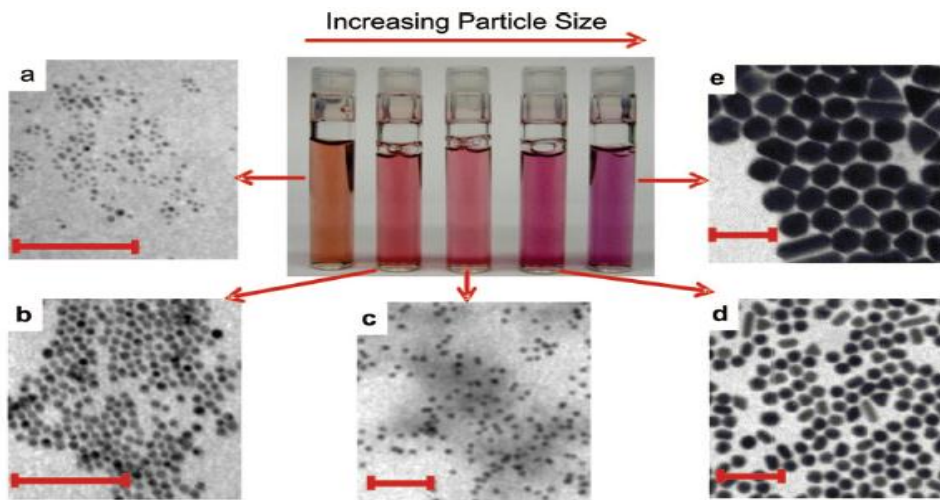
کاربرد نانوذرات:

گوناگونی مواد نانوذره‌ای به اندازه تنوع کاربردهای آنها است، زمینه‌هایی که نانوذرات کاربرد دارند، عبارتند از: مواد کامپوزیت، کاتالیزور، بسته‌بندی، روکش‌ها، افزودنی‌های سوخت و مواد منفجره، ساینده‌ها، باطری‌ها و پیل‌های سوختی، روان‌کننده‌ها، پزشکی و دادروش‌سازی، دارورسانی، محافظت کننده‌ها، آنالیز زیستی و تشخیص پزشکی و لوازم آرایشی [۳۱].

^۱ Richard Phillips Feynman

نظریه مای^۱ و (Surface Plasmon Resonance(SPR)، رزونانس پلاسمون سطحی

خصوصیات نوری نانوذرات فلزی که عمدتاً وابسته به اندازهٔ نانوذرات است، بطور گسترده، در سالهای اخیر مورد مطالعه قرار گرفته است [۳۱].

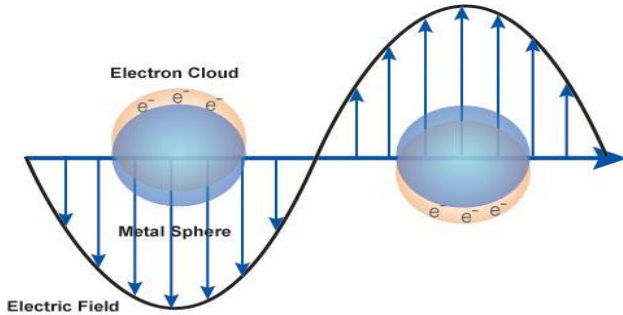


شکل ۱-۳رنگ نانوذرهٔ طلا مختلف با اندازهٔ ذرات متفاوت.

هنگامیکه امواج الکترومغناطیسی به نانوذرات فلزی تابانده می‌شود، حالات الکترونی و ارتعاشی نانوذرات فلزی تهییج می‌شود. این پدیده باعث تحریک ممان دوقطبی می‌شود که در فرکانس مخصوصی نوسان می‌کند. در نتیجه مقداری از نور تابیده بصورت پرتوی ثانویه در تمام جهات پخش می‌شود و مقداری از فوتونها جذب سیستم می‌شود [۳۲]. نوسان کلی الکترونهای آزاد در اطراف اتمهای فلز رزونانس پلاسمون سطحی نامیده می‌شود [۳۳]. مکانیسم فوق توسط مای در سال ۱۹۰۸ مورد بحث و بررسی قرار گرفته است [۳۴]. قابل توجه است که فرایند جذب نور در ناحیهٔ UV-Vis اتفاق می‌افتد. هر نوع نانو ذره بسته به جنس آن رزونانس پلاسمون سطحی

^۱ Mie theory

در ناحیه‌ی UV-Vis مخصوصی دارد که با دستگاه اسپکتروفوتومتر قابل مشاهده است. رزونانس پلاسمون سطحی نانوذرات طلا در ناحیه‌ی مرئی و در طول موج حدود 530 nm قابل رویت می‌باشد [۳۵]. شکل (۴-۱).



شکل ۱-۴ نوسان الکترون در اطراف اتم فلز (رزونانس پلاسمون سطحی) [۱۰۲، ۱۰۳]

روش‌های سنتز نانوذره‌ی طلا

روش ترکویچ^۱

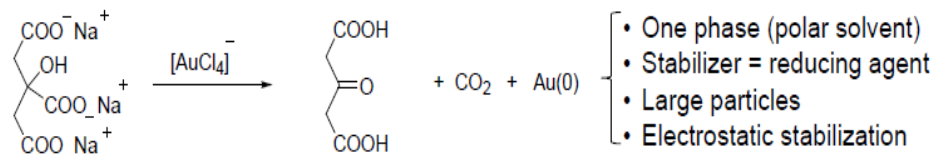
این روش توسط ترکویچ و همکارانش در سال ۱۹۵۱ میلادی کشف شد و در سال ۱۹۷۰ میلادی توسط فرینز بهبود بخشیده شده است [۳۶].

روش ترکویچ یکی از ساده‌ترین راه‌های سنتز نانوذره‌ی طلا می‌باشد. به طور کلی این روش برای سنتز نانوذرات طلای کروی با قطر متوسط $20-10$ نانومتر استفاده می‌شود. روش ترکویچ شامل واکنش تری سدیم سیترات $2\text{ آب} + \text{مقدار اندک محلول اسیدی طلا} \rightarrow \text{آینجا یون‌های سیترات} + \text{نانوناندز طلا}$ می‌باشد. در سنتز نانوذرات طلا اینجا یون‌های سیترات عامل کاهنده بوده و یون‌های طلا را احیاء کرده و نانوذره‌ی طلا سنتز می‌شود. در سالهای اخیر تحولی در روش ترکویچ در سنتز نانوذره‌ی طلا به وجود آمده است و آن سنتز نانولوله‌ها می‌باشد.

^۱ Turkevich method

برای سنتز ذرات بزرگتری از نانوذره از مقدار کمتری از سدیم سیترات (۰/۰۵٪) به طوری که برای احیاء کامل یون‌های طلا کافی نباشد) استفاده می‌شود. کاهش در مقدار سدیم سیترات به معنی کاهش در یون‌های سیتراتی بوده که بر روی ذرات نانوذره قرار می‌گیرند تا آنها را پایدار کنند و این امر باعث تجمع ذرات شده و در نتیجه ذرات درشت‌تر ایجاد می‌شود (شکل (۱-۴)).

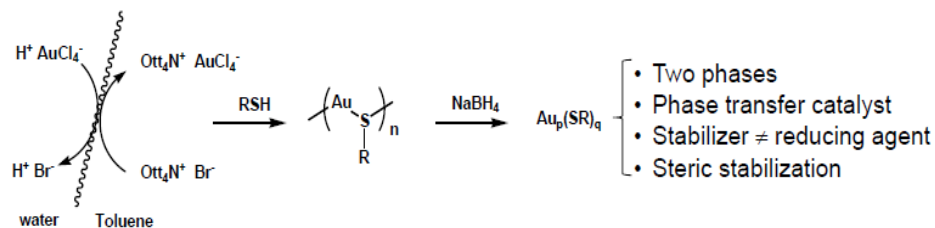
Turkevich synthesis



روش براست^۱

این روش توسط براست واسچیفراین در سال ۱۹۹۰ میلادی کشف شد [۳۳]. به منظور تولید نانوذره طلا در مایعات آلی غیر قابل اختلاط با آب، مانند تولوئن مورد استفاده قرار می‌گیرد. در این روش محلول اسیدی طلا با تتراکتیل آمونیوم بروماید در محیط تولوئن واکنش می‌دهد و سدیم بوروهیدرید بعنوان عامل کاهنده و ضد انعقاد عمل می‌کند. در این روش قطر نانوذره در حدود ۶-۷ نانومترمی باشد [۳۷].

Brust and Schriffin synthesis



^۱ Brust method

اصلاح نانوذرات طلا

اصلاح سطح نانوذرات طلا به منظور افزایش قدرت تشخیص آن به کار می‌رود. نانوذرات طلا به دلیل خواص منحصر به فرد فیزیکی و شیمیایی نظری سهولت تولید و اصلاح سطح و نیز زیست سازگاری دارای کابرد های فراوانی از جمله تصویر برداری مولکولی و حمل داروها هستند. به منظور بهبود و یا تغییر پراکندگی نانوذرات و افزایش سازگاری نانوذرات با مواد دیگر، به روش های شیمیایی و یا فیزیکی نیازمند هستیم تا سطح نانوذرات را تغییر داده و بعارت دیگر اصلاح کنیم [۳۳].

نانوذرات طلا به عنوان پروب های کالریمتری

نانوذرات (AuNPs) پر کاربرد ترین نانوذرات حسگری نوری استفاده شده هستند به ویژه تغییر رنگ محلول AuNPs پلتفرم تجزیه کالریمتری را ممکن می‌کند. AuNPs مزایای زیادی با جذب رزونانس پلاسمون سطحی (SPR) قوی در ناحیه مرئی، آماده سازی ساده و پایداری بالا و سازگاری زیستی دارد [۳۴] بنابراین روش کالریمتری محبوب بود و اخیراً برای آشکارسازی مواد مختلف از جمله DNA، پروتئین ها و یون های فلزی بکار رفته اند.

AuNPs نیز پروب های کالریمتری مفید هستند. به دلیل خواص نوری وابسته به فاصله و ضرایب خاموشی بسیار بالا در ناحیه مرئی که ارتباط نزدیکی با رزونانس پلاسمون سطحی منحصر به فرد از قرمز تا آبی دارد که متناظر است با به ترتیب حالات متناظر پخش و تجمع [۳۵].

براساس این اصل ، چندین روش کالریمتری برای آشکارسازی یون ها [۳۸]، بیوملکولها [۳۹]، ۲ و ۴ - تری نیترو تولوئن (TNT) [۱۲] ، داروها [۴۰] و ملامین [۴۱] توسعه یافته اند. برای مثال

گروه‌های عاملی $6-m$ ارکاپتونیکوتینیک اسید و L _سیستئین به صورت همزمان روی AuNPs برای آشکارسازی Cd^{2+} استفاده شد [۴۲].

سینتیک شیمیایی

سینتیک شیمیایی شامل بررسی نحوه تأثیر شرایط آزمایش مختلف بر سرعت یک واکنش شیمیایی شده اطلاعاتی در مورد مکانیسم‌های واکنشها و حالات گذار می‌دهد و نیز ساختار مدل‌های ریاضی توصیف کننده خواص واکنش شیمیایی را نیز تعیین می‌کنند [۴۳].

در واکنش‌های متوالی، مرحله تعیین سرعت اغلب تعیین کننده سینتیک است. در واکنش‌های متوالی درجه اول یک تخمین حالت پایدار می‌تواند قانون سرعت را ساده کند. انرژی فعال سازی برای یک واکنش به صورت تجربی از طریق معادله آرینوس و معادله ایرینگ تعیین می‌شوند. به علاوه به منظور نشان دادن اهمیت تجزیه سینتیکی باید روش‌های فلوریمتری و اندازه گیری‌های آن را مطرح کنیم. آشکارسازی فلورسانس به عنوان یک ابزار قدرتمند با کاربردهای مختلف در علوم زیستی هستند. این روش امکان تحقیقات آزمایشگاهی شامل اتصال لیگارندهایی مانند یک دارو یا هورمون به یک گیرنده، اندازه گیری غلظت‌های متابولیتها و تحقیق ساختاری، جهت گیری، سیالیت و فاصله بین ملکولها را فراهم می‌کند [۴۴].

کاربرد اخیر NP‌های لومنانت (ZnS، CdS، ZnSe و CdTe) تکنیک‌های تجزیه‌ای را برای تحقیقات دارویی به خواص بی‌نظیرشان تبدیل کرد که از آثار اندازه کوانتمی، روشنایی، پایداری بالادر برابر شویش پروب و مقاومت در برابر چشمک زدن ناشی می‌شود [۴۴]. اینها به تفصیل برای کاربردهای بالقوه مختلف از جمله دیودهای نشر نوری، سل‌های فتوولتایی، برچسب‌های بیولوژیکی فلورسانی، حسگرهای نوری و غیره بررسی شده اند [۴۵].

تجزیه سیتیکی

سیتیک شیمیایی^۱ که سیتیک واکنش نیز نامیده می شود عبارت است از بررسی سرعت های فرایندهای شیمیایی. سیتیک شیمیایی شامل بررسی نحوه تأثیر شریط مختلف آزمایش بر سرعت واکنش شیمیایی و ارائه اطلاعات در مورد مکانیسم واکنش و حالات واسطه و نیز ساختار مدلهای ریاضی که می تواند ویژگی های یک واکنش شیمیایی را توصیف کند[۴۵]. سیتیک شیمیایی به تعیین تجربی سرعت های واکنش می پردازد که از آن قانون های سرعت و ثابت های سرعت بدست می آیند. قوانین سرعت نسبتاً ساده برای واکنش های درجه صفرم^۲ (که سرعت های واکنش آنها مستقل از غلظت است)، واکنش های درجه اول^۳، واکنش درجه دوم^۴ وجود دارد و می تواند برای بقیه نیز بدست آید. در واکنش های متوالی مرحله تعیین سرعت مرحله تعیین سرعت اغلب سیتیک را تعیین می کند. در واکنش های متوالی^۵ درجه اول یک حالت پایدار تخمینی می تواند قانون سرعت را ساده کند. انرژی فعالسازی برای یک واکنش به صورت تجربی از طریق معادله آرنیوس^۶ و معادله ایرینگ^۷ تعیین می شود[۲۷۴]. فاکتورهای اصلی مؤثر بر سرعت واکنش عبارتند از حالت فیزیکی واکنش گرها ، غلظت های واکنش گرها، دمای انجام واکنش و حضور یا عدم حضور کاتالیزگر در واکنش[۴۶].

^۱ Chemical kinetic

^۲ Zero order reaction

^۳ First order reaction

^۴ Second order reaction

^۵ consecutive reactions

^۶ Arrhenius

^۷ Eyring

پارامترهای ترمودینامیک و ماهیت انرژی آزاد نیروهای پیوندی، انتروپی و آنتالپی

در کل، تغییر انرژی آزاد (ΔG) یک واکنش تعیین می کند تغییر شیمیایی رخ می دهد یا خیر و سیستیک می گوید واکنش به چه سرعتی رخ می دهد. یک واکنش می تواند بسیار گرمایش باشد و یک تغییر انتروپی بسیار مثبت داشته باشد ولی در عمل رخ ندهد اگر واکنش خیلی کند باشد. اگر یک واکنشگر بتواند دو محصول مختلف تولید کند پایدارترین محصول از نظر ترمودینامیکی به طور کلی تولید می شود، بجز در شرایط خاص که واکنش تحت کنترل واکنش سیستیک است [۴۷].

اصل کورتین- هامت در زمان تعیین نسبت محصول برای دو واکنشگر که به سرعت بهم تبدیل می شوند که هر کدام به یک محصول متفاوت می روند اعمال می شود. انجام پیش بینی در مورد ثابت های سرعت واکنش برای یک احیا از ارتباط انرژی آزاد امکان پذیر است. سیستیک شیمیایی اطلاعاتی در مورد زمان اقامت و انتقال حرارت در یک واکنش شیمیایی فراهم می کند.

مفهوم آرنیوس انرژی فعال سازی

آرنیوس مطرح کرد که واکنش گرها برای اینکه وارد محصول شوند باید ابتدا حداقل مقدار انرژی بنام انرژی فعال سازی E_a را دریافت کنند. در دمای مطلق T جزئی از ملکول ها که انرژی سیستیک بالاتر از E_a دارند می توانند از مکانیک استاتیک محاسبه شوند. مفهوم انرژی فعال سازی ماهیت نمایی (اکسپونانسیل) رابطه را توصیف می کند و به نحوی در همه تئوری های سیستیک حضور دارد [۴۸]. محاسبات برای ثابت های سرعت واکنش شامل میانگین گیری انرژی در یک

توزیع بولتزمن- ماکسول^۱ با E_a به عنوان مرز پایینی می شود و بنابراین اغلب نوعی تابع گامای ناقص دارد که متناسب است با $[48].e^{-E_a/RT}$.

تئوری برخورد^۲

یک مثال از تئوری برخورد واکنش های شیمیایی گرفته می شود که توسط مکس تراویز و ویلیام لویس در سال های ۱۸۱۶-۱۹۱۶ توسعه یافت. در این تئوری ملکولها واکنش خواهند داد اگر با انرژی سیستیک نسبی فرارتر از E_a در امتداد خطوط مرکز برخورد کنند. این منجر به معادله ای شبیه به معادله آرینوس می شود [۴۸].

تئوری حالت گذار^۳

یک معادله شباهی آرینوس دیگر در تئوری حالت گذار واکنش های شیمیایی دیده می شود که توسط وگز، آیرینگ، پولانی و اوانس در دهه ۱۹۳۰ تهیه شد. این معادله شکل های مختلفی دارد که مرسوم ترین آنها عبارت است از :

$$K = K_B T / h(e^{-\Delta G^\neq / RT}) \quad (4-3)$$

که ΔG^\neq انرژی آزاد گیبس فعال سازی ، K_B ثابت بولتزمن و h ثابت پلانک است. در نگاه اول این به نظر مانند یک ضرب نمایی در یک فاکتور است که در دما به صورت خطی است. با این حال باید به خاطر داشت که انرژی آزاد خودش یک کمیت وابسته به دما است [۲۷۶-۲۷۸]. انرژی آزاد فعال سازی عبارت است از تفاوتی که عبارت آنتالپی و یک عبارت آنتروپی ضرب در دمای مطلق. وقتی تمام جزئیات تعیین شدند نهایتاً معادله ای حاصل می شود که باز هم شکل یک

^۱ Maxwell-Boltzmann distribution

^۲ Collision theory

^۳ Transition state theory

معادله ضرب، آرنیوس در یک تابع با تغییر کند T است [۲۷۷, ۲۷۸]. شکل دقیق وابستگی دمایی به واکنش بستگی دارد و می‌تواند با استفاده از فرمول‌های حاصل از استاتیک شامل توابع تقسیمی^۱ واکنشگرها و کمپلکس‌های فعال سازی شده^۲ قابل محاسبه است [۴۸].

محدودیتهای ایده انرژی فعال سازی آرنیوس

هم انرژی فعال سازی آرنیوس و هم ثابت سرعت K به صورت تجربی تعیین می‌شوند نشان دهنده پارامتر خاص هر واکنش است که به انرژی‌های آستانه و موفقیت هر برخورد در سطح ملکولی ارتباطی ندارد. یک برخورد خاص را در نظر بگیرید (یک واکنش اولیه) که بین ملکولهای A و B رخ می‌دهند. زاویه برخورد، انرژی تجزیه ای نسبی، انرژی درونی^۳ (به ویژه ارتعاشی) همگی شانس ایجاد ملکول محصول AB به واسطه برخورد را تعیین می‌کند [۴۹]. اندازه گیری‌های میکروسکوپی E و K نتیجه چندین برخورد مستقل با پارامترهای برخورد مختلف است. برای بررسی سرعت‌های واکنش در سطح ملکولی، آزمایشات تحت شرایط برخورد نزدیک بررسی می‌شوندو این موضوع اغلب دینامیک واکنش ملکولی نامیده می‌شود. معادله آیرینگ که توسط هنری آیرینگ در ۱۹۳۵ توسعه یافت بر تئوری حالت گذار استوار است و برای توصیف ارتباط بین سرعت واکنش و دما بکار می‌رود. این مشابه با معادله آرنیوس است که وابستگی دمایی سرعت‌های واکنش را توصیف می‌کند. با این حال در حالی که معادله آرنیوس فقط می‌تواند برای سیتیک فاز گازی اعمال شود، معادله آیرینگ در تحقیق و بررسی واکنش‌های فاز اختلاطی متراکم گازی مفید است که ارتباطی به مدل برخورد ندارد. معادله آیرینگ محاسبه دقیق

^۱ partition functions

^۲ activated complex

^۳ Internal vibration energy

تری از ثابت های سرعت ارائه می دهد و دیدگاهی در مورد نحوه پیش روی یک واکنش در سطح ملکولی ایجاد می کند. معادله در زیر داده شده است [۵۰]:

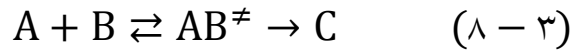
$$K = K_B T / h e^{-\Delta H^\neq / RT} e^{\Delta S^\neq / R} \quad (5-3)$$

یک واکنش بیوملکولی را در نظر بگیرید



$$K = [C] / [A][B] \quad (7-3)$$

که k ثابت متعادل است. در مدل حالت گذار در کمپلکس فعال شده AB^* تشکیل می شود.



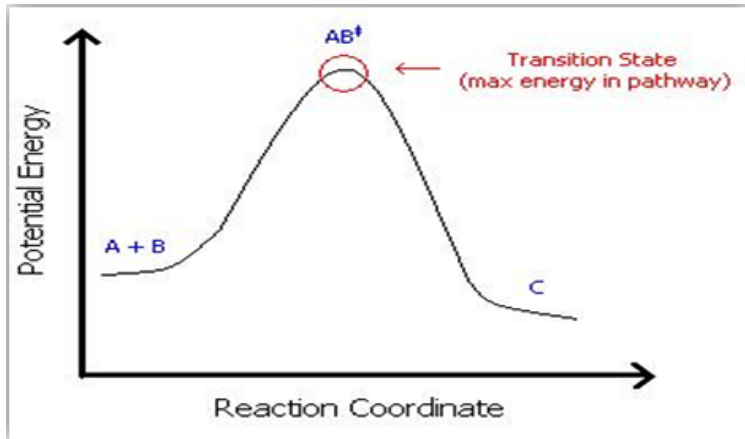
$$k^\neq = [AB]^\neq / [A][B] \quad (9-3)$$

یک مانع انرژی بنام انرژی فعال سازی^۱ (شکل ۱-۵) در مسیر واکنش وجود دارد. مقدار معین انرژی برای انجام واکنش لازم است. حالت گذار AB^* در حداکثر انرژی تشکیل می شود [۵۱]. این کمپلکس پر انرژی یک واسطه ناپایدار است. پس از غلبه بر مانع انرژی (سد انرژی) واکنش می تواند پیش رود و تشکیل محصول رخ دهد.

سرعت یک واکنش برابر است با تعداد کمپلکس های فعال شده که برای تولید محصولات تجزیه می شوند. به عبارت دیگر عبارت از غلظت کمپلکس پر انرژی ضرب در فرکانس آن برای از بین بردن سد انرژی [۵۲].

$$V[AB^\neq]v[A][B]k^\neq = \text{سرعت} \quad (10-3)$$

^۱ Activation energy



شکل ۱-۵. جهت واکنش در مقابل پتانسیل بالقوه، سد انرژی، به نام انرژی فعال سازی، (در مسیر واکنش)؛
حالت گذار، \ddagger AB ، است که در حداکثر انرژی تشکیل؛ این مجموعه با انرژی بالا نشان دهنده یک واسطه بی ثبات است. هنگامی که سد انرژی غلبه بر است، واکنش قادر به ادامه و شکل گیری محصول رخ می دهد.
سرعت را می توان به صورت زیر بازنویسی کرد

$$\text{سرعت} = k[A][B] \quad (11-3)$$

با ترکیب معادلات (۱۰-۳) و (۱۱-۳) داریم

$$k[A][B]k = v[A][B]k^{\neq}vk^{\neq} \quad (12-3)$$

که v فرکانس ارتعاشی، k ثابت تعادل ترمودینامیک است. فرکانس

ارتعاشی به صورت زیر است:

$$v = k_B T / h \quad (13-3)$$

که k_B ثابت بولتزمن ($1.381 \times 10^{-۲۳} J/K$)، T دمای مطلق در مقیاس کلوین (K) و h ثابت پلانک ($6.626 \times 10^{-۳۴} JS$) است.

با جایگزینی معادله (۱۳-۳) در معادله (۱۲-۳) داریم

$$K = K_B T / h k^{\neq} \quad (14-3)$$

معادلات ترمودینامیک زیر ثابت تعادل را بیشتر توصیف می کنند.

$$\Delta G^{\neq} \Delta G^{\neq} = -RT \ln K^{\neq} \Delta H^{\neq} - T \Delta S^{\neq} \quad (15-3)$$

که ΔG^\neq انرژی فعال سازی گیبس^۱، H^\neq آنتالپی فعال سازی و ΔS^\neq آنتروپی فعال سازی^۲ است. با در نظر گرفتن معادلات (۱۵-۳) و (۱۴-۳) برای حل $\ln K^\neq$ می دهد.

$$\ln K^\neq = -\Delta H^\neq / RT + \Delta S^\neq / R \quad (16-3)$$

معادله آیرینگ در نهایت با جایگزینی معادله (۱۶-۳) در (۱۴-۳) بدست می آید.

$$K = K_B T / h e^{-\Delta H^\neq / RT} e^{\Delta S^\neq / R} \quad (17-3)$$

کموتریکس^۳

کموتریکس کاربرد علوم آمار، کامپیوتر، ریاضی و گرافیک برای درک بهتر داده‌های شیمی می‌باشد. با استفاده از آنالیز داده‌های شیمیابی بدست آمده، اطلاعات مفید استخراج می‌شود که با توجه به این اطلاعات می‌توان آزمایش‌های مورد نظر با بازدهی بهتر را طراحی کرد. کاربرد روش‌های ریاضی در شیمی سابقه دیرین دارد ولی با توجه به پیشرفت علوم کامپیوتر و کاربرد آن در علوم روش‌های کموتریکس در دهه اخیر پیشرفت بسیار داشته است. در این دو دهه روش‌های کموتریکس مختلفی توسط شیمیدان‌ها با کمک متخصصین علوم کامپیوتر، ریاضی و آمار ارائه شده است. بسیاری از شیمیدان‌ها، اسوانت وولد را به عنوان اولین کسی که این روش‌ها را معرفی کرده است نام می‌برند و به او لقب پدر علم کموتریکس را داده‌اند. اسوانت وولد^۴ در دهه ۶۰ میلادی مقالات بسیاری تحت عنوان معرفی روش‌های ریاضی و کاربرد آن‌ها در شیمی ارائه کرده است. سابقه استفاده و مطالعه روش‌های کموتریکس در ایران حدود ۱۰ سال می‌باشد که در دانشگاه‌های مختلف این مطالعات انجام می‌شود[۵۳].

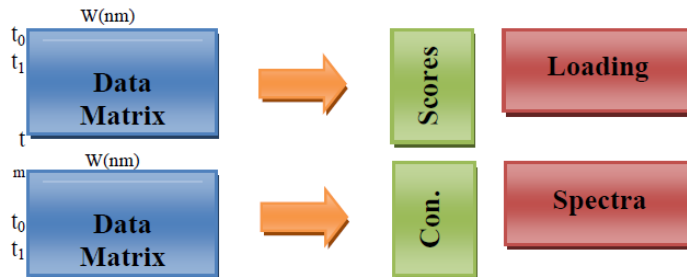
^۱ Gibbs energy of activation

^۲ entropy of activation

^۳ Chemometrics

^۱ آنالیز اجزای اصلی (PCA)

آنالیز اجزای اصلی یک روش چندمتغیره است که برای اولین بار در سال ۱۹۲۳ توسط فیشر^۲ و مکنزی^۳ معرفی شد [۵۴]. نام آنالیز جزء اصلی توسط هتلینگ^۴ در سال ۱۹۳۳ معرفی شد [۵۵]. PCA در صورتی که به یک ماتریس داده اعمال شود، داده های آن را به نحوی میچرخاند که روی محورهای مورد نظر بیشترین تغییرات را داشته باشند. به این ترتیب یک دسته متغیر وابسته^۵ به یک دسته متغیر مستقل^۶ تبدیل میشوند. این متغیرها بر اساس کاهش تغییرات مرتب شده‌اند. متغیرهای مستقل، ترکیب خطی از متغیرهای اولیه‌اند و آخرین متغیر همراه با کمترین کاهش مقدار داده های اولیه حذف می‌شود [۵۵]. کاربرد اصلی PCA برای کاهش ابعاد یک دسته داده میباشد در حالیکه اطلاعات تا حد امکان حفظ شود این روش یک توصیف فشرده و بهینه از دسته داده‌ها را محاسبه میکند. PCA ماتریس داده های اولیه را به دو ماتریس کوچکتر تبدیل میکند؛ امتیازات و وزنها^۷ که مفاهیم ریاضی بوده و میتوانند حاوی اطلاعاتی درباره غلظت و طیف (مفاهیم شیمیایی) باشند (شکل ۶-۱).



شکل ۶-۱

^۱- Principal Component Analysis

^۲- Fisher

^۳- Mackenzi

^۴- Hotteling

^۵- Correlated

^۶- Independent

^۷ - weight

متغیرها در مواردی برای اهداف دسته بندی^۱ بکار می‌رود. این تکنیک بطور گسترده برای استخراج و تفسیر اطلاعات از داده‌های چندمتغیره بکار می‌رود. متغیرهای اولیه به محورهای جدیدی (اجزاء اصلی) منتقل می‌شوند؛ طوری که امتیازات داده‌ها روی این محورها همبستگی ندارند؛ یعنی اجزاء اصلی بر هم عمود^۲ هستند و می‌توانند بطور منحصر‌بفرد تعیین شوند. PCA این امکان را فراهم می‌کند که بیشترین مقدار تغییرات در ماتریس داده‌ها بوسیله کمترین تعداد اجزاء اصلی (PC ها)^۳ تعیین شود. بدین ترتیب استخراج متوالی هر (PC) همراه با یک کاهش مقدار از متغیر کل خواهد بود. روش‌هایی جهت انجام PCA روی ماتریس داده‌ها وجود دارند که از روی آنها می‌توان به تجزیه مقادیر منفرد (SVD)^۴ اشاره کرد [۵۴].

أنواع داده ها

داده های مرتبه صفر^۰

در این سری از داده‌ها به ازای هر نمونه آزمایشی، یک داده داریم. به عنوان مثال، وقتی جذب یک محلول در یک طول موج خوانده شود، یک عدد داریم. به این نوع داده‌ها، داده‌های مرتبه صفر می‌گویند.

^۱- Classification

^۲- Orthogonal

^۳- Principal component

^۴- Singular Value Decomposition

^۰- Zero order data

داده های مرتبه یک^۱

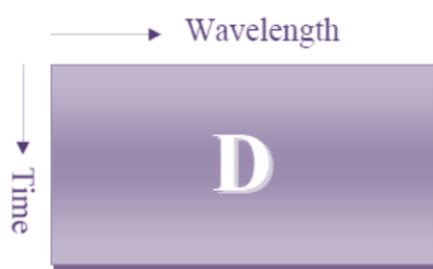
در این سری از داده ها به ازای هر نمونه آزمایشی، یک بردار داریم. به عنوان مثال، اگر جذب یک محلول در چندین طول موج خوانده شود، نتیجه یک بردار خواهد بود. به این نوع داده ها داده های مرتبه یک یا یک بعدی^۲ گفته میشود[۵۶].



شکل ۱-۷. داده مرتبه یک.

داده های مرتبه دو^۳

به داده هایی گفته می شود که به ازای یک نمونه آزمایشی، یک ماتریس داده داشته باشیم. به عنوان مثال در یک سیستم سینتیکی، وقتی از یک محلول در زمان های مختلف در چندین طول موج طیف گرفته می شود، در پایان یک ماتریس داده خواهیم داشت که در یک بعد طول موج و در بعد دیگر زمان تغییر می کند. به این نوع داده ها، داده های دو بعدی میگویند. شکل این نوع داده ها در شکل ۱-۸ نشان داده شده است.



شکل ۱-۸ شکل شماتیک داده های دو بعدی.

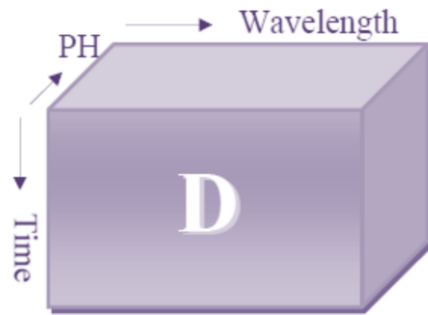
^۱- First order data

^۲- One way data

^۳- Second order data

داده های مرتبه سه

اگر تغییرات یک نمونه آزمایشی در سه بعد ثبت شود یک آرایه سه بعدی مطابق شکل ۹-۱ خواهیم داشت.



شکل ۹-۱. شکل شماتیک داده های سه بعدی.

به عنوان مثال وقتی یک سیستم سیستیکی در pH های مختلف بررسی شود، داده سه بعدی خواهیم داشت. افزایش بعد داده ها از یک بعد به سه بعد مزایای زیادی دارد [۵۷]. یکی از مزایای آن این است که اطلاعات زیادی به طور بالقوه در این داده ها موجود می باشد و اساساً روش های متفاوتی برای آنالیز یک چنین داده هایی در ابعاد متفاوت آنها قابل استفاده است [۵۸].

رگرسیون کمترین مربعات نسبی (رگرسیون PLS)

رگرسیون کمترین مربعات نسبی (Ridge Regression PLS) یک روش آماری است که ارتباطی با اجزای اصلی رگرسیون دارد؛ به جای یافتن صفحات دارای حداقل واریانس^۱ بین پاسخ و متغیر مستقل ، یک مدل رگرسیون خطی با تصویرسازی متغیرهای پیش بینی شده و متغیرهای قابل مشاهده به یک فضای جدید بدست می آورد [۵۹]. چون هر دو داده X و Y در فضاهای جدید تصویرسازی شده اند، خانواده روش های PLS به عنوان مدل های فاکتور دو خطی شناخته

^۱ Hyper pages minimum variance

شده‌اند. تحلیل جداکننده کمترین مربعات نسبی (PLS-DA) یک متغیر استفاده شده وقتی Y دسته بندی شده است می‌باشد [۶۰].

PLS برای به دست آوردن ارتباط بنیادی بین دو ماتریس (X و Y) بکار می‌رود یعنی یک متغیر تأخیری برای مدل سازی ساختارهای کوواریانس در این دو فضا. یک مدل PLS سعی در یافتن جهت چندبعدی در فضای X دارد که جهت واریانس چندبعدی حداکثر را در فضای Y توضیح می‌دهد. رگرسیون PLS به ویژه زمانی مناسب است که ماتریس شاخص‌ها متغیر بیشتری از مشاهدات دارد و وقتی هم خطی چندگانه در مقادیر X وجود دارد. در مقابل، رگرسیون استاندارد در این موارد ناموفق می‌شود (مگر این که تنظیم شوند) [۶۱].

الگوریتم PLS در مدل سازی مسیر کمترین مربعات نسبی بکار رفته است، روشی که یک شبکه معمول از متغیرهای تأخیری را مدل می‌کند (دلایل نمی‌توانند بدون روش‌های تجربی یا نیمه تجربی تعیین شوند ولی یک بنیان مشترک از مدل متغیرهای تأخیری با فرض‌های تئوریک قبلی دارد که متغیرهای تأخیری در شاخص‌های اندازه گیری آن‌ها نمایان است) [۴۳]. مطرح شده است که این تکنیک شکلی از مدل سازی معادله ساختاری است که متفاوت از روش‌های کلاسیک است از این نظر که بجای واریانس محوری، بر اجزا محوریت دارد. با این حال برخی دیگر می‌گویند که این گونه نیست.

کمترین مربعات نسبی توسط آمارشناس سوئی هرمان وار معرفی شد که سپس آن را با پرسش سواننت وار توسعه داد. یک عبارت جایگزین بجای PLS (دقیق‌تر، به نقل از سواننت وار)، تصویرسازی در ساختارهای تأخیری است ولی عبارت کمترین مربعات نسبی هنوز در زمینه‌های زیادی غالب است [۶۲].

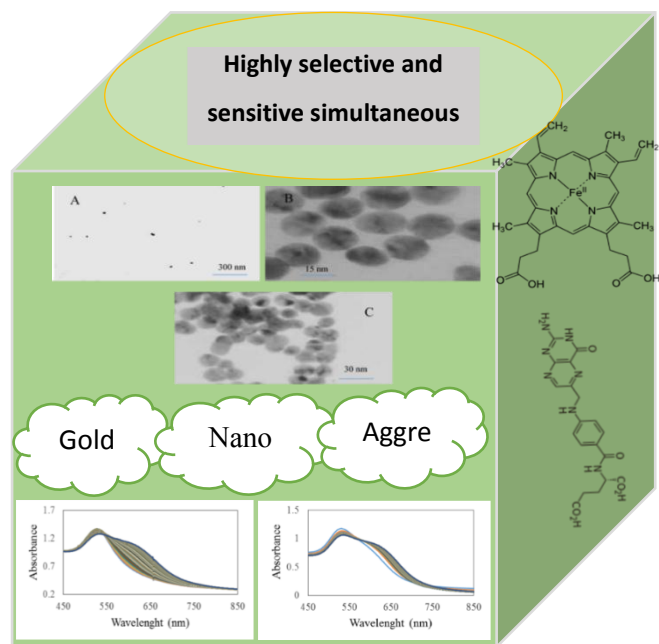
اگرچه کاربردهای اصلی در علوم اجتماعی بود، رگرسیون PLS امروز بیشتر از همه در کمومتریکس و زمینه‌های مرتبط به کار می‌روند. PLS هم چنین در بیوانفورماتیک، سنسومتریکس، علوم عصبی و انسان شناسی بکار می‌رود. در مقابل، مدل سازی مسیر PLS بیشتر از همه در علوم اجتماعی، اقتصاد، بازاریابی و مدیریت استراتژیک بکار رفته است با این حال در زمینه روان شناسی، نقدی مبنی بر این که یک ابزار تست و تخمین غیر قابل اعتماد است دریافت کرده است [۶۳].

طیف‌سنجدی نوری (اسپکتروفتوometri)

طیف نمایشی از شدت تابش نشر، جذب یا پراکنده شده توسط نمونه در برابر کمیتی در ارتباط با انرژی فوتون مثل فرکانس یا طول موج است. اسپکتروفتوومتری در شیمی، روشی است برای سنجش و مطالعه طیف الکترومغناطیسی. در این روش با استفاده از میزان اندازه جذب نور نمونه‌ها، غلظت آنها را تعیین می‌کند. این شیوه در دستگاه طیف‌سنجد نوری با نام اسپکتروفتوومتر مورد استفاده قرار می‌گیرد. اسپکتروفتوومتر یا طیف‌سنجد دستگاهی است که شدت نور را به صورت تابعی از طول موج اندازه گیری می‌کند. این دستگاه روش تجزیه دستگاهی است که در آن تابش الکترومغناطیسی در ناحیه مرئی و ماوراءپنفس جذب ماده می‌شود و از روی شدت جذب مقدار ماده تعیین می‌شود. منبع تابش نور سفید بر روی نمونه گازی، جامد یا مایع است و تجزیه گر منشور یا شبکه است. در این روش با استفاده از میزان جذب نور تعیین غلظت می‌کند. با استفاده از این وسیله امکان اندازه گیری نمونه‌های فوق العاده کوچک را دارد که از آن برای تجزیه و تحلیل عناصر مولکولی مانند دی‌ان‌ای و آر‌ان‌ای استفاده می‌شود. اسپکتروفتوومتر دستگاه پیچیده‌ای است که شدت نور را به صورت تابعی از طول موج اندازه گیری می‌کند.

چهار بخش اصلی اسپکتروفوتومتر شامل منبع نور، نمونه، آشکارساز و مفسر باشد[۶۴]. محدوده نور مرئی حدود ۴۰۰-۷۰۰ نانومتر است و همچنین محدوده نور ماوراء بنفش ۲۰۰-۴۰۰ نانومتر می باشد. برای قرار دادن نمونه در دستگاه از یک سل استفاده می شود که می تواند جنس پلاستیک، شیشه یا کوارتز داشته باشد. پلاستیک و شیشه، UV را جذب می کند از اینرو تنها می توان آنها را برای اسپکتروفوتومتری نور مرئی استفاده کرد.[۶۵]

۲ تعیین همزمان بسیار دقیق و حساس هموگلوبین و فولیک اسید براساس تجمع نانوذرات طلا با استفاده از کمترین مربعات جزئی



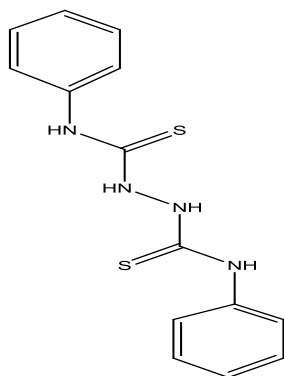
مقدمه

در این کار، روش جدید براساس تجمع نانوذرات طلا با روکش سیترات (AuNPs) برای تعیین همزمان بسیار انتخابی و حساس Hem و FA ارائه می‌شود. این روش مبتنی بر تفاوت در سیتیک تجمع نانوذرات طلا با روکش سیترات اصلاح شده با $N\text{-}N'$ -بی فنیل هیدرازین-۱ و -۲- دی کربوتیوآمید (PHCA)^۱ در حضور Hem و FA است. با افزودن Hem/FA جذب در ۵۱۹nm کاهش و در ۶۶۰nm افزایش می‌یابد. تفاوت در پروفایل‌های سیتیک تجمع (افزایش جذب مشاهده شده برحسب زمان در ۶۶۰nm) برای تحلیل همزمان Hem/FA با رگرسیون کمترین مربعات جزئی (PLS) به عنوان یک روش کالیبره کردن چند متغیری کارآمد استفاده شد.

بهینه سازی غلظت معرف اصلاح گر

غلظت $N\text{-}N'$ -بی فنیل هیدرازین-۱ و -۲- دی کربوتیوآمید (PHCA) (شماتیک ۱-۳) نقش کلیدی در فرایند تجمع دارد و انتخابگری عامل را می‌توان به قابلیت اصلاح کننده در جمع شدن در اطراف نانوذرات با گروههای عاملی خاصی که می‌توانند به صورت انتخابی کمپلکس شوند یا پیوند هیدروژنی تشکیل دهند یا هر گونه برهمکنش دیگر با مواد ما داشته باشند، نسبت داده می‌شود. بنابراین می‌توانیم تعیین انتخابی همزمان انجام دهیم. هم چنین مشخص شد که با افزایش سطح عامل اصلاحی نانوذرات پوشش دار به همان دلایل که گفته شد بهترین سطح غلظت این اصلاح کننده $10^{-6}\text{ mol L}^{-1}$ است که با نسبت ۱۰ به ۲۰ با ماده مورد آشکارسازی داشته با مواد ما تداخل ندارد بلکه می‌تواند قدرت انتخابگری را با برهمکنش و تجمع به دست آورد (شماتیک ۱-۳).^[۳۷۲]

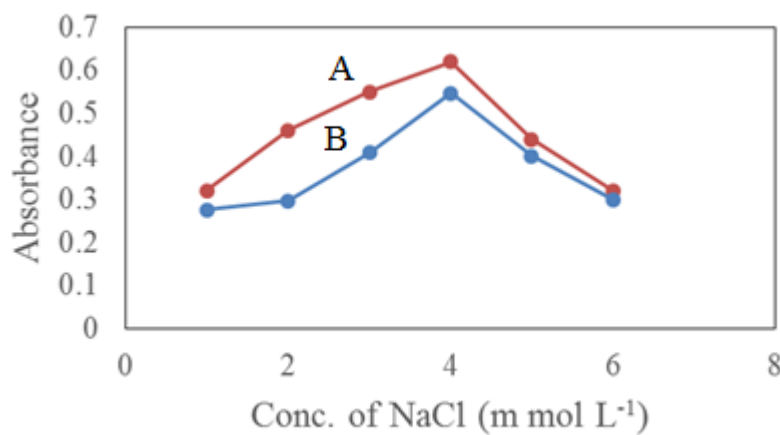
^۱ N,N' biphenyl hydrazine ۱,۲ dicarbothio amide



شماتیک ۳.۱. ساختار PHCA

بهینه سازی غلظت NaCl

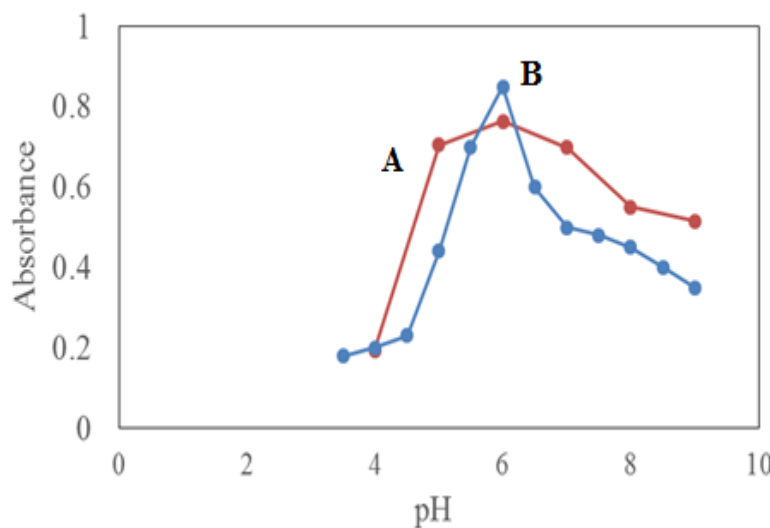
این نانوذرات معمولاً باردارند و بسیار حساس به تغییرات دی الکتریک محلول هستند. برای مثال، برای ذرات پایدار شده سیترات، افزایش NaCl بار سطحی را حفاظ می‌کند و منجر به کاهش فاصله بین ذره‌ای در نهایت تجمع ذرات می‌شود. قدرت یونی نقش مهمی در تجمع دارد که می‌تواند به قابلیت الکترولیت‌های قوی در تجمع در لایه دوگانه الکتریکی حاصل از عامل روکش دار نسبت داده شود. هم چنین مشخص شد که با افزایش قدرت یونی فراتر از یک حد معین، تجمع نانوذرات حتی در غیاب آنالیت‌ها القا می‌شود [۶۶]. مطابق شکل ۱-۲، 4 mmol L^{-1} از NaCl به عنوان مقدار بهینه استفاده شد.



شکل ۲-۱ بهینه سازی قدرت یونی برای (A) قرمز، FA و (B) آبی، غلظت NaCl از PHCA $10^{-5} \text{ mol L}^{-1}$ ، pH ۶، تزریق $400 \mu\text{L}$ از Hem $400 \mu\text{mol L}^{-1}$ و AuNPs $(10^{-4} \text{ mol L}^{-1})$ FA در زمان ۱۰ دقیقه، ۱-۶ m mol L^{-1} .

pH بهینه سازی

به دلیل حضور گروههای هیدروکسیل، کربوکسیل و آمین در مواد، pH یک پارامتر مهم دیگر است که باید در نظر گرفته شود. برهمکنش‌های الکترواستاتیک مسئول اصلی تجمع AuNPs در حضور این مواد هستند [۶۷]. با در نظر داشتن این مسئله، برای افزایش احتمال برهمکنش الکترواستاتیک، بهترین شرایط قابل حصول است که در آن ملکول‌های دارو در محیط نانوذرات در دسترنس هستند و مطابق با شکل ۲-۲، AuNPs ستتر شده در محدوده pH ۶ پایدار است و گونه‌ها نیز بهترین ساختار برای برهمکنش با AuNPs را در pH ۶ داشتند. بنابراین pH ۶ برای مطالعه بیشتر انتخاب شد [۶۸]. البته در بررسی pH بهینه از دیاگرام استوک مربوط به داروها نیز استفاده شده است که pH بهینه را تایید می‌کند.

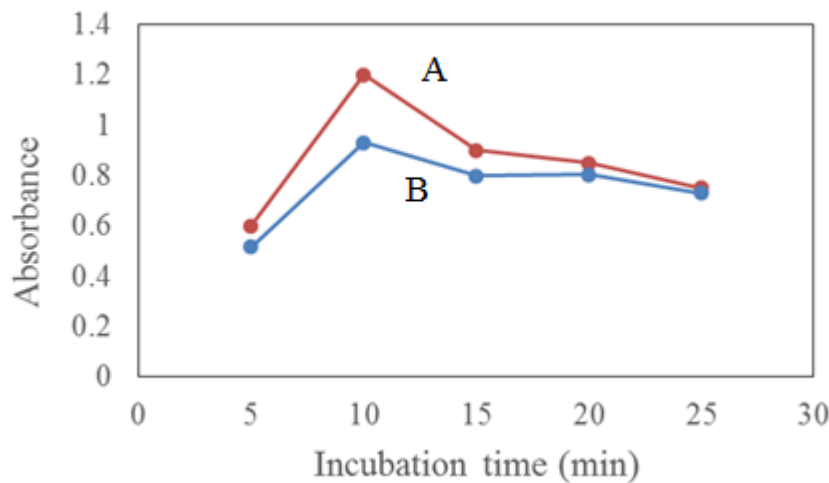


شکل ۲-۲ بهینه سازی pH برای A) قرمz، FA و B) Hem آبی، pH ۶، زمان ۱۰ دقیقه، $PHCA 10^{-5} molL^{-1}$ ، $AuNPs : (10^{-4} molL^{-1})FA$ و $Hem 400 \mu L$ از تزریق.

بهینه سازی زمان انکوبه شدن^۱

زمان‌های انکوبه شدن مختلف برای یافتن مقدار بهینه بررسی شدند. نتایج نشان دادند که AuNPs دقیقاً پس از اختلاط با Hem و FA در شرایط بهینه شروع به تجمع کردند و سرکوب شدند و تغییر طیفی در ۱۰ دقیقه پس از آن به عنوان زمان بهینه انکوبه شدن قابل تشخیص بود. پس از این زمان به عنوان پایان تحقیق شبیه سازی سیستیک استفاده شد.

^۱ Incubation time



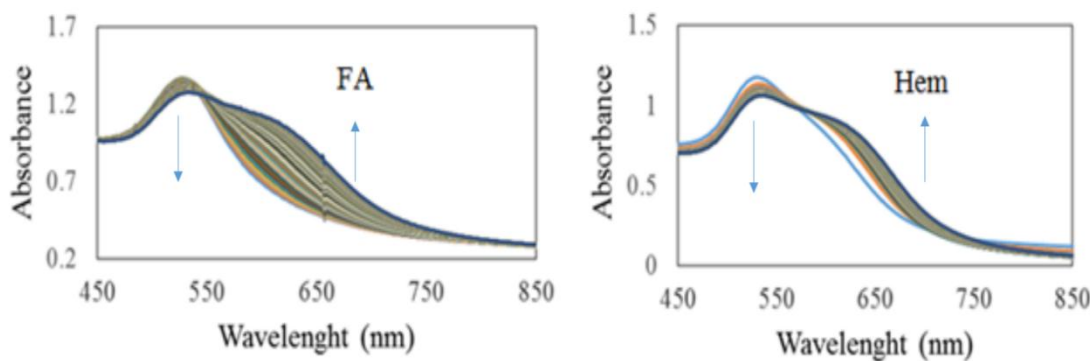
شکل ۲-۳. بهینه سازی زمان انکوبه شدن برای (A) قرمز، FA و (B) آبی، Hem، زمان از ۵-۲۵ دقیقه، AuNPs : $10^{-4} molL^{-1}$ FA و $10^{-5} molL^{-1}$ PHCA از $400 \mu L$ pH ۶ . $10 n molL^{-1}$

توسعه مدل PLS

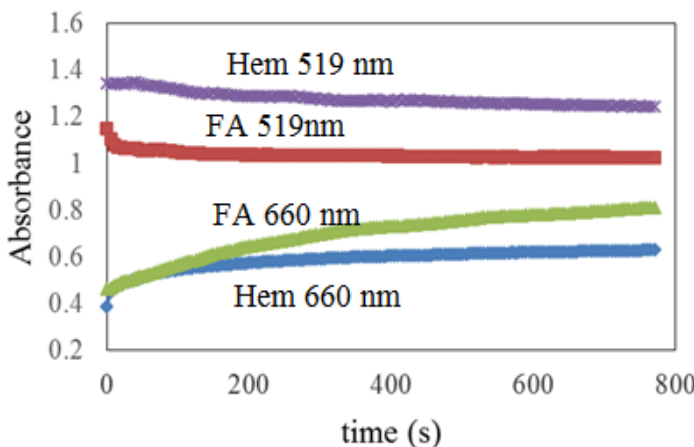
کالیبراسیون‌های رگرسیون کمترین مربعات جزئی (PLSR^۱) برای هر دو دارو با استفاده از الگوریتم NIPALS^۲ ساخته شد. یک مجموعه آزمایشی از ۱۹ نمونه استاندارد (۱۴ نمونه به عنوان مجموعه کالیبراسیون و ۵ نمونه به عنوان مجموعه پیش‌بینی) از مخلوط‌های مختلف جزء هم خط در مجموعه آموزشی داده‌ها می‌توانند منجر به کمبود فیت (under-fitting) در مدل‌های PLS می‌شود [۶۹].

^۱ Partial least square regression

^۲ non-linear iterative partial least squares



شکل ۲-۴. تغییر در جذب AuNPs در ۵۱۹ nm و ۶۶۰ nm با زمان برای تزریق BET و NEP محلول $10^{-4} \text{ mol L}^{-1}$ در هر شرایط بهینه از این گونه‌ها: قدرت یونی 4 mmol L^{-1} ، زمان ۱۰ دقیقه، 10 n mol L^{-1} AuNPs، $\text{pH} 6$ ، $\text{PHCA} 10^{-5} \text{ mol L}^{-1}$



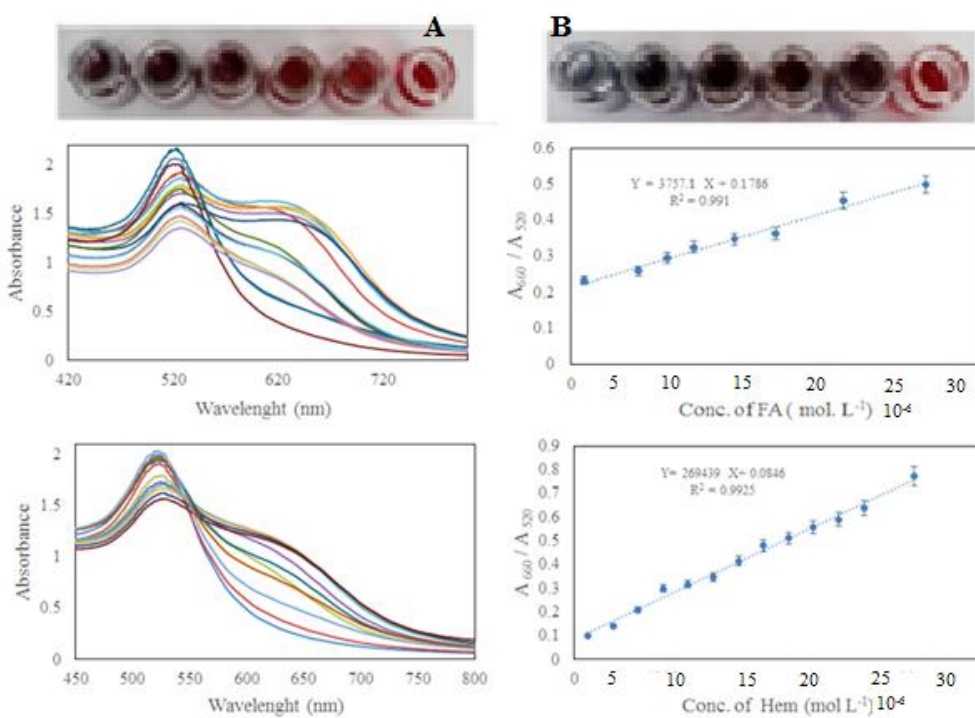
شکل ۲-۵. تغییر در جذب AuNPs در ۵۱۹ nm و ۶۶۰ nm با زمان (نارنجی FA، ۵۱۹ nm، خاکستری Hem، ۶۶۰ nm)، زرد Hem، آبی FA برای تزریق (۴۰۰ μL) محلول $10^{-4} \text{ mol L}^{-1}$ در هر شرایط بهینه از این گونه‌ها: قدرت یونی $10^{-5} \text{ mol L}^{-1}$ ، زمان ۱۰ دقیقه، 10 n mol L^{-1} AuNPs، $\text{pH} 6$ ، $\text{PHCA} 10^{-5} \text{ mol L}^{-1}$.

محدوده خطی منحنی‌های کالیبراسیون

بدین منظور و تحت شرایط تجربی بهینه، یک منحنی کالیبراسیون معمولی برای تعیین Hem و FA با ترسیم نسبت جذب (A_{519} / A_{660}) بر حسب غلظت دارو به دست آمد. منحنی

کالیبراسیون در محدوده $10^{-7} \text{ molL}^{-1}$ با $Y = 269439x + 0.0846$ ($R^2 = 0.9925$) و $(R^2 = 0.991)$ $Y = 2/5 \times 10^{-6} - 1/0 \times 10^{-7} - 2/5 \times 10^{-8}$ و $2/5 \times 10^{-9}$ کالیبراسیون در محدوده $10^{-7} \text{ molL}^{-1}$ با $Y = 3757/1x + 0.1786$ (شکل ۶-۲) خطی بود و حد تشخیص 10^{-8} و اعتبارسنجی و مقایسه بین نتایج حاصل با روش حاضر در مقایسه با نتایج سایر روش‌های گزارش شده در تعیین این مواد را نشان می‌دهند.

مطابق با جدول ۱-۲، روش حاضر حد تشخیص خوب و محدوده خطی بالا در مقایسه با روش هموگلوبین آزیر، روش W.w.Palmer و روش UV ، روش اسپکتروفوتومتری HPLC دارد [۵۶]. باید تأکید کرد که مزایای اصلی این روش عبارتند از استفاده از روش بسیار ساده برای تعیین همزمان انتخابی و حساس این داروها.



شکل ۲-۶. منحنی کالیبراسیون A : برای FA $1/\cdot 0 \times 10^{-6} - 1/\cdot 0 \times 10^{-7} \text{ mol L}^{-1}$ و (B) برای Hem $1/\cdot 0 \times 10^{-5} - 1/\cdot 0 \times 10^{-6} \text{ mol L}^{-1}$ قدرت یونی 4 mmol L^{-1} ، زمان ۱۰ دقیقه، 10 n mol L^{-1} AuNPs، $\text{pH} 6$ ، $\text{PHCA} 10^{-6} \text{ mol L}^{-1}$.

جدول ۲-۱-پارامترهای اعتبارسنجی روش برای اندازه گیری FA و Hem

$$Y = 269439 X + 0.0846, Y = 37571 X + 0.1786$$

معادله

$$0.9925, 0.991$$

R^2

$$4/9 \times 10^{-8} \text{ and } 2 \times 10^{-7} \text{ mol L}^{-1}$$

حد تشخیص

$$\text{FA } 2/5 \times 10^{-7} - 1/\cdot 0 \times 10^{-7} \text{ mol L}^{-1} \text{ and Hem } 2/5 \times 10^{-6} - 1/\cdot 0$$

ناحیه خطی

$$\times 10^{-7} \text{ mol L}^{-1}$$

جدول ۲-۲ داده‌های عملکردی ویژه حاصل از روش اسپکتروفتوometری و سایر تکنیک‌ها برای تعیین

FA و Hem

روش اندازه گیری	ناحیه خطی ^(۱) ($\mu\text{g mL}^{-1}$)	حد تشخیص ($\mu\text{g mL}^{-1}$)	منبع
A: Hem			
روش هموگلوبین Azide	$8/4-10/4 \times 10^{-6}$	$3/0 \times 10^{-7}$	[۷۰]
روش W. W. پالمر	$12-120 \times 10^{-6}$	$4/0 \times 10^{-7}$	[۷۱]
روش WTJ'S	$5-35 \times 10^{-6}$	$1/5 \times 10^{-7}$	[۷۲]
B: FA			
روش اسپکتروفتوometری UV	$5/7-11 \times 10^{-7}$	$0/3 \times 10^{-7}$	[۷۳]
روش اسپکتروفتوometری	$5-50 \times 10^{-7}$	$1/2 \times 10^{-7}$	[۷۴]
کروماتوگرافی مایع با عملکرد بالا	$5-200 \times 10^{-6}$	$1/0 \times 10^{-7}$	[۷۵]
روش اسپکتروفتوometری	$2/5 \times 10^{-7}-1/0 \times 10^{-7}$ و $9/4 \times 10^{-8}$	$2/0 \times 10^{-7}$ - $2/5 \times 10^{-6}$ - $1/0 \times 10^{-7}$ mol	این روش
		mol L^{-1}	

تعیین همزمان FA و Hem

همان طور که گفته شد به منظور انتخاب تعداد فاکتورها در الگوریتم PLS یک روش اعتبار سنجی یک به یک^۱ با هر بار یک نمونه در بیرون استفاده شد. افزایش شدت هر گونه جذب

^۱ Cross validation

در 660 nm ارتباط مستقیم با سطح Hem و / یا FA در نمونه دارد (شکل ۷-۲). سرعت تجمع AuNPs سنتز شده با سیترات با ثابت‌های متفاوت به Hem و FA مرتبط شد.

مجموعه‌های کالیبراسیون و پیش‌گویی با نظارت بر افزایش جذب در 660 nm جمع آوری شد و برای فرایند PLS استفاده شد. برای مجموعه مذکور شامل ۱۹ نمونه پروفایل سیتیک، PLS-۱ و PLS-۲ اجرا شد و استفاده از این کالیبراسیون‌ها میزان نمونه‌های بیرون مانده در زمان فرایند کالیبراسیون محاسبه شد. تغییر در PLS-۲^۱ در کالیبراسیون ۲ PRESS به صورت تابعی از تعداد متغیر تاخیری PLS در شکل ۷-۲ داده شد. همان طور که می‌توان دید ۳ جزء برای ساخت مدل PLS-۲ کافی است. غیرخطی بودن در ارتباط جذب - غلظت و برهمکنش بین فاکتورها می‌تواند به عنوان منابع دیگر فاکتورهای شیمیایی در نظر گرفته شود.

مقادیر پیش‌گویی شده از میزان Hem و FA در نمونه‌های کالیبراسیون و پیش‌گویی و خطاهای نسبی آن‌ها در پیش‌گویی در جداول ۳-۲، ۴-۲ و ۵-۲ فهرست شد. مشاهده شد که مقادیر پیش‌گویی شده بسیار به مقادیر حقیقی نزدیک بودند و خطاهای پیش‌گویی نسبی تقریباً کمتر از ۵٪ هستند. این موفقیت رگرسیون PLS را در پیش‌گویی دقیق مقادیر Hem و FA در نمونه‌ها تایید می‌کند. این که مقایسه نتایج کالیبراسیون چند متغیری PLS_۱ و PLS_۲ منجر به تولید مدل بهتر می‌شود یا خیر مفید است. به این منظور و برای تایید مدل‌ها، برخی پارامترهای آماری از جمله ریشه مربع خطای متوسط پیش‌گویی^۲ (RMSEP)، ریشه مربع خطای میانگین^۳ (RMSECV) و لیدیشن (RMSECV)^۴ و ریشه مربع خطای متوسط کالیبراسیون (RMSEC) و لیدیشن

^۱ predicted residual error sum of squares

^۲ Root mean square error of prediction

^۳ Root mean square error of cross validation

^۴ Root mean square error of calibration

می توان دید که نتایج کالیبراسیون و پیش گویی PLS سازگارتر از کالیبراسیون تک متغیری است.

جدول ۳-۲ سطح مقدار مرجع Hem و FA در مجموعه پیش گویی با مدل سازی PLS طیف‌های

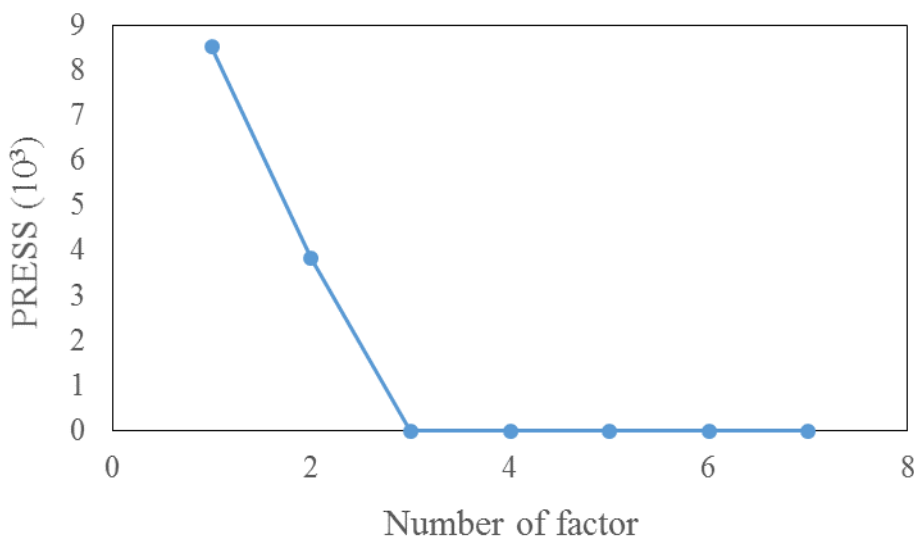
۶۶۰ nm در UV-Vis

جدول ۲-۴. مقدار مرجع FA و Hem در مجموعه کالیبراسیون با مدل سازی PLS طیف‌های UV-Vis در ۶۶۰ nm.

دسته کالیبراسیون						
PLS _r	PLS _t	مقدار پیش‌بینی شده	مقدادیر	مقدادیر	مقدادیر	مقدادیر
			رفرنس	برای رفرنس	برای شماره	هموگلوبین
			فولیک	اسید		
۱۹۲/۴۸۱	۱۷۵/۷۶۷۱	۱۹۲/۴۶۲۲	۱۷۵/۸۰۹۵	۱۹۰	۱۷۵	۱
۷۱/۱۵۵۹۷	۶۷/۴۷۹۳۷	۷۱/۱۴۲۶	۶۷/۵۱	۷۰	۶۵	۲
۴۳۱/۶۹۷۱	۳۵۶/۳۰۳۶	۴۳۱/۷۵۷۹	۳۵۶/۱۰۵۹	۴۳۵	۳۵۵	۳
۴۳۱/۶۹۶۶	۳۵۶/۳۰۳۶	۴۳۱/۷۵۷۴	۳۵۶/۱۰۵۹	۴۴۰	۳۶۰	۴
۳۷۲/۲۷۱	۴۰۱/۱۰۹۹	۳۷۲/۲۳۴۶	۴۰۱/۱۱۸۸	۳۷۰	۴۰۰	۵
۶۳۰/۶۳۲۸	۴۷۳/۲۷۶۹	۶۳۰/۶۴۱۹	۴۷۳/۲۵۲۸	۶۳۵	۴۷۵	۶
۴۸۲/۸۴۶۵	۳۸۰/۴۴۵۲	۴۸۲/۸۵۱۹	۳۸۰/۴۲۹۵	۴۸۰	۳۸۰	۷
۲۵۹/۴۰۰۲	۱۹۸/۹۲۸۳	۲۵۹/۳۷۲۳	۱۹۸/۹۹۳۳	۲۵۵	۲۰۰	۸
۴۹۴/۶۸۹۲	۳۶۲/۴۸۴۰	۴۹۴/۷۱۶۱	۳۶۲/۴۲۰۴	۵۰۰	۳۴۵	۹
۵۲۴/۱۴۹۵	۳۵۱/۲۴۶۷	۵۲۴/۱۸۳۷	۳۵۱/۱۶۵۶	۵۲۵	۳۵۰	۱۰
۲۹۹/۰۶۹۹	۲۳۰/۷۹۹۴	۲۹۹/۵۱۲۲	۲۳۰/۹۳۴۷	۲۹۵	۲۳۰	۱۱
۳۷۵/۹۵۴	۲۶۹/۱۶۱۷	۳۷۵/۹۰۳۹	۲۶۹/۲۷۹۶	۳۷۵	۲۷۰	۱۲
۴۹۹/۴۱۹۶	۲۲۶/۹۹۹	۴۹۹/۴۰۶۴	۳۲۷/۰۳۰۹	۵۰۰	۳۲۵	۱۳
۴۱۳/۲۳۶۹	۲۸۷/۶۸۶۲	۴۱۳/۱۶۸	۲۸۷/۸۴۹۱	۴۰۰	۲۸۵	۱۴
۱/۲۰	۰/۵۹۷	۱/۲۴	۰/۵۸۳	R.S.E. (%)		
$R.S.E. (\%) = \left[\frac{\sum_{j=1}^N (C^j - Cj)^2}{\sum_{j=1}^N (Cj)^2} \right]^{1/2} \times 100$						
۱/۰۴				$R.S.E.t(\%) = \left[\frac{\sum_{j=1}^M \sum_{i=1}^N (C^ij - Cij)^2}{\sum_{j=1}^M \sum_{i=1}^N (Cij)^2} \right]^{1/2} \times 100$		

جدول ۲-۵. پارامترهای آماری مدل‌های کالیبراسیون PLS_1 و PLS_2 توسعه یافته برای تعیین همزمان FA و Hem با داده‌های سیتیک

مدل پیش‌بینی		
PLS_2	PLS_1	پارامترهای آماری
(%)	(%)	
۲/۱۳	۲/۱۱	RMSEP
۱/۹۴	۱/۹۲	RMSECV
۳/۹۹	۳/۹۶	RMSEC



شکل ۷-۲ منحنی PRESS در برابر فاکتورها برای Hem و FA

بررسی مزاحمت

تاثیر مواد خارجی همراه مانند ناپروکسن، اسکوربیک اسید، ترامادول، کدئین، استامینوفن، ساکاریدها، آمینواسیدها و یون‌ها تست شد. مطابق جدول ۶-۲ برحی از مواد همراه بررسی شده

مزاحمت جدی در آزمایش نداشتند. از این نتایج ، مزاحمت ناپروکسن، اسکوربیک اسید، گلوکز، سوکروز، فروکتوز و لاکتوز، لیسین، تریپتوفان، آسپارژین، گلوتامین، والین و تیروزین بسیار ضعیف بودند. در میان مواد تست شده Na_2NO_2 ، Mg^{2+} ، Cl^- ، I^- ، NO_3^- ، Na^+ ، K^+ ، Ca^{2+} ، Fe^{3+} و کدئین می‌توانند با غلظت‌های نسبتاً بالا مجاز باشند ولی سیستئین ، سفکسیم، Fe^{3+} ، Al^{3+} ، Ni^{2+} ، Zn^{2+} ، Co^{2+} ، Zr^{2+} ، Ca^{2+} ، SO_4^{2-} ، Cd^{2+} ، Mn^{2+} ، NH_4OH بالاتر از FA و Hem بود که نشان دهنده این است که این روش انتخابگری خوب بین داروها و سایر گونه‌ها دارد.

جدول ۲-۶- تست‌هایی برای مواد مزاحمت در تعیین همزمان Hem و FA در شرایط بهینه : قدرت یونی $10^{-n} molL^{-1}$, AuNPs، pH ۶، PHCA $10^{-6} molL^{-1}$ ، زمان ۱۰ دقیقه، $mmolL^{-1}$.

غلظت قابل تحمل (یون مزاحم : Hem : FA) (انالیت)	گونه
Na_2NO_2 ساکارز اسکوربیک اسید ناپروکسن	
فروکتوز گلوکز لاکتوز لوسين تریپتوфан والين گلوتامین ۱ : ۱ : ۵۰۰	
اسپارجین تایروزین	
K^+ , Na^+ , NO_3^- , I^- , Cl^- , Mg^{2+} , Fe^{3+} , Ca^{2+} , کدیین	
NH_2OH , Mn^{2+} , Cd^{2+} , SO_4^{2-} , Ca^{2+} , Zr^{2+} , Co^{2+} , Zn^{2+} , Ni^{2+} , Al^{3+} , Fe^{2+} , Cu^{2+} , Pb^{2+}	ترامadol سیستیین سفکسیم

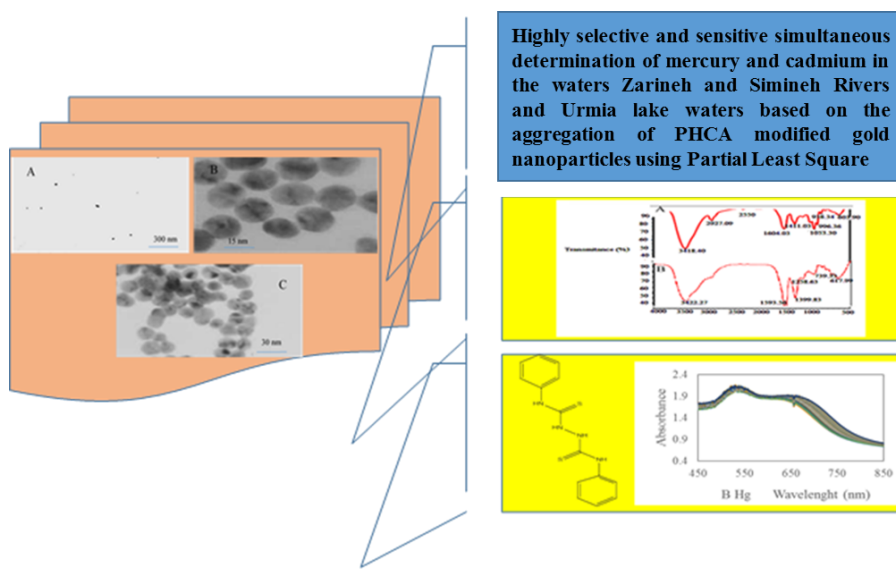
تجزیه نمونه حقیقی

برای بررسی قابلیت استفاده از روش پیشنهادی، آن را در تعیین Hem و FA در نمونه‌های سرم خون استفاده کردیم. مدل PLS حاصل در تخمین غلظت Hem و FA در این نمونه‌ها استفاده شد. نتایج حاصل نشان می‌دهند که بازیابی خوبی ($91/0 - 104/0\%$) انجام شده است (جدول ۲-۷). نتایج کارایی بالقوه این روش را برای آشکارسازی همزمان Hem و FA در نمونه‌های حقیقی نشان می‌دهد.

جدول ۲-۷ تجزیه نمونه سرم خون رقیق شده برای FA و Hem : قدرت یونی 4mmolL^{-1} ، زمان 10 min molL^{-1} ، AuNPs، pH ۶، PHCA 10^{-6}molL^{-1} دقیقه،

نمونه	مقدار اضافه شده		مقدار پیدا شده		نمونه	
	(%) بازده	(mol L ⁻¹)				
نمونه سرم خونی						
۱۰۳/۰	-	$4/3 \times 10^{-5}$	$6/13 \times 10^{-7}$	-	-	-
۱۰۴/۰	-	$5/33 \times 10^{-5}$	$7/17 \times 10^{-7}$	$1/0 \times 10^{-5}$	$1/0 \times 10^{-7}$	-
۹۱/۰	۹۷/۵	$6/12 \times 10^{-5}$	$8/08 \times 10^{-7}$	$2/0 \times 10^{-5}$	$2/0 \times 10^{-7}$	-
۱۰۳/۷	۱۰۲/۰	$7/41 \times 10^{-5}$	$9/19 \times 10^{-7}$	$3/0 \times 10^{-5}$	$3/0 \times 10^{-7}$	-

۳- تعیین همزمان بسیار حساس و انتخابی جیوه و کادمیم در آب‌های رودخانه‌های زرینه و سیمینه و دریاچه ارومیه براساس تجمع نانوذرات طلای اصلاح شده با PHCA با استفاده از کمترین مربعات جزئی

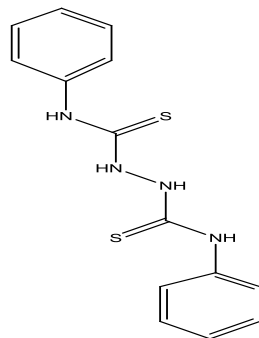


مقدمه

در این کار روش جدید براساس تجمع نانوذرات طلا (AuNPs) با پوشش سیترات برای تعیین همزمان بسیار انتخابی و حساس Hg^{2+} و Cd^{2+} ارائه می‌شود. روش مبتنی است بر تفاوت در سیتیک تجمع نانوذرات طلا با پوشش سیترات اصلاح شده با N' - بی فنیل هیدرازین - ۱و۲- دی کربوکسی‌آمید (PHCA) در حضور Hg^{2+} و Cd^{2+} . با افزایش Hg^{2+} و Cd^{2+} جذب در ۵۲۰ nm کاهش و در ۶۶۰ nm افزایش می‌یابد. تفاوت در پروفایل‌های سیتیک Hg^{2+} تجمع (افزایش جذب مشاهده شده بر حسب زمان در ۶۶۰ nm) برای شبیه سازی تجزیه N' و Cd^{2+} با استفاده از رگرسیون کمترین مربع جزئی (PLS) به عنوان یک روش کالیبراسیون چند متغیره مؤثر استفاده شد.

بهینه سازی غلظت عامل اصلاح کننده

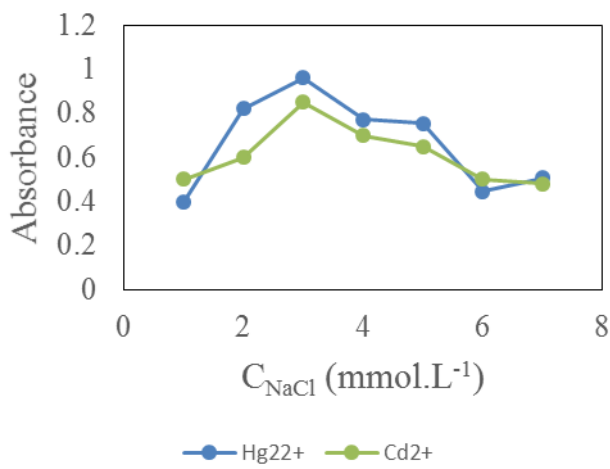
غلظت عامل اصلاحی N' و N - بی فنیل هیدرازین دی کربوکسی‌آمید (PHCA) (شماییک ۲-۳) نقش کلیدی در فرایند تجمع دارد که در آن انتخابگری عامل را می‌توان به توانایی اصلاح کننده در محدود کردن محیط نانوذرات با گروه‌های عاملی خاص نسبت داد که می‌تواند به صورت انتخابی کمپلکس شوند یا پیوند هیدروژنی بدنه‌ند یا بر همکنش دیگری با مواد مورد نظر ما داشته باشند. لیگاندهای متعدد با اتم‌های دهنده مختلف به صورت یونوفورهای فلزات سنگین در حضور یون‌های مزاحم بررسی شده‌اند و PHCA نشان داد چگونه از کاتیون‌های قلیایی و قلیایی خاکی به کاتیون‌های فلزات واسطه و سنگین با جایگزینی گروه‌های متصل اکسیژنی ساخت با رابطه‌ای گوگردی نرم جایجا می‌شود. براساس گرایش Hg^{2+} و Cd^{2+} برای اتم‌های گوگرد نرم [۳۷۲, ۳۸۳].



شکل ۱-۳ ساختار PHCA

بهینه سازی غلظت NaCl

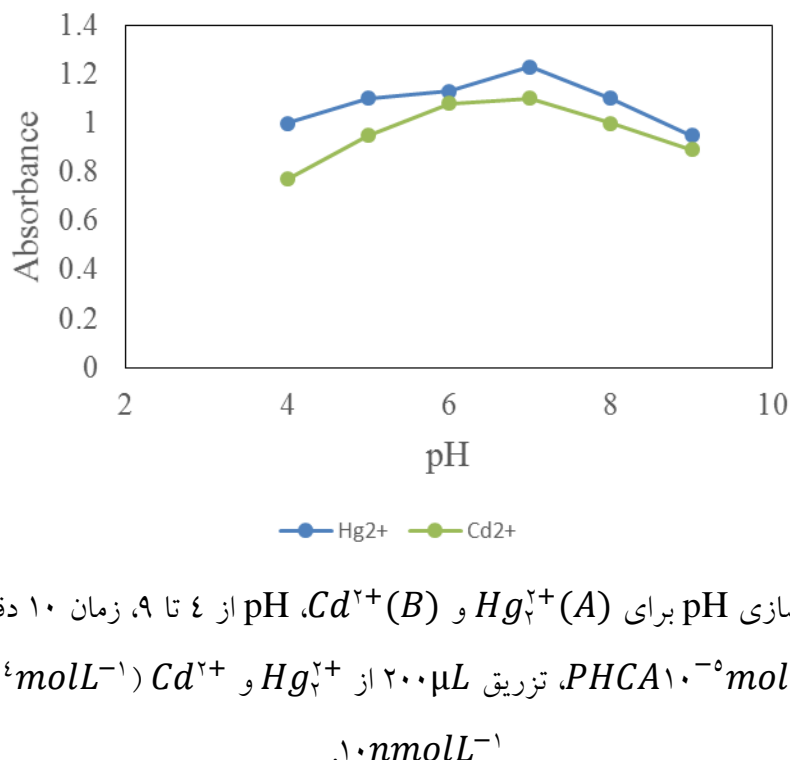
این نانوذرات معمولاً باردارند و بسیار حساس به تغییرات دی الکتریک محلول هستند. برای مثال، برای ذرات پایدار شده سیترات، افزایش NaCl بار سطحی را حفاظ می‌کند و منجر به کاهش فاصله بین ذره‌ای در نهایت تجمع ذرات می‌شود. قدرت یونی نقش کلیدی در فرایند تجمع دارد که می‌تواند به قابلیت الکتروولیت‌های قوی به محدود کردن لایه دو گانه الکتریکی حاصله از عامل پوشش نسبت داده شود. هم چنین مشخص شد که با افزایش قدرت یونی به بالاتر از یک حد معین، تجمع نانوذرات حتی در غیاب آنالیت‌ها القا می‌شود [۶۶]. همان‌طور که می‌توان در شکل ۲-۳ دید، 3 mmol L^{-1} NaCl به عنوان مقدار بهینه استفاده شد.



شکل ۳-۲ بهینه سازی قدرت یونی برای $\text{Hg}^{2+}(A)$ و $\text{Cd}^{2+}(B)$ pH از ۷، قدرت یونی Cd^{2+} و Hg^{2+} از $10 \mu\text{L}$ تزریق $PHCA 10^{-6} \text{ mol L}^{-1}$ - ۱ زمان 10 دقیقه، $\lambda_{\text{max}} = 660 \text{ nm} = 1.0 \text{ nmol L}^{-1}$ AuNPs : $(10^{-4} \text{ mol L}^{-1})$

pH بهینه سازی

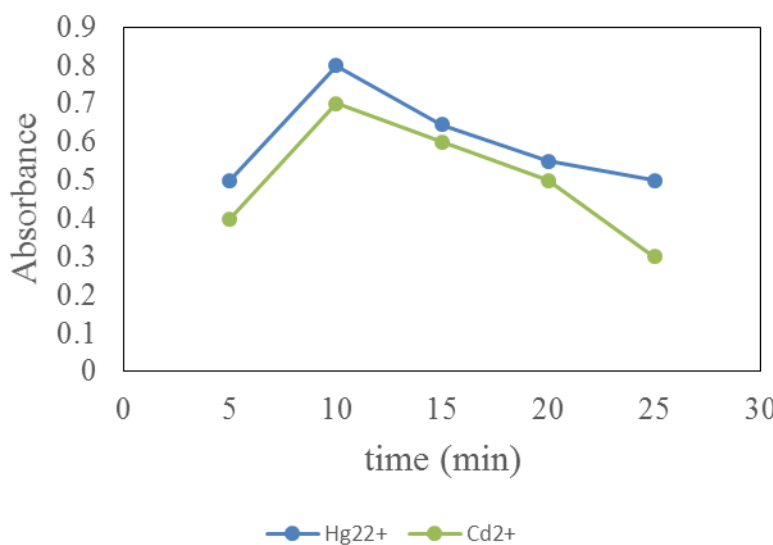
به دلیل حضور گروههای هیدروکسیل ، کربوکسیل و آمین در مواد، pH یک پارامتر کلیدی است که باید در نظر گرفته شود. برهمکنش‌های الکترواستاتیک مسئول اصلی تجمع AuNPs در حضور مواد ما است. با در نظر گرفتن این مسئله ، برای افزایش برهمکنش الکترواستاتیک، بهترین شرایط قابل حصول است که در آن ملکول‌های دارو در محیط نانوذره در دسترس هستند. مطابق شکل ۳-۳ ، AuNPs ستز شده در محدوده pH7 پایدار است و گونه‌ها نیز بهترین ساختار را برای برهمکنش با pH7 در pH و pHهای بازی دارند، این یون‌های فلزی می‌توانند به شکل رسوب هیدروکسید تغییر یابند. بنابراین pH7 برای تحقیقات بیشتر انتخاب شدند [۶۹].



شکل ۳-۳ بهینه سازی pH برای Cd^{2+} (A) و Hg^{2+} (B) از ۴ تا ۹، زمان ۱۰ دقیقه، قدرت یونی AuNPs : ($10^{-4} molL^{-1}$) Cd^{2+} و Hg^{2+} از $200 \mu L$ ، تزریق PHCA $10^{-5} molL^{-1}$ ، $3 mmolL^{-1}$ $.10 nmolL^{-1}$.

بهینه سازی زمان انکوبه کردن

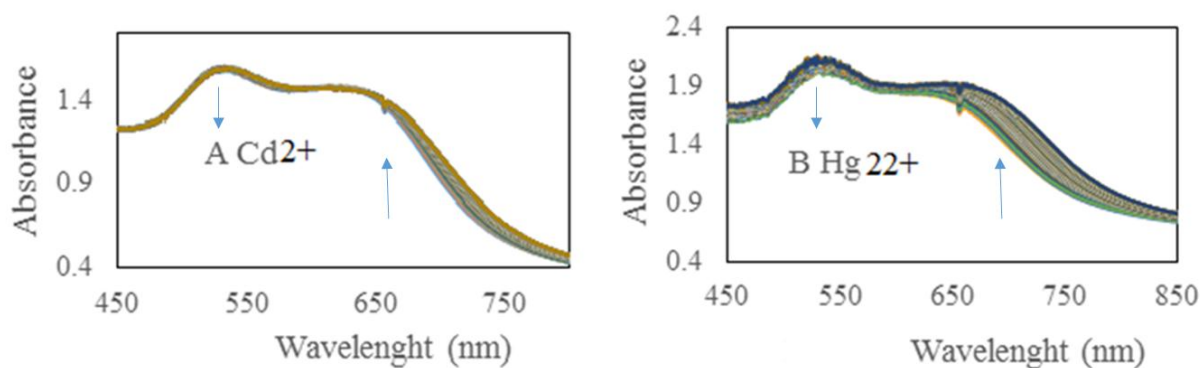
زمان‌های مختلف انکوبه کردن برای یافتن مقدار بهینه بررسی شد. نتایج نشان دادند که دقیقاً پس از مخلوط شدن با Cd^{2+} و Hg^{2+} در شرایط بهینه شروع به تجمع کردند و AuNPs تغییر طیفی در ۱۰ دقیقه قابل تشخیص است که به عنوان زمان بهینه انتخاب می‌شود. بنابراین ما از این محدوده زمانی به عنوان زمان پایان تحقیق سیستمیک همزمان استفاده کردیم (شکل ۳-۴).



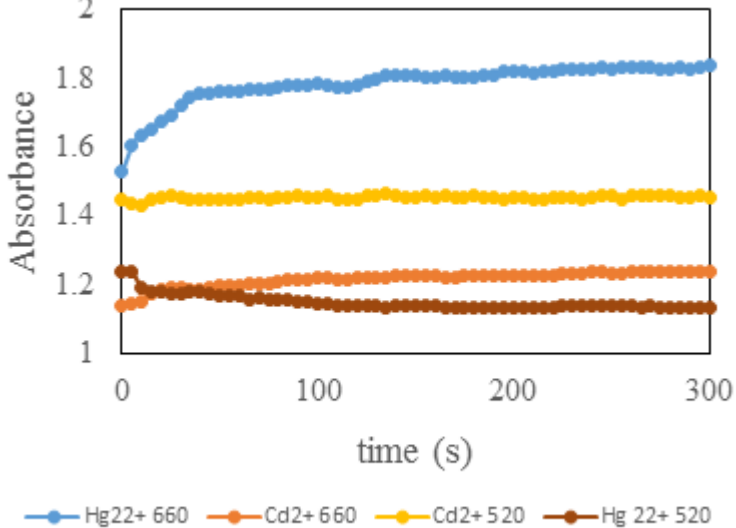
شکل ۳-۴ بهینه سازی زمان انکوپاسیون برای Cd^{2+} (B)، Hg^{2+} (A) و pH مقدار متریک $PHCA 10^{-6} molL^{-1}$ ، $3mmolL^{-1}$ از Cd^{2+} و Hg^{2+} دقيقه، قدرت یونی $10^{-4} molL^{-1}$ AuNPs : $(10^{-4} molL^{-1})$

توسعه مدل PLS

کالیبراسیون‌های رگرسیون کم‌ترین مربع جزئی (PLSR) برای هر دو دارو با استفاده از الگوریتم NIPALS تهیه شد. یک مجموعه آموزشی از ۱۹ نمونه استاندارد (۱۴ نمونه کالیبراسیون و ۵ نمونه پیش‌بینی) از مخلوط‌های مختلف Cd^{2+} و Hg^{2+} تهیه شد. ارتباط بین نمونه‌های کالیبراسیون مختلف اجتناب شود چون جزو هم خط در داده‌های مجموعه آموزشی باعث عدم فیت شدن در مدل‌های PLS می‌شود [۶۷] (شکل ۳-۵ و ۳-۶).



شکل ۳-۵ تغییر در جذب Cd^{2+} و Hg^{2+} در $AuNPs$ در ۵۲۰ و ۶۶۰ nm با زمان، تزریق $200\mu L$ از $10^{-4} molL^{-1}$ (AuNPs $1.0 nmolL^{-1}$ pHv PHCA $10^{-6} molL^{-1}$) در هر شرایط بهینه از این گونه‌ها، قدرت یونی $10^{-4} molL^{-1}$ زمان ۱۰ دقیقه،



شکل ۳-۶ تغییر در جذب $AuNPs$ در ۵۲۰ و ۶۶۰ nm با زمان، تزریق $200\mu L$ از $10^{-4} molL^{-1}$ (AuNPs $1.0 nmolL^{-1}$ pHv PHCA $10^{-6} molL^{-1}$) در هر شرایط بهینه از این گونه‌ها، قدرت یونی $10^{-4} molL^{-1}$ زمان ۱۰ دقیقه،

محدوده خطی منحنی‌های کالیبراسیون

بدین منظور تحت شرایط تجربی بهینه، یک منحنی کالیبراسیون عادی برای تعیین Hg^{2+} و Cd^{2+} با ترسیم نسبت جذب (A_{660}/A_{520}) بر حسب غلظت دارو به دست آمد. منحنی کالیبراسیون در محدوده $10^{-5} \times 10^{-6} molL^{-1}$ تا $10^{-6} \times 10^{-7} molL^{-1}$ کالیبراسیون در محدوده $10^{-5} \times 10^{-6} molL^{-1}$ تا $10^{-6} \times 10^{-7} molL^{-1}$ با معادله $Y = 27334X + 0.0784$ و $R^2 = 0.995$ (شکل ۷-۳) بدست آمد که حد تشخیص $Y = 36737X + 0.2662$ و $R^2 = 0.9901$ (شکل ۷-۳) بدست آمد که حد تشخیص $10^{-7} molL^{-1}$ و $10^{-7} molL^{-1}$ به ترتیب برای Hg^{2+} و Cd^{2+} بود. جدول ۳ یک پارامتر تأیید و مقایسه بین نتایج حاصل با روش حاضر با روش‌های دیگر را برای تعیین این مواد نشان می‌دهند.

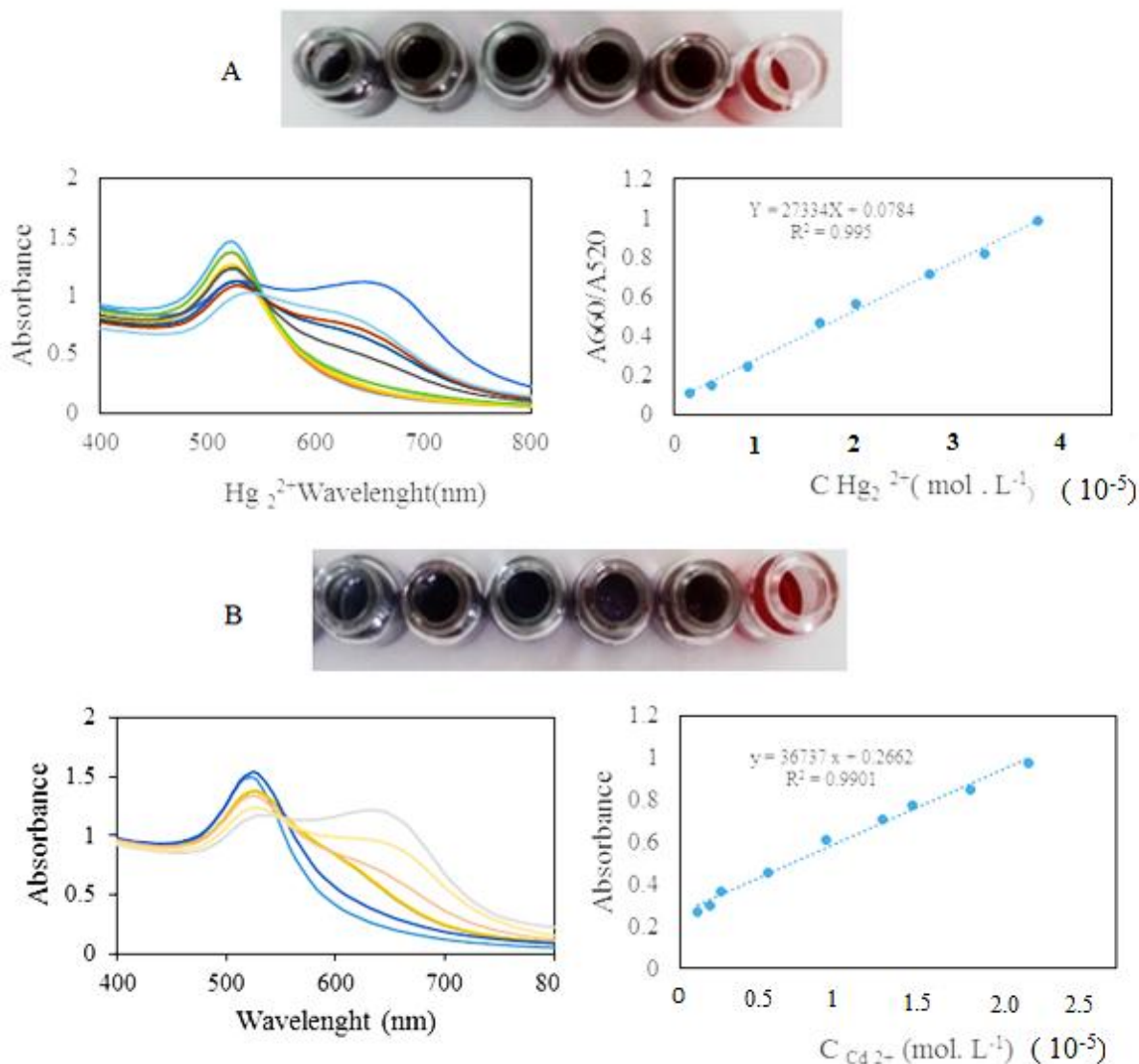
این روش حد تشخیص خوب و محدوده خطی بهتر از طیف سنجی جذب اتمی الکتروشیمیایی^۱ (ETAAS)، طیف سنجی جرمی پلاسمای جفت شده القایی^۲ (ICP-MS)، طیف سنجی جرمی پلاسمای جفت شده القایی تبخیر الکتروترمال^۳ (EVICP-MS) و طیف سنجی جذب اتمی (AAS)^۴ دارد [۷۶].

^۱ Electrochemical atomic absorption spectrometry

^۲ inductively coupled plasma mass spectrometry

^۳ electro - thermal vaporization inductively coupled plasma mass spectrometry

^۴ atomic absorption spectrometry



شکل ۳-۷-منحنی کالیبراسیون Cd^{2+} و Hg^{2+} در شرایط بهینه، قدرت یونی $10^{-5} \text{ nmolL}^{-1}$ pHv $PHCA 10^{-5} \text{ molL}^{-1}$ دقیقه،

جدول ۱-۳. داده‌های عملکردی اختصاصی حاصل از روش اسپکتروفتوometری و سایر تکنیک‌ها برای تعیین

 Cd^{2+} و Hg^{2+}

منبع	حد تشخیص ($\mu\text{g mL}^{-1}$)	ناحیه خطی ($\mu\text{g mL}^{-1}$)	روش اشکار سازی
A) Cd^{2+}			
[۷۶]	0.36×10^{-6}	$1-100 \times 10^{-6}$	طیف سنجی جذب اتمی الکتروشیمیایی
[۷۷]	$1/5 \times 10^{-7}$	$5-35 \times 10^{-7}$	ICP-MS ^b
[۷۸]	0.08×10^{-6}	$0.1-150 \times 10^{-6}$	EVICP-MS ^c
B: Hg^{2+}			
[۷۶]	0.48×10^{-7}	$2-70 \times 10^{-7}$	طیف سنجی جذب اتمی الکتروشیمیایی
[۷۷]	$0/5$	$1-15 \times 10^{-7}$	AAS ^d
[۷۸]	0.020×10^{-7}	$0.05-120 \times 10^{-7}$	EVICP-MS ^c
This work	$1/21 \times 10^{-7}$ and $0/5 \times 10^{-7}$ mol L ⁻¹ For Hg^{2+} and Cd^{2+}	$3/33 \times 10^{-5}-3/33 \times 10^{-7}$ and $2/0 \times 10^{-5}-1/0 \times 10^{-7}$ mol L ⁻¹ for Hg^{2+} and Cd^{2+}	روش اسپکترو متری

تعیین همزمان Cd^{2+} و Hg_2^{2+}

همان طور که گفته شد برای انتخاب تعداد فاکتورها در الگوریتم PLS یک روش تأیید عرضی یکی در بیرون در هر زمان استفاده شد. افزایش شدت جذب در ۶۶۰nm ارتباط مستقیم با سطح Hg_2^{2+} و Cd^{2+} در نمونه دارد (شکل ۸-۳). سرعت تجمع AuNPs ستنز شده با سیترات با مقدار Cd^{2+} و Hg_2^{2+} با ثابت‌های مختلف ارتباط داشت. نمونه‌های کالیبراسیون و پیش‌بینی با رصد کردن افزایش جذب در ۶۶۰nm جمع آوری شده در فرایند PLS استفاده شد. بررسی مجموعه مذکور شامل ۱۹ نمونه پروفایل‌های سیتیک و الگوریتم‌های PLS_1 و PLS_2 اجرا شد و با استفاده از این کالیبراسیون‌ها مقدار نمونه‌های بیرون مانده در فرایند کالیبراسیون محاسبه شد. تغییر در PRESS در کالیبراسیون PLS_2 به صورت تابعی از تعداد متغیرهای تأخیری PLS در شکل ۸-۳ داده شده است. همان طور که می‌توان دید ۳ جزء برای ساخت مدل PLS_2 کافی است. غیر خطی بودن در ارتباط جذب - غلظت و برهمکنش بین فاکتورها می‌تواند به عنوان منبع دیگری از فاکتورهای شیمیایی در نظر گرفته شود.

جدول ۲-۳ مقدار مرجع Cd^{2+} و Hg^{2+} در مجموعه پیش‌بینی با مدل سازی PLS طیف UV-Vis در 260 nm .

شماره	رفرنس Cd^{2+}	رفرنس Hg^{2+}	مقدار	مقدار	مقدار	دسته پیش‌بینی
			PLS _۱	PLS _۱	مقادیر پیش‌بینی شده	PLS _۱
			PLS _۱	PLS _۱	PLS _۱	PLS _۱
۱	۲۲۱/۹۰	۱۹۵/۹۰	۲۲۱/۳۰	۱۹۶/۷۶	۲۲۰	۱۹۰
۲	۷۷/۵۹	۷۷/۱۰	۷۷/۶۱	۷۷/۲۳	۷۰	۸۰
۳	۲۹۷/۲۱	۲۵۵/۱۱	۲۹۷/۸۵	۲۵۴/۳۲	۳۰۰	۲۶۰
۴	۱۴۱/۹۷	۱۳۹/۰۸	۱۴۲/۱۳	۱۳۸/۹۳	۱۴۰	۱۴۰
۵	۱۸۱/۲۵	۱۶۲/۶۳	۱۸۰/۸۹	۱۶۲/۸۳	۱۸۰	۱۶۰
R.S. E. (%)			$R.S.E.(\%) = \frac{\left[\frac{\sum_{j=1}^N (Cj - \bar{Cj})^2}{\sum_{j=1}^N (Cj)^2} \right]_1}{\left[\frac{\sum_{j=1}^M (Cij - \bar{Cij})^2}{\sum_{j=1}^M (Cij)^2} \right]_2} \times 100$			
۱/۵۷۱	۱/۰۷۵	۲/۴۷۱	۰/۹۴۳	۲/۱۹۷	$R.S.E.t(\%) = \frac{\left[\frac{\sum_{j=1}^M (Cij - \bar{Cij})^2}{\sum_{j=1}^M (Cij)^2} \right]_1}{\left[\frac{\sum_{j=1}^N (Cij - \bar{Cij})^2}{\sum_{j=1}^N (Cij)^2} \right]_2} \times 100$	

مقادیر پیش‌بینی شده برای Cd^{2+} و Hg^{2+} در نمونه‌های کالیبراسیون و پیش‌بینی و خطاهای نسبی متناظر آنها در جدول‌های ۲-۳، ۳-۳ و ۳-۴ آمده است. مشاهده شد که مقادیر پیش‌گویی بسیار نزدیک به مقادیر واقعی هستند و خطاهای پیش‌بینی نسبی تقریباً کمتر از ۶.۰٪ است. این تأیید کننده موفقیت رگرسیون PLS برای پیش‌بینی دقیق مقدار Cd^{2+} و Hg^{2+} در نمونه‌ها.

مقایسه نتایج کالیبراسیون چند متغیری PLS_1 و PLS_2 برای بررسی این که مدل دقیق‌تری ایجاد شده یا خیر مفید است. برای این مقایسه و تأیید مدل‌ها برخی پارامترهای آماری از جمله خطای مربع میانگین ریشه پیش‌بینی (RMSEP)، خطای میانگین ریشه تأیید متقطع (RMSECV) و مربع میانگین ریشه کالیبراسیون (RMSEC) محاسبه شد. پارامترهای آماری محاسبه شده در جدول ۳-۴ آمده‌اند. از جدول ۳-۴ می‌توان دید که کالیبراسیون و پیش‌بینی PLS بهتر از کالیبراسیون تک متغیری است.

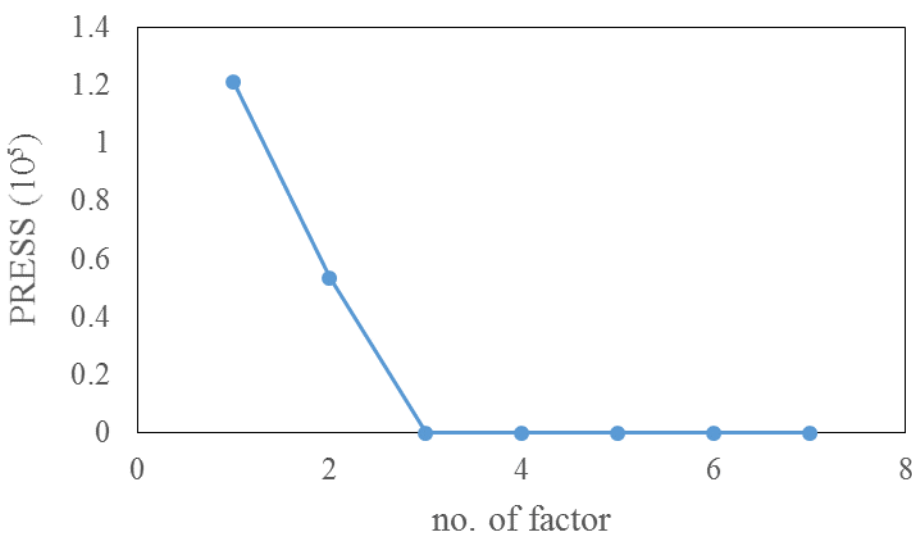
جدول ۳-۳ مقدار مرجع Hg^{2+} و Cd^{2+} در مجموعه کالیبراسیون با مدل سازی PLS طیف UV-Vis در ۶۶۰ nm.

جدول ۴-۳ پارامترهای آماری Cd^{2+} و Hg^{2+} در مدل‌های کالیبراسیون_۱ و PLS_2 توسعه یافته برای تعیین همزمان Cd^{2+} و Hg^{2+} با داده‌های سیتیک.

مدل پیشگویی		
PLS_2 (%)	PLS_1 (%)	پارامترهای آماری
۳/۸۹	۳/۹۹	RMSEP
۲/۶۱	۲/۵۸	RMSECV
۵/۱۶	۵/۱۲	RMSEC

جدول ۴-۴ پارامترهای آماری Cd^{2+} و Hg^{2+} در مدل‌های کالیبراسیون_۱ و PLS_2 توسعه یافته برای تعیین همزمان Cd^{2+} و Hg^{2+} با داده‌های سیتیک.

مدل پیشگویی		
PLS_2 (%)	PLS_1 (%)	پارامترهای آماری
۳/۸۹	۳/۹۹	RMSEP
۲/۶۱	۲/۵۸	RMSECV
۵/۱۶	۵/۱۲	RMSEC



شکل ۳-۸ منحنی PRESS برحسب تعداد فاکتورهای Cd^{2+} و Hg^{2+} .

بررسی مزاحمت

تأثیر مواد خارجی همراه مانند ناپروکسن ، اسکوربیک اسید، ترامادول، کدئین، استامینوفن، ساکاریدها، آمینواسیدها و یون‌ها بررسی شد. مطابق جدول ۳-۵، برخی از مواد همراه موجود مزاحمت شدیدی در آزمایش نداشتند. از این نتایج ، مزاحمت ناپروکسن، اسکوربیک اسید، Na_2NO_2 ، گلوکر، سوکروز، فروکتوز و لاکتوز، لیسین و تریپتوفان، آسپارژین، گلوتامین، والین و تیروزین بسیار ضعیف بود. در میان مواد تست شده Na^+ , K^+ , I^- , NO_3^- , Mg^{2+} , Cl^- , Ca^{2+} , Fe^{3+} و کدئین می‌توانند با مقادیر نسبتاً بالا مجاز باشند ولی سیستئین ، سفکسیم، Cu^{2+} , Fe^{2+} , Al^{3+} , Ni^{2+} , Zn^{2+} , Co^{2+} , Zr^{2+} , Ca^{2+} , SO_4^{2-} , Mn^{2+} , NH_4OH فقط با غلظت‌های نسبتاً پایین مجاز هستند. غلظت مجاز این مواد مزاحم ولی هنوز بالاتر از Cd^{2+} و Hg^{2+} است که نشان داد که این روش گزینش خوبی بین داروها و گونه‌های دیگر دارد.

جدول ۳-۵- تست‌های مواد مزاحم در تعیین همزمان Cd^{2+} و Hg^{2+} در شرایط بهینه : قدرت یونی
 $AuNPs\ 10\ nmolL^{-1}$, $pH\ 7$, $PHCA\ 10^{-5}\ molL^{-1}$, زمان $10\ \text{دقیقه}$,

غلظت قابل تحمل	گونه
(analyte (Hg^{2+} : Cd^{2+}) :interfering ion))	
	نامن، Na_2NO_2 , گلوکر ساکارز فروکتوز لاکتوز
۱ : ۱۰۰	اسکوربیک اسید ناپروکسن تریپتوفان لایسین تایروزین والین گلوتامین اسپارجین
۱ : ۳۰۰	K^+ , Na^+ , NO^{3-} , I^- , Cl^- , Mg^{2+} , Fe^{3+} , Ca^{2+} , کدیین
۱ : ۱۰۰	سیستین، سفکسیم، ترامadol, Mn^{2+} , NH_4OH , SO_4^{2-} , Ca^{2+} , Zr^{4+} , Co^{2+} , Zn^{2+} , Ni^{2+} , Al^{3+} , Fe^{2+} , Cu^{2+} ,

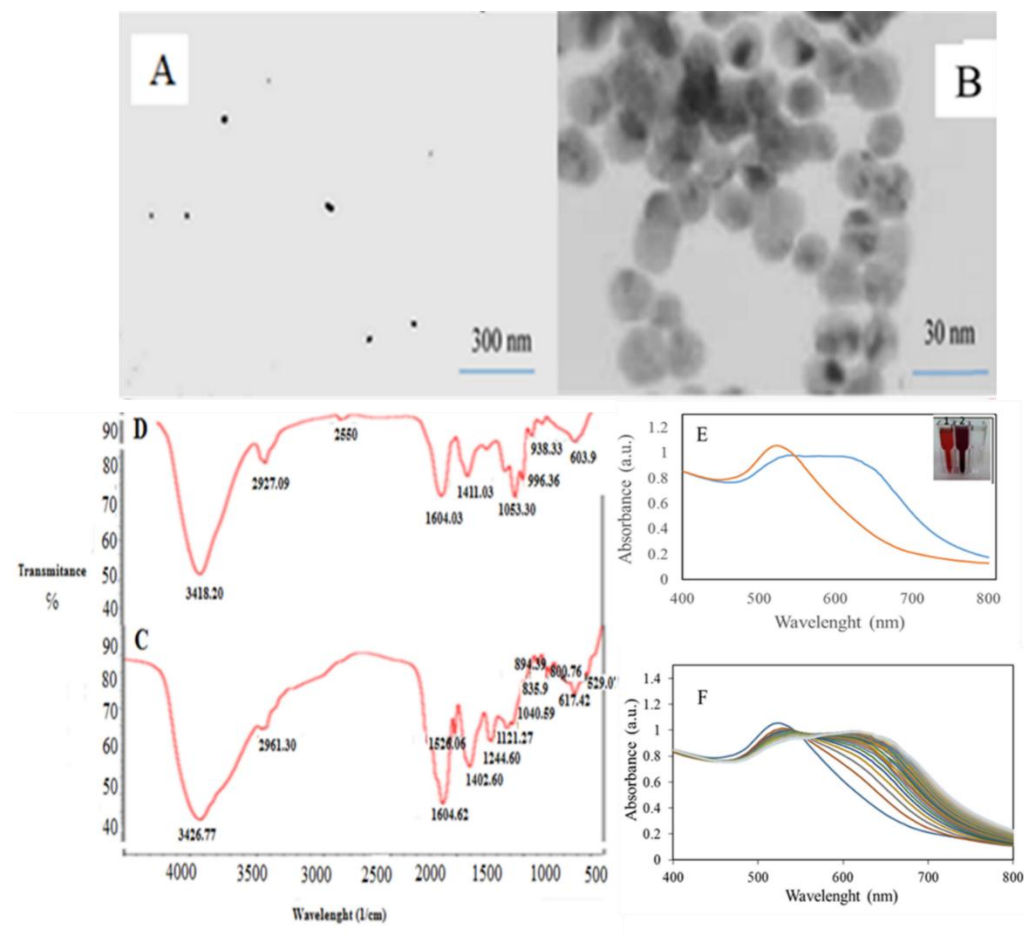
تجزیه نمونه حقیقی

برای تست قابلیت استفاده از روش پیشنهادی آن را در تعیین Cd^{2+} و Hg^{2+} در نمونه‌های آب آلوه تست کردیم. مدل PLS تهیه شده در تخمین غلظت Cd^{2+} و Hg^{2+} در این نمونه‌های آلوه استفاده شد. نتایجی که به دست آمد بازیابی‌های خوبی نشان می‌دهند (۹۰/۰-٪). نتایج نشان دادند که قابلیت استفاده بالقوه این روش‌ها برای تعیین همزمان Cd^{2+} و Hg^{2+} در نمونه‌های حقیقی وجود دارد.

جدول ۳-۶ تجزیه نمونه‌های آب رودخانه‌های زرینه و سیمینه و دریاچه ارومیه برای Hg^{2+} و Cd^{2+} قدرت یونی $AuNPs 10 nmolL^{-1}$, $pH\approx 7$, $PHCA 10^{-5} molL^{-1}$, زمان ۱۰ دقیقه، $10^3 mmolL^{-1}$

نمونه	اضافه شده						(٪) بازده
	Cd^{2+}	Hg^{2+}	پیدا شده ($mol.L^{-1}$)	Cd^{2+}	Hg^{2+}	اضافه شده ($mol.L^{-1}$)	
آب دریاچه ارومیه	-	-	0.4×10^{-7}	0.13×10^{-7}	0	0	
	۹۰/۷۵	۹۰/۰	4.03×10^{-7}	3.19×10^{-7}	4.0×10^{-7}	4.0×10^{-7}	
	۹۰/۴	۱۰۰/۲	4.92×10^{-7}	5.32×10^{-7}	5.0×10^{-7}	5.0×10^{-7}	
	۱۰۶/۷	۹۹/۸۳	7.8×10^{-7}	7.3×10^{-7}	7.0×10^{-7}	7.0×10^{-7}	
آب زرینه رود	-	-	0.018	0.2	0	0	
	۱۰۰/۳	۹۱.۵	4.03×10^{-7}	3.86×10^{-7}	4.0×10^{-7}	4.0×10^{-7}	
	۱۰۰/۸۴	۹۱/۶	5.06×10^{-7}	4.78×10^{-7}	5.0×10^{-7}	5.0×10^{-7}	
	۱۰۰/۰۳	۹۴/۰	7.32×10^{-7}	5.84×10^{-7}	7.0×10^{-7}	7.0×10^{-7}	
آب سیمینه رود	-	-	0.04×10^{-7}	0.02×10^{-7}	0	0	
	۹۶/۵	۱۰۰/۷۵	3.9×10^{-7}	4.05×10^{-7}	4.0×10^{-7}	4.0×10^{-7}	
	۱۰۷/۴	۱۰۳/۴	5.41×10^{-7}	5.19×10^{-7}	5.0×10^{-7}	5.0×10^{-7}	
	۹۷/۸۳	۱۰۳/۰	5.97×10^{-7}	7.20×10^{-7}	7.0×10^{-7}	7.0×10^{-7}	

۴- تعیین همزمان مورفین و ایبوبروفن با تجمع نانوذرات طلا با استفاده از حداقل مربع جزئی به عنوان ابزار کمومتریکس



مقدمه

در این کار یک حسگر جدید براساس تجمع AuNPs با پوشش سیترات^۱ ارائه می‌شود. حضور MOR و IBU در شرایط بهینه AuNPs را القا می‌کند که منجر به یک تغییر رنگ از قرمز به آبی می‌شود، که منجر به تشکیل ذرات بزرگتر و بیان تغییر رنگ آشکار از قرمز به آبی با افزایش غلظت MOR و IBU می‌شود. شرایط تجربی برای حصول بالاترین راندمان در تشکیل نانوذرات بهینه سازی شد. رگرسیون حداقل مربعات جزئی (PLS) به عنوان یک روش کالیبراسیون طیفی چند متغیری مؤثر برای ایجاد ارتباط بین طیف‌های SPR برای AuNPs تهییه شده و غلظت داروها استفاده شد. تعداد متغیرهای نهفته PLS با اعتبارسنجدی متقابل یکی در بیرون با جمع مربع خطای باقیمانده پیش‌بینی شده (PRESS) بهینه سازی شد. مدل پیشنهادی توانایی بالایی برای پیشگویی غلظت MOR و IBU در نمونه‌ها نشان داد به ویژه یک تشخیص انتخابی خوب MOR و IBU در داده‌های سیستیک با بررسی تجمع در برابر داروهای دیگر نشان داده شد. نتایج این کار یک روش سریع برای ارزیابی همزمان تحلیل کمی MOR و IBU در پلاسمای انسان و ادرار در غلظت‌های معنی دار فیزیولوژیکی در pH برابر ۶ ارائه کرد.

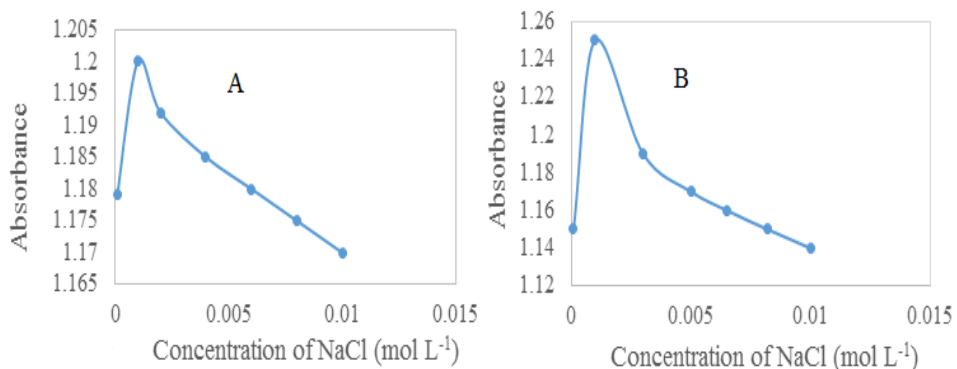
^۱ Citrate capped

بهینه سازی شرایط

بهینه سازی غلظت NaCl

این نانوذرات معمولاً باردارند و بسیار حساس به تغییر در دی الکتریک محلول هستند. برای مثال برای ذرات پایدار شده سیترات، افزایش NaCl بار سطحی را حفاظت می‌کندو منجر به یک کاهش فاصله بین ذرهای و تجمع ذرات نهایی می‌شود.

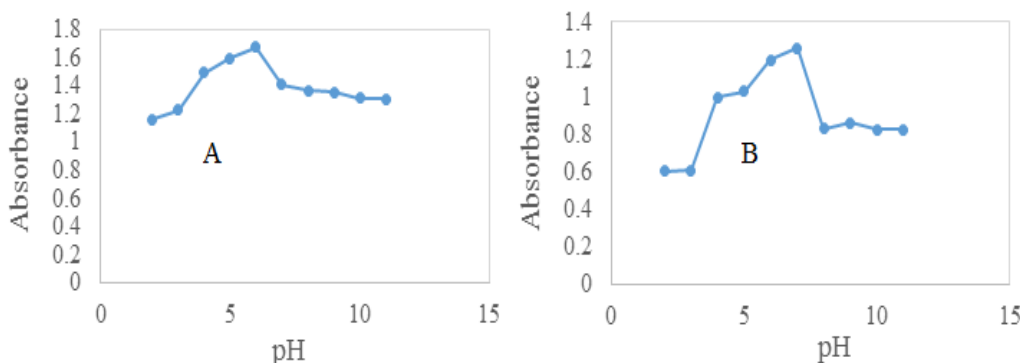
قدرت یونی نقش مهمی در فرایند تجمع دارد که می‌تواند به قابلیت الکتروولیت‌های قوی برای محدودسازی لایه دوگانه الکتریکی حاصله از عامل پوششی نسبت داده شود. اگرچه مشخص شده است که با افزایش قدرت یون بالاتر از یک حد معین، تجمع نانوذرات حتی در غیاب آنالیت القا می‌شود. بنابراین، برخی آزمایشات کنترل شده انجام شدند که غلظت 1 mmol L^{-1} NaCl به صورت بهینه سازی شده نشان دادند (شکل ۱-۴) که در آن تجمع نه در غیاب بلکه در حضور آنالیت‌های ما رخ می‌دهد



شکل ۱-۴. بهینه سازی قدرت یونی برای (A) IBU و (B) MOR غلظت NaCl mol L^{-1} و زمان 10 min در 25°C ، $\text{pH} = 6$ ، آبیو بروفن و مورفین $10\text{ }\mu\text{g mL}^{-1}$ ، 10 n mol L^{-1} AuNPs.

pH بهینه سازی

به دلیل حضور گروه‌های هیدروکسیل ، کربوکسیل و آمین در داروها، pH یک پارامتر کلیدی دیگر است که باید در نظر گرفته شود. برهمکنش الکترواستاتیک عمده‌تاً مسئول تجمع AuNPs در حضور داروها است. با در نظر داشتن این مسئله برای افزایش احتمال برهمکنش الکترواستاتیک، بهترین شرایط قابل حصول است که در آن ملکولهای دارو در محیط نانوذرات حاضرند. این هم چنین می‌تواند براساس دیاگرام استوک^۱ داروها تأیید شود. مطابق شکل ۲-۴، AuNPs سنتز شده در محدوده pH ۶ پایدار هستند. بنابراین داروهای ما بهترین ساختار را برای برهمکنش با AuNP در pH ۶ و ۷ دارند. بنابراین بهترین pH برای این کار ۶ است.

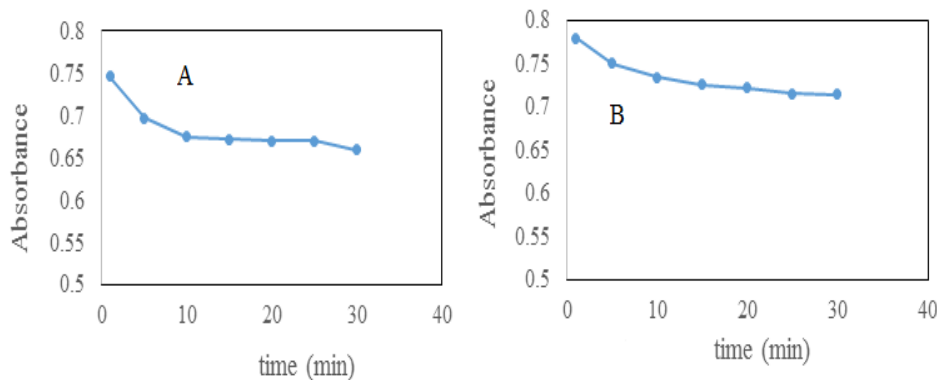


شکل ۲-۴. بهینه سازی pH (الف) برای ایبو بروفن (ب) برای مورفین، pH محلول ۲-۱۱، ۲۵°C دما، قدرت ۱۰^{-۱} mol L^{-۱} AuNPs . mol L^{-۱} از ایبو بروفن و مورفین^۲ ۲۰۰ μL زمان ۱۰ دقیقه، تزریق .n mol L^{-۱}

^۱ Stock diagram

بهینه سازی زمان انکوبه شدن

زمان‌های انکوبه شدن مختلف برای بهینه سازی آن بررسی شدند. نتایج نشان دادند که AuNPs پس از اختلاط با IBU (عامل تجمع) در شرایط بهینه، AuNPs از سوی دیگر تجمع متوقف شد و تغییر طیفی در ۱۰ دقیقه به عنوان زمان انکوبه شدن بهینه قابل تشخیص بود. بنابراین از این زمان به عنوان زمان پایان برای داده‌های سینتیکی استفاده کردیم که برای اندازه گیری همزمان انتخاب شد (شکل ۴-۳).

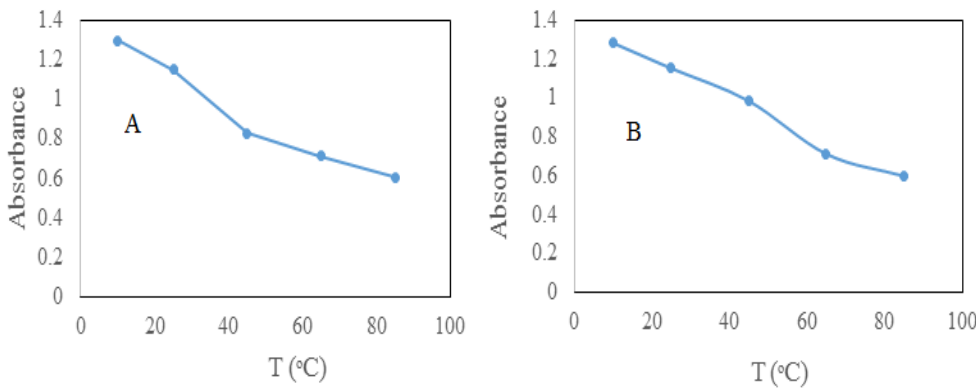


شکل ۴-۳. بهینه سازی زمان انکوباسیون برای (الف) مورفین (ب) برای ایبو بروفن، زمان ۳۰-۵ دقیقه، 25°C دما، قدرت یونی 1 mol L^{-1} ، تزریق $200\text{ }\mu\text{L}$ از ایبو بروفن و مورفین $4-110\text{ }\text{mol L}^{-1}$.

بهینه سازی دما

دما اغلب تأثیر مهمی بر سرعت واکنش‌های شیمیایی دارد. ملکولها در دماهای بالاتر انرژی حرارتی بیشتری دارند. اگرچه فرکانس برخورد در دماهای بالا بیشتر است. یک فاکتور مهم در سینتیک واکنش دما برای داده‌های سینتیک ایزوترم است. این دما باید سرعت واکنش خوب و نه خیلی پایین ایجاد کند تا بهترین شدت جذب برای نانوذرات برای انتخابگری و حساسیت بیشتر

بدست آید. بهترین شرایط دمایی برای هدف ما 25°C است که در شکل زیر نشان داده شده است(شکل ۴-۴).



شکل ۴-۴. بهینه سازی دما برای (الف) مورفین ب) برای ایبو بروفن درجه حرارت 25°C ، زمان ۱۰ دقیقه، دما، قدرت یونی 1 mol L^{-1} ، تزریق $200\text{ }\mu\text{L}$ میکرولیتر از ایبو بروفن و مورفین $4\text{--}10\text{ }\mu\text{mol L}^{-1}$ AuNPs.

توسعه مدل PLS

رگرسیون NIPALS به صورت PLS اجرا شد به طوریکه در میان اجزای نمونه مختلف ، مدل PLS برای میزان MOR و IBU توسعه یافت. طیف‌های جذبی دیجیتالی شده در محدوده ۱۰ دقیقه (بازه‌های 1 nm) تغییر یافت و نمونه‌ها به عنوان متغیرهای شاخص (متغیرهای X) و پیش‌بینی شده (متغیر Y) عبارت بودند از مقدار MOR و IBU. رگرسیون PLS نیازمند یک سری نمونه‌های کالیبراسیون و پیش‌بینی از ۲۷ مخلوط مختلف بودند که از ترکیب MOR و IBU در محلول AuNPs به دست آمد که از آن میان ۲۰ نمونه به عنوان مجموعه کالیبراسیون و بقیه به عنوان مجموعه پیش‌بینی استفاده شد. باید توجه شود که مجموعه پیش‌بینی شامل ۷ نوع مخلوط بود که در نمونه‌های کالیبراسیون وجود نداشت. مدل PLS با استفاده از نمونه‌های

کالیبراسیون ساخته شد [۱۷۸]. تعداد بهینه متغیرهای نهفته PLS با اعتبارسنجدی متقابل یکی در بیرون با استفاده از مجموع خطای باقیمانده پیش‌بینی مربع (PRESS) به عنوان یک معیار آماری بدست آمد. تحلیل PLS از طریق الگوریتم NIPALS (حداقل مربعات جزئی تکراری غیرخطی) بدست آمد. همه محاسبات در محیط MATLAB انجام شد.

اعتبارسنجدی روش

به این منظور تحت شرایط بهینه یک منحنی کالیبراسیون معمولی برای تعیین MOR و IBU با ترسیم جذب (A) در برابر غلظت‌های دارو به دست آمد. منحنی کالیبراسیون در محدوده $Y = -0.0127 \times +1/2291 \times 1/33-33/29$ و $1/9\mu g mL^{-1}$ با معادله‌های $R^2 = 0.9902$ ، $Y = -0.0849 \times +1/1965 \times 0.9904$ و $R^2 = 0.9904$ (شکل ۴-۵) خطی بود و حد تشخیص برابر بود با $0.03\mu g mL^{-1}$ برای MOR و $0.05\mu g mL^{-1}$ برای IBU. جدول ۱-۴ یک مقایسه بین نتایج حاصل از روش فعلی با موارد حاصل از برخی روش‌های دیگر گزارش شده در تعیین این داروها را نشان می‌دهد. مطابق مقایسه جدول ۱-۴ روش فعلی حد تشخیص خوب و محدوده خطی قابل قبول در مقایسه با کروماتوگرافی مایع با عملکرد بالای فاز معکوس^۱ (RP-HPLC)، روش الکتروشیمیایی، کروماتوگرافی مایع-اسپکتروسکوپی جرمی (LC-MS-MS)^۲، کروماتوگرافی گازی- طیف سنجدی جرمی (GC-MS)^۳، روش‌های مشتق سازی آبی مستقیم^۴ و HPLC/UV^۵ دارد [۷۹]. باید توجه شود که مزایای اصلی این روش عبارتند از استفاده از روش بسیار ساده برای تعیین این دارو.

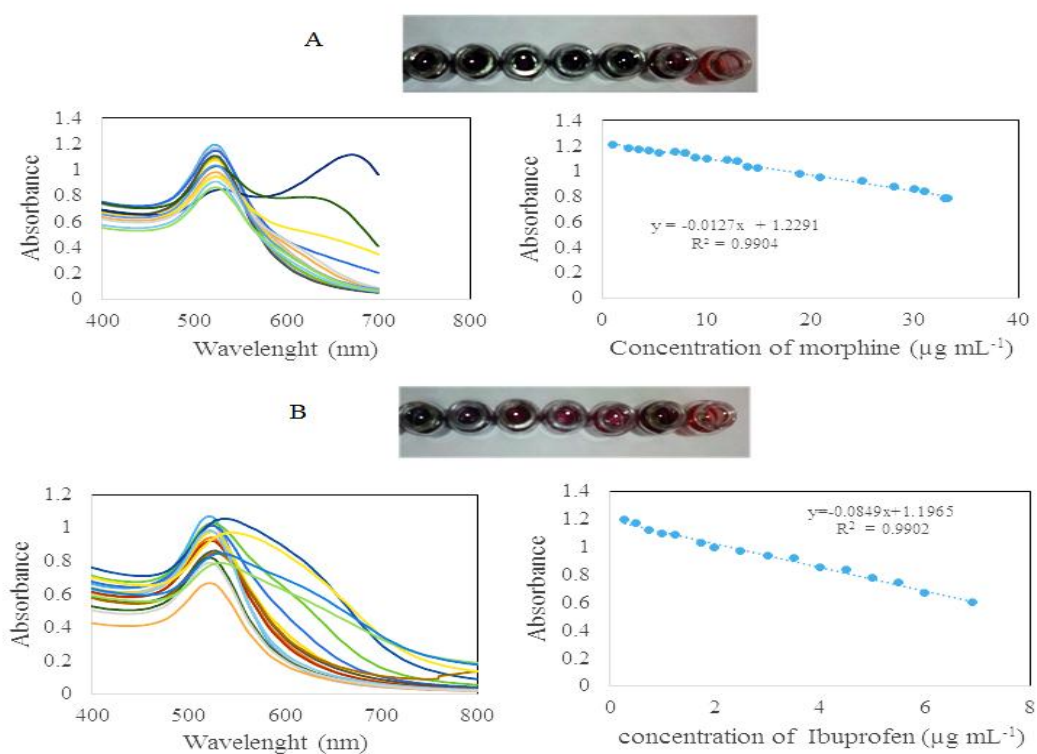
^۱ Reverse phase high performance liquid chromatography

^۲ Liquid chromatography – mass mass spectroscopy

^۳ Gas chromatography mass spectroscopy

^۴ Direct aqueous derivative method

^۵ High performance liquid chromatography / ultra violet



شکل ۴-۵. شکل منحنی ۲. کالیبراسیون (الف) برای مورفین ۱/۳۳-۳۳/۲۹ و (ب) برای ایبو برو芬 ۶/۹-۲۸/۰. ۱، به ترتیب: 25°C دما، قدرت یونی 1 mmol L^{-1} pH، زمان ۱۰ دقیقه، $10\text{ n}\text{mol L}^{-1}$ AuNPs

جدول ۱-۴.. داده‌های عملکرد مشخصه به دست آمده توسط اسپکتروفتو متری روش‌ها و تکنیک‌های

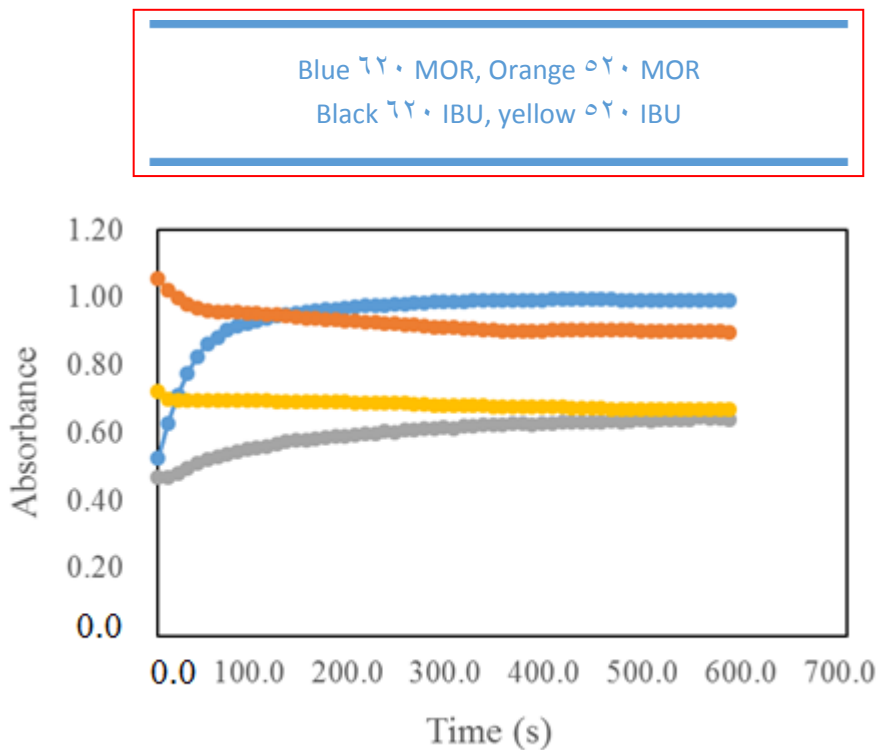
دیگر برای اندازه گیری مورفین و ایبو بروفن.

منبع	حد تشخیص ($\mu\text{g mL}^{-1}$)	ناحیه خطی ($\mu\text{g mL}^{-1}$)	روش اندازه گیری
برای مورفین (a)			
[۳۸۷]	۰/۰۵	۰/۱۵-۲	کروماتوگرافی مایع با عملکرد بالا فاز معکوس
[۳۸۸]	۰/۰۰۱	۰/۰۰۲-۰	کروماتوگرافی مایع - اسپکتروسکوپی جرمی- جرمی
[۳۸۹]	۰/۰۰۲	۰/۰۰۸-۵/۰	روش الکتروشیمیایی
[۳۹۰]	۰/۰۰۳	۰/۰۲-۲۰	مشتق سازی مستقیم در محیط ابی
[۳۹۱]	۰/۰۰۲	۰/۰۲۵-۲	کروماتوگرافی گازی - اسپکتروسکوپی جرمی
برای ایبو بروفن (b)			
[۳۹۲]	۰/۵۳	۲-۳۲	مشتق سازی و نسبت گیری از طیف‌ها
[۴۹۳]	۱/۷	۲۰۰-۶/۱	کروماتوگرافی مایع با عملکرد بالا
این کار	۰/۰۳ ۰/۰۳ ۰/۰۱۵	۰/۲۸-۶/۹ ۰/۱۳۳-۳۳/۲۹ ۰/۱۳۳-۳۳/۲۹	روش اسپکترو متری

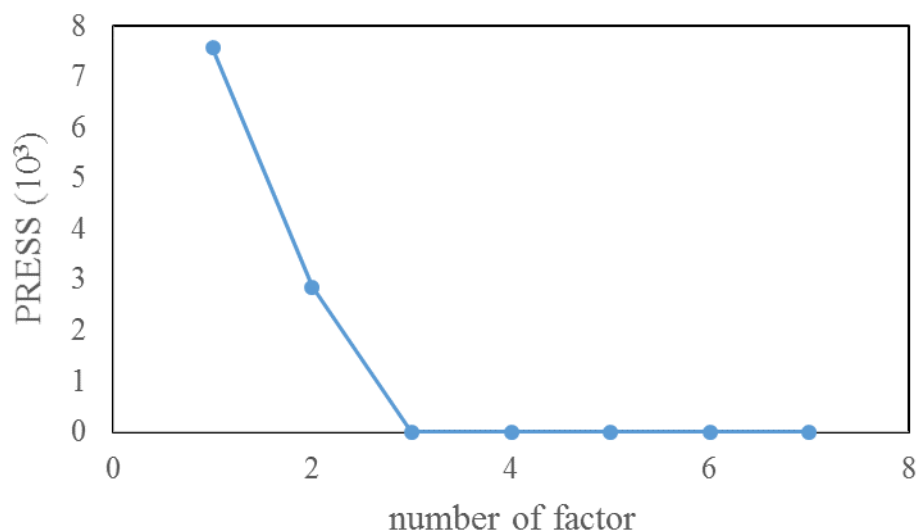
بررسی تعیین همزمان مورفین و ایبو بروفن

بررسی‌های اولیه نشان داد که کاهش شدت طیف‌های UV-Vis در ۵۲۰ nm و افزایش در ۶۲۰ nm ارتباط مستقیم با میزان مورفین و ایبو بروفن در نمونه دارد (شکل ۴-۶). این ویژگی برای پیشنهاد یک روش تجربی برای تعیین این داروها در نمونه‌ها ما استفاده شد. تجمع AuNPs سنتز شده به وسیله سیترات به مقادیر مورفین و ایبو بروفن نسبت داده شد. در طیف جذبی نمونه‌های کالیبراسیون و جذبی ابتدا کالیبراسیون یک متغیره استفاده شد به طوری که شدت در ۵۲۰ nm به غلظت دارو نسبت داده شد. داده‌های دو انتهای منحنی به ویژه در غلظت‌های پایین انحراف شدیدی از خط راست نشان می‌دهد. به علاوه داده‌های پیش‌بینی انحرافات مهمی از داده‌های کالیبراسیون دارند و در نتیجه مدل کالیبراسیون حاصله برای پیش‌بینی داده‌های خارجی قابل استفاده نیست. این بی‌نظمی را می‌توان به اثر مزاحم اجزای دیگر نسبت داد که می‌توانند Au^{3+} را تجمع دهند و AuNPs بزرگتری ایجاد کنند. بنابراین رگرسیون PLS استفاده شده به عنوان یک روش کالیبراسیون چند متغیره قدرتمند و پرکاربرد برای مدل سازی نقش گونه‌های مزاحم در علامت‌های کل SPR استفاده شدند. مدل PLS با استفاده از مجموعه کالیبراسیون توسعه یافت. تغییرات در PRESS و به صورت تابعی از تعداد متغیرهای نهفته PLS در شکل ۴-۶ آمده‌اند. همان‌طور که نشان داده شده است، RMSE به یک حداقل در تعداد متغیرهای نهفته به ۷ می‌رسد. به علاوه صفحه اول Au در PRESS در یک تعداد متغیر نهفته برابر ۷ مشاهده شده است. متعاقباً ۷ اجزای اصلی برای محاسبه ضرایب رگرسیون PLS و پشی بینی مقدار مورفین و ایبو بروفن نمونه‌های پیشگویی انتخاب شدند. ریشه مربع خطای میانگین اعتبارسنجی متقابل (RMSECV) تخمین زده شده با این تعداد متغیر برابر ۴٪ است. در میان فاکتورهای آشکارسازی شده یکی را می‌توان به مورفین و دیگری را به ایبو بروفن ارتباط داد. به

علاوه، غیرخطی بودن ارتباط جذب- غلاظت و برهمکنش بین فاکتورها می‌تواند به عنوان یک منبع دیگر فاکتورهای شیمیایی درنظر گرفته شود. مقادیر پیش‌بینی شده مقادیر مورفین و ایبو بروفن در نمونه‌های کالیبراسیون و پیش‌بینی و خطاهای نسبی متناظر آنها در پیش‌بینی در جدول‌های ۲-۴، ۳-۴ و ۴-۴ فهرست شده‌اند. مشاهده شده است که مقادیر پیش‌بینی شده بسیار نزدیک به مقدار واقعی است و خطاهای پیش‌بینی نسبی تقریباً کمتر از ۵٪ است. این موفقیت رگرسیون PLS برای پیش‌بینی دقیق مقدار مورفین و ایبو بروفن در نمونه‌ها را نشان می‌دهد. حال مقایسه نتایج PLS_1 و PLS_2 کالیبراسیون چند متغیری منجر به مدل مناسب‌تر می‌شود. برای این مقایسه و اعتبارسنجی مدل‌ها برخی پارامترهای آماری از جمله ریشه مربع خطای میانگین پیش‌بینی (RMSEP)، ریشه مربع خطای میانگین اعتبارسنجی متقابل (RMSECV) و ریشه مربع خطای میانگین کالیبراسیون (RMSEC) محاسبه شدند. پارامترهای آماری محاسبه شده در جدول ۲-۴ آمده‌اند. می‌توان از جدول ۴-۳ دید که نتایج کالیبراسیون و پیش‌بینی S-PLS سازگارتر از کالیبراسیون یک متغیره است. یک مقایسه بین پارامترهای آماری PLS و مدل‌های PLS یک متغیره نشان می‌دهد که RMSEP بسیار حاصل از PLS مدل از RMSEP بسیار کمتر است. به علاوه مدل یک دارای همه الزامات در نظر گرفته شدن به عنوان یک مدل پیش‌گویانه است در حالیکه مدل یک متغیره این گونه نیست.



شکل ۶-۴. تغییر در جذب AuNPs در جذب ۵۲۰ و ۶۲۰ نانومتر، برای تزریق ۷۰۰ μL (mol L⁻¹) از محلول ۱۰^{-۴} mol L⁻¹ داروهای مورفین و ایبو بروفن درجه حرارت ۲۵ °C، زمان ۱۰ دقیقه، قدرت یونی ۱ m mol L^{-1} AuNPs در ۱ n mol L^{-1} دما، در هر شرایط بهینه از این داروها: برای مورفین و ایبو بروفن درجه حرارت ۲۵ °C.



شکل ۷-۴. نمودار PRESS در برابر تعداد فاکتورها برای مورفین و ایبو بروفن.

جدول ۲-۴. سطح مقدار مرجع و اصلی مورفین و بروفن در دسته پیش‌بینی تعیین شده توسط مدل PLS از طیف SPR.

ردیف شماره	دسته پیش‌بینی						
	مقادیر پیش‌بینی شده		مقادیر		مقادیر		
	PLS _۱	PLS _۲	مرجع مورفین	مرجع ایبو	بروفن	ماره	
۱	۲۲۱/۱۴	۴۱۸/۹۸	۲۲۱/۵	۴۱۸/۹	۲۳۰	۴۶۰	
۲	۲۸۵/۴۹	۵۰۵/۰۷	۲۸۵/۵	۵۰۵/۰۶	۲۸۰	۵۳۰	
۳	۱۵۶/۸	۲۸۹/۴۶	۱۵۶/۹	۲۸۹/۴۳	۱۶۰	۳۰۰	
۴	۳۵۹/۰۱	۶۵۲/۴	۳۵۹	۶۵۲/۴	۳۶۰	۶۶۰	
۵	۳۶۷/۸۳	۶۶۳/۲۵	۳۶۷/۷	۶۶۳/۲۶	۳۷۰	۶۶۰	
۶	۳۳۲/۰۷	۵۹۴/۹۶	۳۳۲/۴	۵۹۴/۹۹	۳۳۰	۵۸۰	
۷	۳۳۳/۵۴	۶۰۰/۳۵	۳۳۳/۴	۶۰۰/۳	۳۳۰	۶۰۰	
R.S.E. (%)							
	۱/۴۹	۳/۵۶	۱/۴۵	۳/۰۵	$R.S.E. (\%) = \left[\frac{\sum_{j=1}^N (C^j - \hat{C}^j)^2}{\sum_{j=1}^N (C^j)^2} \right]^{1/2} \times 100$		
۳/۱۹	$R.S.E.t(\%) = \left[\frac{\sum_{j=1}^M \sum_{i=1}^N (C^{ij} - \hat{C}^{ij})^2}{\sum_{j=1}^M \sum_{i=1}^N (C^{ij})^2} \right]^{1/2} \times 100$						

جدول ۳-۴. سطح مقدار مرجع و اصلی مورفین و بروفن درسته کالیبراسیون تعیین شده توسط مدل PLS از طیف SPR.

دسته کالیبراسیون

شماره	مقادیر مرجع ایبو بروفن	مقادیر پیش‌بینی شده		مقادیر مرجع مورفین	دسته کالیبراسیون
		PLS _۱	PLS _۲		
۱	۷۰۰	۴۰۰	۳۶۵/۱۶	۷۰۴/۶۲	۳۶۵
۲	۵۲۰	۲۶۰	۲۶۲/۰۰	۵۲۴/۹۶	۲۶۲/۵۴
۳	۳۷۰	۱۹۰	۱۹۰/۶۸	۳۶۴/۸۳	۱۹۰/۷
۴	۲۹۰	۱۶۰	۱۶۵/۰۳	۲۹۳/۷۷	۱۶۵/۰۶
۵	۳۲۰	۱۷۰	۱۷۱/۷۵	۳۲۰/۱۵	۱۷۱/۷۷
۶	۳۲۰	۱۷۰	۱۷۳/۴۴	۳۱۵/۲	۱۷۳/۴۷
۷	۳۵۰	۲۰۰	۱۹۳/۸	۳۴۶/۶	۱۹۳/۸۲
۸	۴۶۰	۲۳۰	۲۳۲/۲۹	۴۶۴/۱۴	۲۳۲/۲۸
۹	۴۵۰	۲۷۰	۲۷۴/۳۷	۴۵۳/۸۷	۲۷۴/۳۸
۱۰	۷۴۰	۲۹۰	۲۹۹/۶۲	۷۳۷/۱۶	۲۹۹/۵۲
۱۱	۱۸۰	۸۰	۷۹/۴	۱۰۲/۶۴	۷۹/۹۴
۱۲	۱۷۰	۱۰۰	۱۰۳/۰۴	۱۰۲/۴۹	۱۰۲/۸۹
۱۳	۱۷۰	۱۰۰	۱۰۰/۶۵	۱۷۲/۰۷	۱۰۰/۷۷
۱۴	۳۳۰	۲۲۰	۲۱۸	۳۳۱/۵۲	۲۱۷/۹۵
۱۵	۳۵۰	۲۰۰	۱۹۹/۹۷	۳۴۶/۴۴	۲۰۰
۱۶	۱۶۰	۹۰	۱۶۲/۱۷	۹۱/۴۵	۹۱/۴۵
۱۷	۲۴۰	۱۳۰	۱۳۳/۰۵	۲۴۱/۶	۱۳۳/۵۶
۱۸	۶۵۰	۳۷۰	۳۷۶/۱۸	۶۵۵/۴۹	۳۷۶/۲۲
۱۹	۶۴۰	۳۶۰	۳۶۷/۶۳	۶۳۹/۷۴	۳۶۷/۶۹
۲۰	۲۰۰	۱۰۰	۱۱۰/۲۹	۱۹۴/۳۴	۱۱۰/۳۴
R.S.E. (%)		۴/۰۴	۱/۹۲	۴/۰۳	۱/۹۱
$R.S.E. (\%) = \left[\frac{\sum_{j=1}^N (C^j - Cj)^2}{\sum_{j=1}^N (Cj)^2} \right]^{1/2} \times 100$					
$R.S.E.t(\%) = \left[\frac{\sum_{j=1}^M \sum_{i=1}^N (C^ij - Cij)^2}{\sum_{j=1}^M \sum_{i=1}^N (Cij)^2} \right]^{1/2} \times 100$					
۲/۰۵					

جدول ۴-۴. پارامترهای آماری از مدل‌های پیش‌بینی PLS۱ و PLS۲ در اندازه گیری همزمان ایبو بروفن و مورفین با استفاده از داده‌های سیتیکی.

پارامترهای آماری	مدل پیش‌بینی	
PLS۱ (%)	PLS۲ (%)	
۴/۶۹	۴/۷	RMSEP
۴/۲	۴/۱	RMSECV
۵/۲	۵/۱	RMSEC

بررسی اثر مزاحمت

تأثیر مواد همزیست خارجی مانند ناپروکسن، اسکوربیک اسید، ترامadol، کدئین، استامینوفن، ساکاریدها، آمینواسیدها و یونها تست شدند. مطابق جدول ۴-۵ بیشتر مواد همزیست بررسی شده مزاحمت زیادی در تحقیق ایجاد نکردند. از نتایج، مزاحمت ناپروکسن، اسکوربیک اسید، Na_2NO_2 ، تریپتوфан، تیروزین، گلوکز، سوکروز، فروکتوز و لاکتوز بسیار ضعیف بودند. در میان مواد تست شده K^+ ، Na^+ ، Ca^{2+} ، Fe^{3+} ، Mg^{2+} ، Cl^- ، I^- ، No_3^- ، Cu^{2+} ، Al^{3+} ، Ni^{2+} ، Zn^{2+} ، Co^{2+} ، Zr^{2+} ، Ca^{2+} ، SO_4^{2-} ، Cd^{2+} می‌توانند با غلظت‌های نسبتاً مجاز باشند ولی سفکسیم، سفتریاکسون، Mn^{2+} ، NH_4OH می‌توانند با غلظت‌های نسبتاً مجاز باشند ولی سفکسیم، سفتریاکسون با غلظت‌های Cu^{2+} ، Fe^{2+} ، Al^{3+} ، Ni^{2+} ، Zn^{2+} ، Co^{2+} ، Zr^{2+} ، Ca^{2+} ، SO_4^{2-} ، Cd^{2+} نسبتاً پایین مجاز هستند. غلظت‌های مجاز این مواد مزاحم ولی هنوز بالاتر از MOR و IBU هستند که نشان داد که این روش انتخابگری خوبی بین داروها و سایر گونه‌ها به دلیل تفاوت در طیف‌های کاهش یابنده با زمان داشتند.

جدول ۵-۴ بررسی اثر مزاحمت در تعیین همزمان مورفین و ایبو بروفن مخلوط $200 \mu\text{L}$ از مورفین و ایبو بروفن مخلوط به ترتیب مقدار گونه مزاحم ذکر شده در جداول زیر در شرایط مطلوب: 25°C دما، قدرت $\text{AuNPs } 10 \text{ nmol L}^{-1}$ ، $\text{pH } 6$ ، زمان 10 دقیقه، mmol L^{-1} .

گونه	غلظت ($\mu\text{g mL}^{-1}$)	تغییر در شدت جذب (%)
آسکوربیک اسید، Na_2NO_2 ، تریپتوфан ناپروکسن، لاكتوز، ساکارز، فروکتوز، گلوکز، تایروزین، K^+ , Na^+ , NO_3^- , I^- , Cl^- , Mg^{2+} , Fe^{3+} , Ca^{2+} , NH_3OH , Mn^{2+} , Cd^{2+} , SO_4^{2-} , Ca^{2+} , Zr^{4+} , Co^{2+} , Zn^{2+} , Ni^{2+} , Al^{3+} , Fe^{2+} , Cu^{2+} , Pb^{2+}	$200/\text{v}$	۴
		۱۵
		۳۰

تجزیه نمونه حقیقی

به منظور تست قابلیت استفاده از روش پیشنهادی، آن را در تعیین IBU و MOR در سرم و ادرار استفاده کردیم. جدول ۶-۴ نشان می‌دهد که IBU و MOR در سرم اصلی حدود $(3/94)$ و $(4/43)$ در سرم و $(13/92)$ در ادرار (به ترتیب) هستند. حجم دقیقی از دارو بیشتر با DDW^1 رقیق سازی شد به طوری که غلظت IB در محلول نهایی قرص می‌تواند با محدوده خطی منحنی کار انطباق داشته باشد. نتایج فوق قابلیت استفاده بالقوه از این روشها را برای

¹ Double distilled water

تشخیص همزمان *IBU* و *MOR* در نمونه‌های حقیقی نشان دادند. نتایج این بررسی در جدول ۴-۶ آمده است. این عملکرد خوب روش پیشنهادی را برای تعیین همزمان *IBU* و *MOR* در نمونه‌های سرم و ادرار نشان می‌دهد.

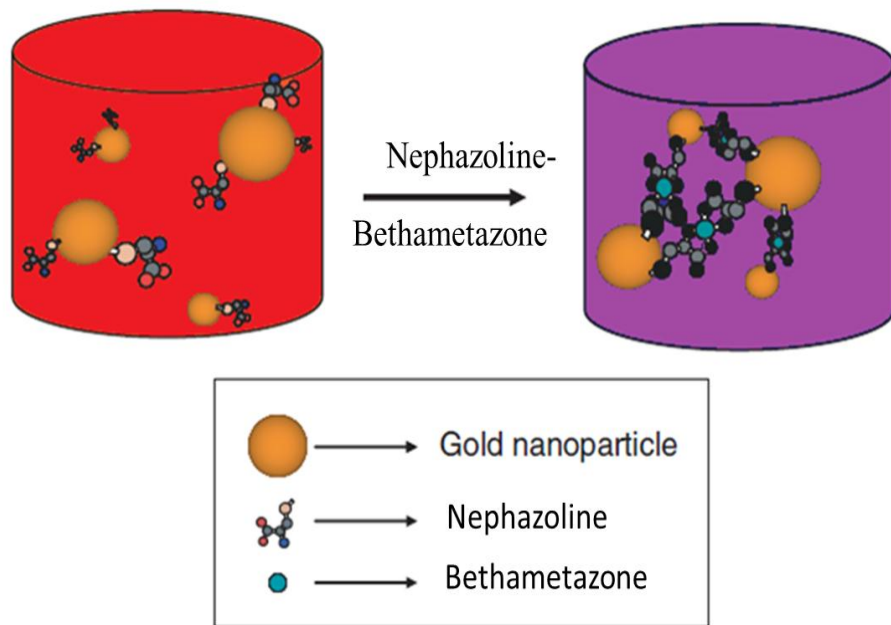
جدول ۴-۶. بررسی نمونه رقیق سرم خون و ادرار برای مورفین و ایبو بروفن دما 25°C ، قدرت یونی 10 n mol L^{-1} , AuNPs از 6 mmolL^{-1} , pH زمان 10 دقیقه، (%) بازده

نمونه	اضافه شده		پیدا شده		نمونه (%) بازده	
	($\mu\text{g mL}^{-1}$)					
سرم						
	-	-	ND	ND*	.	.
	۱۰۶/۶	۹۹/۶	۳/۲	۱۴/۹۴	۳	۱۵
ادرار	-	-	ND	ND	.	.
	۱۱۰/۷	۹۹/۴	۴/۴۳	۱۳/۹۲	۴	۱۴

*¹ND: دیده نشد

¹ Not detected

۵- تعیین رنگ سنجی همزمان سریع و ساده بتامتازون و نفازولین براساس حداقل مربعات جزئی با استفاده از پروب نانوذرات طلا



مقدمه

در این کار یک حسگر عادی برای دارو براساس تجمع AuNPs با پوشش سیترات ارائه شد. حضور BET و NEP در شرایط بهینه تجمع AuNPs را القا کرده منجر به تغییر رنگ از قرمز به آبی می‌شود که منجر به اندازه بزرگتر نانوذرات، بیان تغییر رنگ آشکار از قرمز به آبی با افزایش غلظت BET و NEP می‌شود. شرایط تجربی برای حصول بالاترین راندمان در تشکیل نانوذرات بهینه سازی شد. رگرسیون حداقل مربعات جزئی (PLS) به عنوان یک روش کالیبراسیون طیفی چند متغیری کارآمد برای ایجاد ارتباط بین طیف‌های SPR در AuNPs حاصله و غلظت داروها استفاده شد. تعداد متغیرهای نهفته PLS با اعتبارسنجی متقابل یکی در بیرون با پیش‌بینی مجموع مربعات خطای باقیمانده (PRESS) بهینه سازی شد. مدل پیشنهادی قابلیت بالایی در پیش‌بینی غلظت BET و NEP در نمونه‌ها به ویژه تشخیص انتخابی خوب BET و NEP در داده‌های سیستیکی با بررسی تجمعی در برابر داروها نشان داد. نتایج این کار یک روش سریع برای ارزیابی همزمان تحلیل کیفی BET و NEP در پلاسمای انسان و قطره‌های چشم در غلظت‌های معنی دار فیزیولوژیکی ارائه کرد.

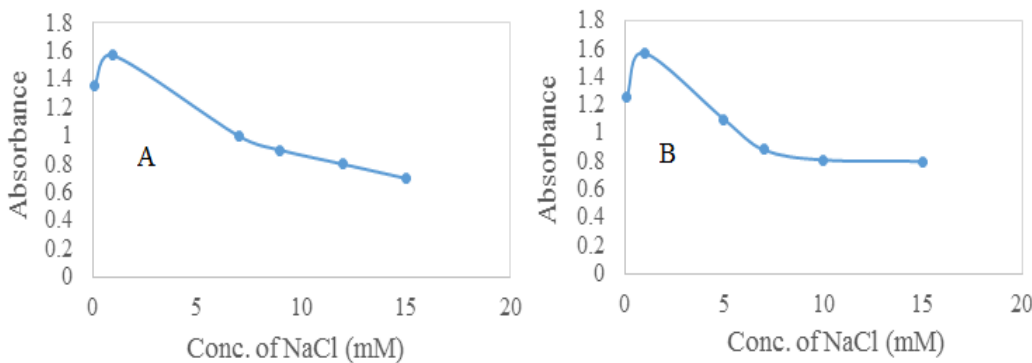
بهینه سازی شرایط آزمایش

بهینه سازی غلظت NaCl

این نانوذرات معمولاً باردارند و بسیار حساس به تغییرات دی الکتریک محلول هستند. برای مثال، برای ذرات پایدار شده سیترات، افزایش NaCl بار سطحی را حفاظ می‌کند و منجر به کاهش فاصله بین ذره‌ای در نهایت تجمع ذرات می‌شود.

قدرت یونی نقش کلیدی در فرایند تجمع دارد که می‌تواند به قابلیت الکتروولیت‌های قوی در محدودسازی لایه دوگانه الکتریکی ناشی از عامل پوشش دهنده نسبت داده شود. همچنین مشخص شده است [۳۷۳] که با افزایش قدرت یونی در بالاتر از یک حد معین، تجمع نانوذرات حتی در غیاب آنالیتها القا می‌شود. بنابراین برخی آزمایشات کنترل شده انجام شدند که 2 mmol L^{-1} NaCl حضور آنالیتها می‌شود. بنابراین برخی آزمایشات کنترل شده انجام شدند که در

حضور آنالیتها می‌شود.



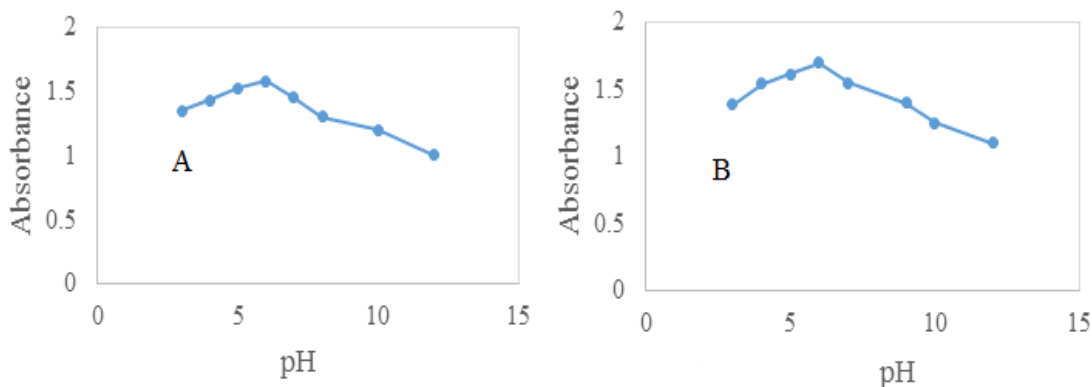
شکل ۱-۵. بهینه سازی قدرت یونی برای الف) بتامتاژون ب) نفازولین قدرت یونی از $0.05\text{-}0.12 \text{ mol L}^{-1}$ برای بتامتاژون و $0.05\text{-}0.15 \text{ mol L}^{-1}$ برای نفازولین زمان ۱۰ دقیقه ۶ تزریق $200 \mu\text{L}$ از محلول $10^{-4} \text{ mol L}^{-1}$ بتامتاژون و نفازولین غلظت $10 \text{ n mol AuNPs L}^{-1}$

L^{-1}

pH بهینه سازی

به دلیل حضور هیدروکسیل، آمین و سایر گروه‌های عاملی، pH یک پارامتر کلیدی دیگر است که باید در نظر گرفته شود و برهمکنش‌های الکترواستاتیک مسئول اصلی تجمع AuNPs در حضور داروها هستند [۸۰]. با در نظر داشتن این مسئله، برای افزایش احتمال برهمکنش

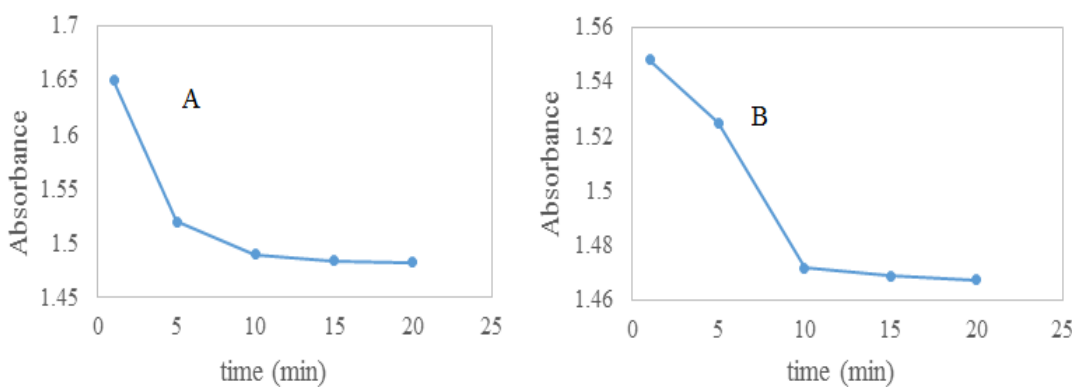
الکترواستاتیک، بهترین شرایط قابل حصول است که در آن ملکولهای دارو در محیط نانوذرات در دسترس هستند. این همچنین می‌تواند براساس دیاگرام استوک داروهای ما تأیید شود. مطابق شکل ۲-۵، AuNPs سنتز شده در محدوده pH اپتیمم پایدار هستند. بنابراین داروهای ما بهترین ساختار را برای برهمنکش با AuNPs در pH ۶ و ۷ دارد. در pH بالاتر قلیایی، [۸۱] شکل هیدروکسی را تشکیل می‌دهند و بنابراین بهترین pH برای کار با آن است [۸۱]. (شکل ۲-۵).



شکل ۲-۵. بهینه سازی pH برای (الف) بتامتاژون (ب) نفازولین قدرت یونی از 2 mol L^{-1} زمان 10 min دقيقه $3-12 \text{ تزریق } 200 \mu\text{L}$ از محلول $10^{-4} \text{ mol L}^{-1}$ بتامتاژون و نفازولین غلظت 10 n mol L^{-1} .

بهینه سازی زمان انکوبه شدن

زمان‌های انکوبه شدن مختلف برای بهینه سازی آن استفاده شدند. نتایج نشان دادند که AuNPs پس از اختلاط با BET و NEP (عامل تجمع) تجمع یافتند. از سوی دیگر تجمع AuNPs سرکوب شدند و تغییر طیفی در 10 min به عنوان زمان انکوبه شدن بهینه قابل تشخیص است. بنابراین ما از این زمان به عنوان زمان پایان برای داده‌های سیتیکی استفاده کردیم که برای تعیین همزمان جمع آوری شدند (شکل ۳-۵).



شکل ۳-۵ بهینه سازی زمان انکوباسیون برای (الف) بتامتاژون (ب) نفازولین قدرت یونی از 12 m mol L^{-1} زمان $10 \text{ دقیقه pH } 6$ -تریق $200 \mu\text{L}$ از محلول $10^{-4} \text{ mol L}^{-1}$ بتامتاژون و نفازولین غلظت 10 n mol L^{-1}

توسعه مدل PLS

رگرسیون PLS به صورت یک تکنیک رگرسیون اجرا شد به طوری که در میان اجزای نمونه مختلف، مدل PLS برای محتوای BET و NEP توسعه یافت. تغییر طیف‌های جذب دیجیتالی شده در محدوده 10 min (در بازه‌های 1nm) نمونه به عنوان متغیرهای شاخص (متغیرهای X) و میزان پیش‌بینی شده (یا متغیر Y) استفاده شدند. رگرسیون PLS نیازمند یک سری نمونه‌های کالیبراسیون و پیش‌بینی از ۲۶ مخلوط مختلف است که به عنوان مجموعه کالیبراسیون استفاده شد و بقیه به عنوان دسته پیش‌بینی استفاده شد. باید توجه شود که دسته پیش‌بینی ۷ نوع مخلوط در نمونه‌های کالیبراسیون قرار نگرفت. مدل PLS با استفاده از نمونه‌های کالیبراسیون ساخته شد. تعداد بهینه متغیرهای نهفته PLS با اعتبار سنجی متقابل یکی در بیرون با مجموع مربعات خطاهای باقیمانده پیش‌بینی (PRESS) به عنوان یک معیار آماری تعیین شد. تجزیه PLS از طریق الگوریتم NIPALS (حداقل مربعات جزئی تکراری غیر خطی) بدست آمد. همه محاسبات در محیط MATLAB انجام شد.

اعتبارسنجی روش

تحت شرایط تجربی بهینه یک منحنی کالیبراسیون عادی برای تعیین BET و NEP با ترسیم جذب (A) بر حسب غلظت داروها بدست آمد. منحنی کالیبراسیون در محدوده $-0/05$ ، $Y = -0/031 \times +1/5332 \times 133/\mu\text{g mL}^{-1}$ و $13\mu\text{g mL}^{-1}$ با معادله‌های $R^2 = 0/9907$ و $R^2 = 0/9906$ ، $Y = -0/0037 \times +1/8116$ (شکل ۴-۵) و حد تشخیص $0/05\mu\text{g mL}^{-1}$ برای BET و $0/03\mu\text{g mL}^{-1}$ برای NEP (جدول ۱-۵) است. جدول ۲-۵ یک مقایسه بین نتایج حاصل از روش موجود با نتایج حاصل از برخی روش‌های دیگر برای تعیین داروها را گزارش می‌دهد. در مقایسه با جدول ۲-۵، روش حاضر حد تشخیص و محدوده خطی خوبی در مقایسه با روش اسپکتروفتومتری مشتقی سریع^۱، اسپکتروفتومتری اعتبارسنجی شده^۲ و روش‌های کمومتریکس، کروماتوگرافی الکتروسیتیک مایسلی^۳، اسپکتروفتومتری ابزارهای تجزیه‌ای یکپارچه^۴، کمومتریکس و تعیین کروماتوگرافیک ، ^۵^۶^۷^۸^۹^{۱۰}RP-HPLC، روش کروماتوگرافی مایع اعتبارسنجی شده^۶، HPLC و LC-MS/Ms دار[۸۲]. باید توجه شود که مزایای اصلی این روش عبارت از استفاده از روش بسیار ساده برای تعیین همزمان این داروها می‌باشد.

^۱ Rapid Derivative Spectrophotometric Method

^۲ Validated spectrophotometric method

^۳ micellar electro kinetic chromatography

^۴ Integrated Analytical Tools Spectrophotometric

^۵ Liquid chromatography mass-mass spectroscopy

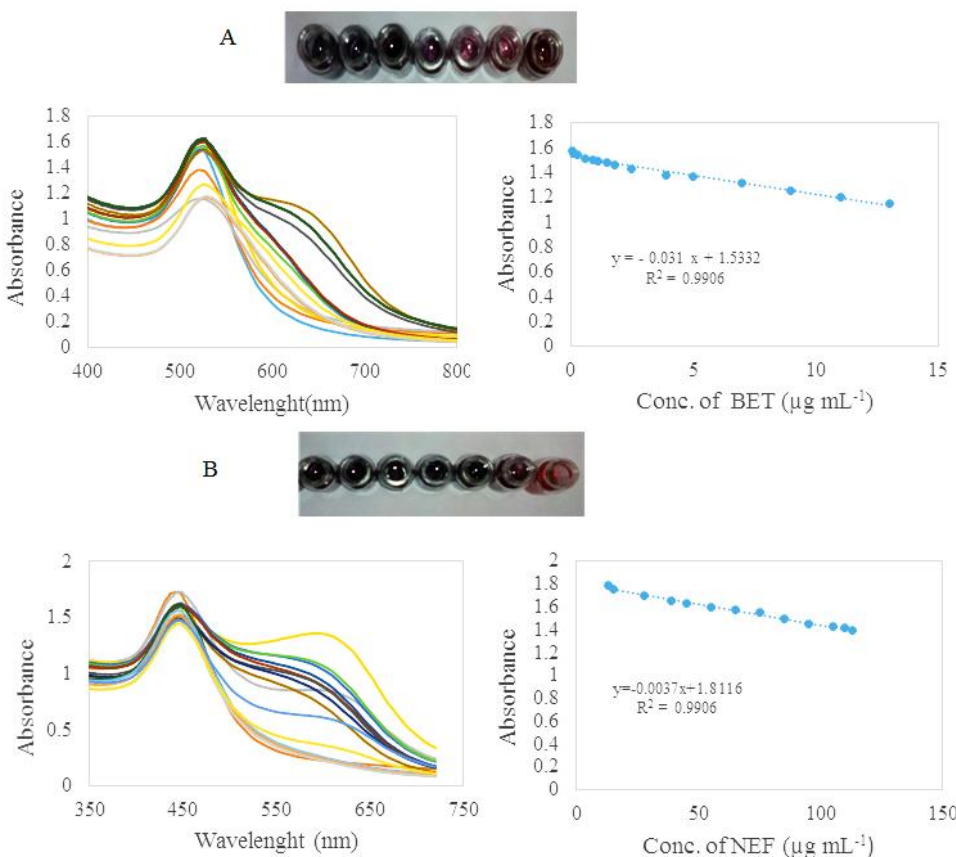
^۶ Validated liquid chromatographic method

^۷ High performance liquid chromatography

^۸ Reverse phase high performance liquid chromatography

جدول ۱-۵ پارامترهای ارزیابی روش به ترتیب برای بتامتازون و نفازولین.

$y = -0.031 X + 1.5332$, $y = -0.0037 X + 1.8116$	معادله
$0.9907, 0.9906$	R^2
$0.006 \text{ and } 0.14 \mu\text{g mL}^{-1}$	حد تشخیص
$0.05-13 \mu\text{g mL}^{-1}$ and $12-133/3 \mu\text{g mL}^{-1}$	ناحیه خطی



شکل ۱-۵ نمودار کالیبراسیون (الف) برای بتامتازون $0.05-13 \mu\text{g mL}^{-1}$ و (ب) نفازولین $133/3-13 \mu\text{g mL}^{-1}$. قدرت یونی 10 mol L^{-1} AuNPs 1 mmol L^{-1} pH ۶ و غلظت 10 n mol L^{-1} زمان انکوباسیون ۱۰ دقیقه

جدول ۲-۵ مقایسه پارامترهای برتری روش مورد بحث با تکنیک‌های دیگر برای اندازه گیری بتامتازون و نفازولین.

منبع	حد تشخیص ($\mu\text{g mL}^{-1}$)	ناحیه خطی ($\mu\text{g mL}^{-1}$)	روش اندازه گیری
برای نفازولین (a)			
[۸۲]	۰/۰۳	۰/۲-۱	اسپکترومتری
[۸۳]	۰/۰۱	۰/۲-۲	اسپکترومتری و کمومتریکس
[۸۴]	۰/۰۰۴	۰/۰۸-۱۰	کروماتوگرافی الکتروسیتیک مایسلی
[۸۵]	۰/۰۶	۵-۳۵	روش‌های انگرال گیری تجزیه ای
[۸۶]	۰/۰۶	۰/۵-۱۰۰	اسپکترومتری و کمومتریکس و کروماتوگرافی
برای بتامتازون (b)			
[۸۷]	۰/۵۳	۲-۳۲	کروماتوگرافی مایع-اسپکتروسکوپی جرمی-جرمی
[۸۸]	۷/۱	۱۵-۱۵۰	کروماتوگرافی مایع هم عیار شده
[۸۹]	۱/۵	۵-۲۰۰	کروماتوگرافی مایع با کارایی بالا
[۹۰]	۰/۰۲۵	۰/۱-۱۰۰	کروماتوگرافی مایع با کارایی بالا فاز معکوس
این روش	۰/۰۰۶ (بتامتازون) ۰/۱۴ (نفازولین)	۱۳-۰/۰۵ (بتامتازون) ۱۳-۱۳۳/۳ (نفازولین)	روش اسپکترومتری ساده

تعیین همزمان BET و NEP

بررسی مقدماتی نشان داد که کاهش شدت طیف های UV-Vis در ۵۲۰ nm و افزایش در ۶۴۰ nm ارتباط مستقیم با سطح BET و NEP در نمونه دارد(شکل های ۵-۵، ۶-۵ و ۷-۵). این ویژگی برای پیشنهاد یک روش تجزیه‌ای برای تعیین این داروها در نمونه‌های ما استفاده شد. تجمع AuNPs سنتز شده با سیترات به میزان BET و NEP مرتبط بودند[۴۰۷]. در طیف جذبی نمونه‌های کالیبراسیون و پیش‌بینی در ابتدا کالیبراسیون تک متغیری استفاده شد به طوری که شدت در ۵۲۰ nm به سادگی به غلظت دارو مرتبط شد. داده‌های دو انتهای منحنی، به ویژه غلظت‌های پایین، انحراف چشمگیری از خط راست دارد. به علاوه داده‌های پیش‌بینی انحرافات چشمگیری از داده‌های کالیبراسیون نشان می‌دهد و در نتیجه مدل کالیبراسیون حاصله برای پیش‌بینی داده‌های خارجی قابل استفاده نیست. این بی‌نظمی را می‌توان به تأثیر مزاحمت سایر اجزا نسبت داد که می‌تواند Au^{3+} را تجمع داده AuNPs با اندازه بزرگتر ایجاد کند. بنابراین ما رگرسیون PLS را به عنوان یک روش کالیبراسیون چند متغیری قوی و پرکاربرد برای مدل سازی نقش گونه‌های مزاحمت در کل علامت‌های SPR استفاده کردیم. مدل PLS با استفاده از مجموعه کالیبراسیون توسعه یافت. تغییرات در PRESS و به صورت تابعی از تعداد متغیرهای نهفته PLS در شکل ۷-۵ آمده‌اند. همان‌طور که نشان داده شده است RMSE به یک حداقل در تعداد متغیرهای نهفته ۷ می‌رسد. به علاوه اولین صفحه Au در تعداد متغیرهای نهفته ۷ مشاهده شد. بنابراین، ۷ جزء اصلی برای محاسبه ضرایب رگرسیون PLS پیش‌بینی NEP و BET نمونه‌های پیش‌بینی انتخاب شدند. خطای مربع متوسط ریشه اعتبارسنجی متقابل (RMSECV) تخمین شده با این تعداد متغیر نهفته ۲/۹۲٪ بود. در میان فاکتورهای آشکارسازی شده می‌توان یکی را به BET و دیگری را به NEP نسبت داد. به علاوه، غیرخطی بودن در

ارتباط جذب- غلظت و برهمنکنش بین فاکتورها می‌توانند به عنوان منابع دیگر فاکتورهای شیمیایی درنظر گرفته شود. مقادیر پیش بینی شده برای مقادیر BET و NEP در نمونه‌های کالیبراسیون و پیش بینی و خطاهای نسبی متناظرپیش بینی در جداول ۲-۵، ۳-۵ و ۴-۵ آمده‌اند. مشاهده شده است که مقادیر پیش بینی شده بسیار نزدیک به مقادیر حقیقی هستند و خطاهای پیش بینی نسبی تقریباً کمتر از ۰.۵٪ هستند. این تأیید می‌کند که موفقیت رگرسیون PLS در پیش بینی دقیق مقدار BET و NEP در نمونه‌ها به وجود آمده است. حال مقایسه نتایج کالیبراسیون چند متغیری PLS_1 و PLS_2 در یک مدل مناسب مفید است. برای این مقایسه و اعتبارسنجی مدل‌ها ، برخی پارامترهای آماری شامل ریشه مربع خطای میانگین پیش بینی(RMSEP)، ریشه مربع خطای میانگین اعتبارسنجی متقابل (RMSECV) و ریشه مربع خطای میانگین کالیبراسیون (RMSEC) محاسبه شدند. پارامترهای آماری محاسبه شده در جدول ۳-۵ آمده‌اند. از جدول ۴-۵ و ۵-۶ می‌توان دید که نتایج کالیبراسیون و پیش بینی PLS سازگارتر از کالیبراسیون یک متغیری است. یک مقایسه بین پارامترهای آماری PLS و مدل‌های تک متغیری نشان می‌دهد که PLS حاصل شده با $RMSEP$ بسیار پایین‌تر است. به علاوه مدل PLS همه الزامات را دارد که باید به عنوان یک مدل پیش گویی در نظر گرفته شود در حالی که مدل تک متغیره این گونه نیست.

جدول ۳-۵. مقادیر و سطوح مرجع برای نفازولین و بتامتاژون در دسته پیش بینی سازی در مدل سازی PLS
برای طیف‌های مریی فرابنفش در طول موج ۶۴۰ nm

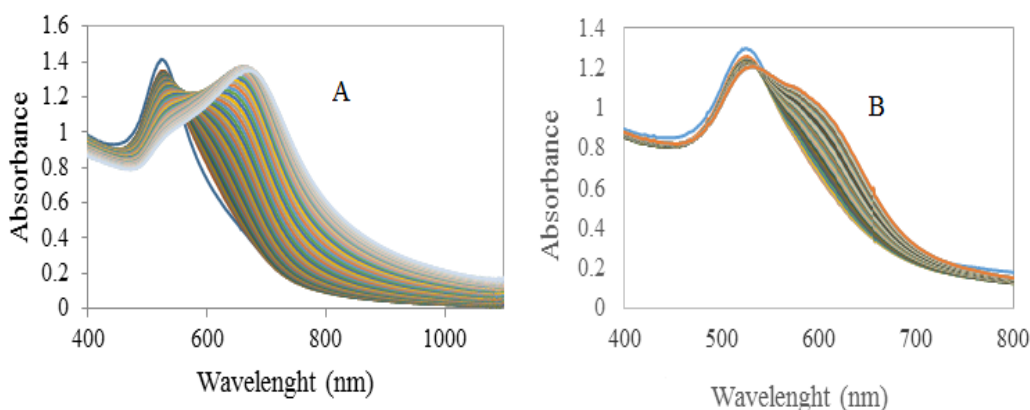
دسته پیش بینی	مقادیر پیش بینی شده		مقادیر مرجع		عدد
	PLS _۱	PLS _۲	برای بتامتاژون	برای نفازولین	
۵۵۷/۷۱۲۷	۶۵۱/۸۸۶۹	۵۵۷/۷۷۲۲	۶۵۱/۸۸۴۴	۵۵۰	۶۵۰ ۱
۴۰۱/۹۸۸۲	۵۰۸/۳۵۸	۴۰۱/۹۲۷۲	۵۰۸/۳۷۱۵	۴۰۰	۵۱۰ ۲
۱۸۴/۴۵۷۷	۳۲۷/۹۷۲۷	۱۸۴/۵۴۱۷	۳۲۷/۹۵۲۵	۲۰۰	۳۳۰ ۳
۶۴۸/۹۴۷۵	۲۹۷/۴۶۱۸	۶۴۸/۹۶۱۱	۲۹۷/۴۵۷۳	۶۵۰	۳۰۰ ۴
۷۴۵/۰۵۸۷	۵۶۲/۵۳۹۹	۷۴۵/۱۰۸۸	۵۶۲/۵۳۲	۷۵۰	۵۶۰ ۵
۱۵۰/۰۰۱۵	۲۲۸/۱۹۲۱	۱۵۰/۰۵۸۸۵	۲۲۸/۱۷۲۹	۱۵۰	۲۳۰ ۶
۴۵۴/۰۱۱۹	۴۵۰/۰۱۸۷	۴۵۴/۴۰۳۴	۴۵۰/۰۴۴۳	۴۵۰	۴۵۰ ۷
۱/۴۳	۰/۴۳	۱/۴۲	۰/۴۲	R.S.E. (%)	
$R.S.E. (\%) = \left[\frac{\sum_{j=1}^N (C^j - Cj)^2}{\sum_{j=1}^N (Cj)^2} \right]^{1/2} \times 100$					
$R.S.E.t(\%) = \left[\frac{\sum_{j=1}^M \sum_{i=1}^N (C^ij - Cij)^2}{\sum_{j=1}^M \sum_{i=1}^N (Cij)^2} \right]^{1/2} \times 100$					

جدول ۴-۵. مقادیر و سطوح مرجع برای نفازولین و بتامتازون در مدل سازی PLS برای طیف‌های مریبی فرابنفش در طول موج nm ۶۴۰ در دسته کالیبراسیون.

دسته کالیبراسیون						
	مقادیر پیش‌بینی شده	مقادیر مرجع بتامتازون	مقادیر مرجع نفازولین	عدد		
	PLS _۱	PLS _۲	PLS _۳	PLS _۴		
۲۵۷/۸۰۷۵	۳۱۷/۶۴۳۱	۲۵۷/۸۰۸۱	۳۱۷/۶۶۵۸	۲۶۰	۳۲۰	۱
۱۵۰/۰۱۰۲	۲۷۳/۷۹۳۱	۱۴۹/۹۶۰۲	۲۷۳/۹۳۰۷	۱۴۵	۲۷۰	۲
۸۴۲/۲۰۲۳	۶۵۳/۹۶۸۲	۸۴۱/۹۴۰۷	۶۵۴/۵۰۷۲	۸۱۰	۶۳۰	۳
۷۳۹/۵۹۶۴	۵۷۸/۷۹۷۳	۷۳۹/۵۶۷۳	۵۷۸/۸۵۸۶	۷۳۵	۵۸۰	۴
۲۶۲/۶۶۰۹	۲۰۷/۲۲۴۹	۲۶۲/۷۱۵۸	۲۰۷/۱۱۲۷	۲۷۰	۲۱۰	۵
۳۵۹/۴۳۹۷	۲۷۸/۷۹۱۵	۳۵۹/۵۰۴۶	۲۷۸/۶۵۸	۳۴۰	۲۸۰	۶
۲۹۹/۵۰۹۲	۲۳۴/۳۹۸	۲۹۹/۵۶۴۱	۲۳۴/۲۸۵۶	۳۰۰	۲۴۰	۷
۳۲۹/۵۴۴۹	۲۵۵/۳۸۷۶	۳۲۹/۶۰۲۳	۲۵۵/۲۶۹۵	۳۴۰	۲۶۰	۸
۴۴۸/۴۵۸۳	۳۸۰/۰۶۵۸	۴۴۸/۵۷۹۹	۳۷۹/۸۲۲۸	۴۶۰	۳۹۰	۹
۴۵۶/۸۰۷۶	۳۵۹/۳۸۵۲	۴۵۶/۸۹۶۳	۳۵۹/۲۰۳۸	۴۷۰	۳۷۰	۱۰
۳۷۷/۲۹۷۷	۲۹۶/۸۴۰۴	۳۷۷/۳۰۳۶	۲۹۶/۸۲۹۲	۳۸۰	۳۰۰	۱۱
۷۳۶/۶۶۱۳	۵۸۴/۰۰۷۴	۷۳۶/۵۹۲۳	۵۸۴/۱۰۲۶	۷۳۰	۵۷۰	۱۲
۴۵۴/۸۹۰۸	۳۶۰/۸۰۲۸	۴۵۴/۹۹۱۷	۳۶۰/۵۹۷	۴۷۰	۳۷۰	۱۳
۲۷۷/۳۸۲۳	۲۲۱/۳۹۰۳	۲۷۷/۴۴۱۶	۲۲۱/۲۶۹۶	۲۹۰	۲۳۰	۱۴
۲۷۶/۵۳۷۹	۲۱۶/۳۳۷۳	۲۷۶/۵۹۲۷	۲۱۶/۲۲۴۹	۲۹۰	۲۲۰	۱۵
۵۲۲/۹۳۸۱	۴۰۶/۹۴۶۴	۵۲۳/۰۲۹۲	۴۰۶/۷۵۹۰	۵۳۰	۴۱۰	۱۶
۳۰۹/۰۷۲۸	۲۴۰/۱۸۲۴	۳۰۹/۱۲۹۶	۲۴۰/۰۶۵۷	۳۲۰	۲۵۰	۱۷
۲۷۳/۸۸۳۲	۲۰۹/۶۰۵۶	۲۷۳/۹۲۸۸	۲۰۹/۰۱۱۲	۲۸۰	۲۱۰	۱۸
۳۲۳/۵۶۹۹	۲۵۲/۷۹۱۸	۳۲۳/۶۲۳۹	۲۵۲/۶۸۱۲	۳۳۰	۲۶۰	۱۹
۲/۷۳	۲/۳۹	۲/۷۱	۲/۴۴	R.S.E. (%)		
۲/۶۱	$R.S.E. (\%) = \left[\frac{\sum_{j=1}^N (C^j - \bar{C})^2}{\sum_{j=1}^N (C_j)^2} \right]^{1/2} \times 100$					
	$R.S.E.t(\%) = \left[\frac{\sum_{j=1}^M \sum_{i=1}^N (C^i j - \bar{C}_{ij})^2}{\sum_{j=1}^M \sum_{i=1}^N (C_{ij})^2} \right]^{1/2} \times 100$					

جدول ۵-۵. پارامترهای اماری برای مدل کالیبراسیون در اندازه گیری همزمانی نفازولین و بتماتازون با استفاده از داده‌های سیتیکی.

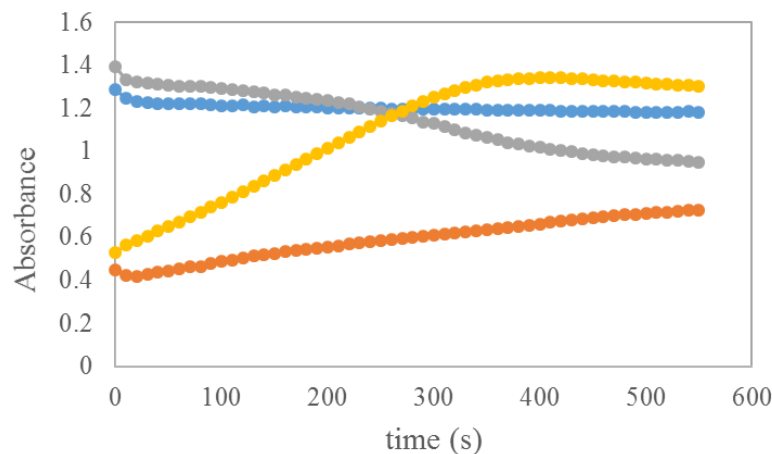
مدل پیش‌بینی		پارامترهای آماری
PLS _r (%)	PLS _s (%)	
۳/۰۵	۳/۰۱	RMSEP
۲/۹۲	۲/۹۱	RMSECV
۴/۹۹	۴/۹۶	RMSEC



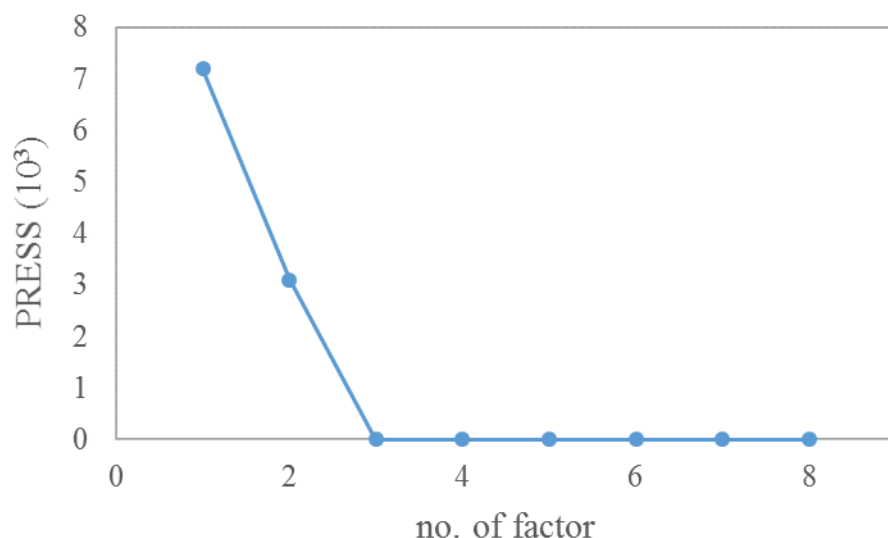
شکل ۵-۵. تغییر در جذب نانوذرات طلا در طول موج‌های ۵۲۰ و ۶۴۰ nm نسبت به زمان برای تزریق ۱ μL از محلول‌های $1 \times 10^{-4} \text{ mol L}^{-1}$ بتماتازون و نفازولین در شرایط بهینه: قدرت یونی $1 \times 10^{-1} \text{ mmol L}^{-1}$ pH ۶ و غلظت $1 \times 10^{-1} \text{ n mol L}^{-1}$ AuNPs زمان ۱۰ دقیقه.

Blue ۵۲۰ BET, Orange ۶۴۰ BET

Black ۵۲۰ NEP, Yellow ۶۴۰ NEP



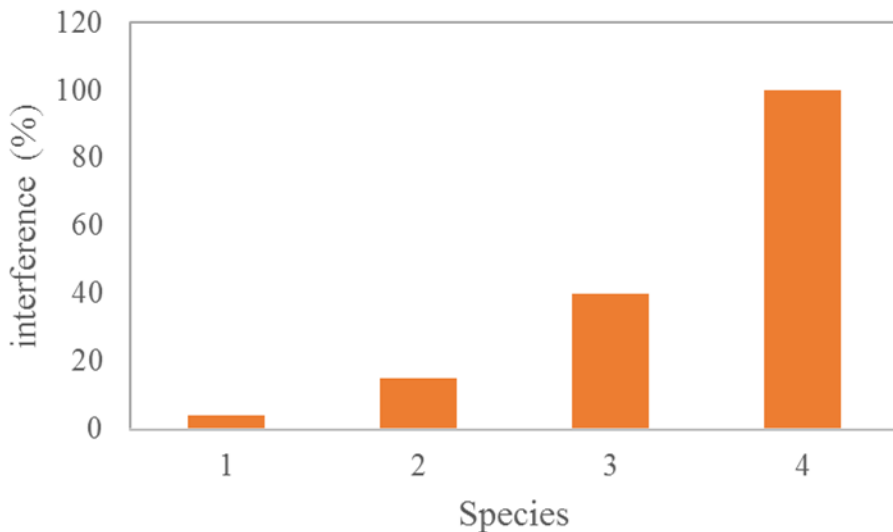
شکل ۶-۵ تغییر در جذب نانو ذرات طلا در طول موج های ۵۲۰ و ۶۴۰ nm نسبت به زمان برای تزریق ۱ μL از محلول های 1 mmol L^{-1} بتامتازون و نفازولین در شرایط بهینه: قدرت یونی 1 mol L^{-1} pH ۷.۰ و غلظت 10 n mol L^{-1} AuNPs در دقیقه ۶.



شکل ۷-۵. نمودار PRESS در مقابل تعداد فاکتورها در اندازه گیری همزمانی بتامتازون و نفازولین.

بررسی اثر مزاحمت

آثار مواد همزیست خارجی مانند ناپروکسن ، اسکوربیک اسید، ترامادول، کدئین ، استامینوفن ، ساکاریدها، آمینواسیدها و یونها تست شدند. مطابق شکل ۸-۵، بیشتر مواد همزیست بررسی شده تداخل و مزاحمت برجسته‌ای در آزمایش نداشت. از نتایج ، تداخل ناپروکسن، اسکوربیک اسید، تریپتوфан، تیروزین، گلوکز، ساکارز، فروکتوز و لاکتوز بسیار ضعیف بودند. در میان مواد تست شده Na_2No_2 ، Ca^{2+} ، Fe^{2+} ، Mg^{2+} ، Cl^- ، I^- ، No_3^- ، Na^+ ، K^+ ، کدئین و سیستئین (شکل ۸-۵ گونه‌های شماره ۲) می‌توانند با غلظت‌های بالاتر مجاز شدند ولی Zr^{2+} ، Ca^{2+} ، So_4^{2-} ، Cd^{2+} ، Mn^{2+} ، NH_4OH فقط می‌توانند با غلظت‌های متوسط نسبی مجاز شدند(گونه‌های شماره ۳ در شکل ۸-۵). غلظت‌های مجاز این مواد مزاحم بالاتر از BET و NEP بود که نشان می‌داد این روش انتخابگری خوبی بین داروها و سایر گونه‌ها داشت به دلیل تفاوت در کاهش و افزایش طیف‌ها با زمان.



شکل ۸-۵ بررسی مزاحمت گونه‌های مزاحم در اندازه گیری همزمانی بتامتاژون و نفازولین مخلوط μL از هر کدام از داروها در شرایط بهینه: قدرت یونی 1 mmol L^{-1} زمان 10 دقیقه : $\text{pH } 6$ و غلظت 200 n mol L^{-1} . اعداد ۱ و ۳ شماره گونه‌های دسته بندی شده در متن است و ۴ رفتار بتامتاژون و نفازولین در مخلوط را نشان میدهد.

تحلیل نمونه حقیقی

به منظور تست قابلیت استفاده روش پیشنهادی، از آن برای تعیین BET و NEP در سرم و قطره چشم استفاده شد. جدول ۳-۴۰ نشان می‌دهد که BET و NEP در نمونه اصلی آشکارسازی شده عبارتنداز ($4/98$ ، $15/03$ و $14/23$) برای سرم و $(15/88)$ برای قطره چشم. یک حجم دقیق از سرم و قطره‌های چشمی با DDW رقیق‌تر شد تا غلظت BET و NEP در محلول نهایی قطره‌های چشم در محدوده خطی منحنی کالیبراسیون قرار گیرد. نتایج فوق قابلیت استفاده بالقوه این روش را در آشکارسازی همزمان BET و NEP در نمونه‌های

حقیقی نشان می‌دهد. نتایج این بررسی در جدول ۳-۴۰ آمده‌اند. این عملکرد خوب روش پیشنهادی برای تعیین همزمان BET و NEP در سرم و قطره چشم را نشان می‌دهد.

جدول ۶-۵. بررسی نمونه حقیقی سرم رقیق شده خونی و قطره‌های چشمی برای بتامتاژون و نفازولین در شرایط بهینه: قدرت یونی 1 mmol L^{-1} AuNPs pH ۶: زمان ۱۰ دقیقه.

نمونه	نفازولین بتامتاژون	اضافه شده		پیدا شده		بازده (%)
		($\mu\text{g mL}^{-1}$)				
سرم	-	-	ND	ND*	۰	۰
	۱۰۰/۲	۹۹/۶	۱۵/۰۳	۴/۹۸	۱۵/۰	۵/۰
قطره‌های چشمی	-	-	ND	ND	۰	۰
	۱۰۱/۶	۹۸/۳	۱۴/۲۳	۷/۸۸	۱۴/۰	۷/۰

*ND: دیده نشد

منابع

١. Daniel M.C., Astruc D., ٢٠٠٣, “Gold nanoparticles: Assembly, supramolecular chemistry, quantum-size-related properties, and applications toward biology, catalysis, and nanotechnology”, *Chem. Rev.*, Vol. ١٠٤, pp. ٢٩٣-٣٤٦.
٢. Abad A., Concepción P., Corma A., García H., ٢٠٠٥, “A collaborative effect between gold and a support induces the selective oxidation of alcohols”, *Angew. Chem. Int. Ed.*, vol. ٤٤, pp. ٤٠٦٦-٤٠٦٩.
٣. Sharma A.K., Gupta B.D., ٢٠٠٥, “On the sensitivity and signal to noise ratio of a step index fiber optic surface plasmon resonance with nanoparticle films”, *Photonics. Nanostr.*, vol. ٣, pp. ٣٠-٣٧.
٤. Pissuwan D., Valenzuela S.M., Cortie M.B., ٢٠٠٦, “Therapeutic possibilities of plasmonically heated gold nanoparticles”, *Trends. Biotech.*, Vol. ٢٤, pp. ٦٢-٦٧.
٥. Chang T.L., Lee Y.W., Chen C.C, Ko F.H., ٢٠٠٧, “Effect of different gold nanoparticle sizes to build an electrical detection DNA between nano gap electrodes”, *Microelectron. Eng.* Vol. ٨٤, pp. ١٦٩٨-١٧٠١.
٦. Mirkin C.A., Letsinger R.L., Mucic R.C., Storhoff J.J., ١٩٩٦, “A DNA based method for assembling nanoparticles”, *Nature*, Vol. ٣٨٢, pp. ٦٠٧-٦٠٩.
٧. Schmid G., ١٩٩٤, “Cluster and colloids: From theory to applications” John Wiley & Sons: New York.
٨. Henglein A., ١٩٩٣, “Physicochemical properties of small metal particles in solution: microelectrode reactions, chemisorption, composite metal particles”, and the atom-to-metal transition. *J. Phys. Chem.* Vol. ٩٧, pp. ٥٤٥٧-٥٤٧١.
٩. El-Sayed M.A., ٢٠٠١, “Some interesting properties of metals confined in time and. nanometer space of different shapes”, *Acc. Chem. Res.*, Vol. ٣٤, pp. ٢٥٧-٢٦٤.

١٠. Afzali A., Dimitrakopoulos C.D., Breen T.L., ٢٠٠٢, "High-performance, solution-processed organic thin film transistors from a novel pentacene precursor", *J. Am. Chem. Soc.* Vol. ١٢٤, pp. ٨٨١٢-٨٨١٣.
١١. Franke M.E., Koplin T.J., Simon U., ٢٠٠٦, "Metal and metal oxide nanoparticles in chemiresistors: Does the nanoscale matter?", *Small.*, Vol. ٢, pp. ٣٦-٥٠.
١٢. Nair A. S., Pradeep T. Y., ٢٠٠٣, "Preparation and Antibacterial Activity of Silver Nanoparticles", *Curr. Sci.*, Vol. ٨٤, pp. ١٥٦٠-١٥٧٠.
١٣. Van Hyning D. R., Zukowski C. F., ١٩٩٨, "Synthesis of Noble Metal Nanoparticles", *Langmuir* Vol. ٤, pp. ٧٠٤٦-٧٠٣٤.
١٤. Yugang S., Gates B., Mayers B., Xia Y., ٢٠٠٢, "Crystalline Silver Nanowires by Soft Solution Processing", *Nano Lett.*, Vol. ٢, pp. ١٦٥-١٦٨.
١٥. Jung J., Oh H., Noh H., Ji J., Kim S., ٢٠٠٦, "Metal nanoparticle generation using a small ceramic heater with a local heating area", *J. Aerosol Sci.*, Vol. ٣٧, pp. ١٦٦٢-١٦٧٠.
١٦. Mafune F., Kohno J., Takeda Y., Kondow T., Sawabe H., ٢٠٠٠, "Structure and stability of silver nanoparticles in aqueous solution produced by laser ablation", *J. Phys. Chem. B.*, Vol. ١٠٤, pp. ٨٣٣٣-٨٣٣٧.
١٧. Mafune F., Kohno J., Takeda Y., Kondow T., Sawabe H., ٢٠٠١, "Formation of gold nanoparticles by laser ablation in aqueous solution of surfactant", *J. Phys. Chem. B*, Vol. ١٠٥, pp. ٥١١٤-٥١٢٠.
١٨. Kabashin A.V., ٢٠٠٣, "Meunier M., Synthesis of colloidal nanoparticles during femtosecond laser ablation of gold in water", *J. Appl. Phys.*, Vol. ٩٤, pp. ٧٩٤١-٧٩٤٣.
١٩. Cozzoli P., Comparelli R., Fanizza E., Curri M., Agostiano A., Laub D., ٢٠٠٤, "Photocatalytic synthesis of silver nanoparticles stabilized by TiO_٢ nanorods: A semiconductor/metal nanocomposite in homogeneous nonpolar solution", *J. Am. Chem. Soc.* Vol. ١٢٦, pp. ٣٨٦٨-٣٨٧٩.

٢٠. Zhou Y., Yu S.H., Wang C.Y., Li X.G., Zhu Y.R., Chen Z.Y., ١٩٩٩, "A Novel ultraviolet irradiation photoreduction technique for the preparation of single- crystal Ag nanorods and Ag dendrites", *Adv. Mat.*, Vol. ١١, pp. ٨٥٠–٨٥٢.
٢١. Socol Y., Abramson O., Gedanken A., Meshorer Y., Berenstein L., Zaban A., ٢٠٠٢, "Suspensive electrode for-mation in pulsed sonoelectrochemical synthesis of silver nanoparticles", *Langmuir*, Vol. ١٨, pp. ٤٧٣٦–٤٧٤٠.
٢٢. Hornyak G.L., Patrissi C.J., Oberhauser E.B., Martin C.R., Valmalette J.C., Lemaire L., Dutta J., Hofmann H., ١٩٩٧, "Gold Nanoparticles for Physics, Chemistry and Biology", *NanoStruct. Mater.* Vol. ٩, ٥٧١-٥٧٤.
٢٣. NASA Study edited by Freita.
٢٤. <https://www.nanoclub.ir>.
٢٥. Hainfield J., Powell R., ٢٠٠٠, "investigation clinical application thetechnology", Master Proj., Vol. ٤٨, pp. ٤٧١-٤٧٩.
٢٦. Wang L.S., Hong R.Y., ٢٠١١, "Synthesis, Surface Modification and Characterisation of Nanoparticles", *Adv. in Nanocomp. – Syn. Charac.and Indus.l Appl.*, Dr. Boreddy Reddy (Ed.), Vol. ٧, pp. ٩٧٨-٩٥٣.
٢٧. Shao N., Jin J.Y., Cheung S.M., Yang R .H., Chan W.H., Mo T., ٢٠٠٧, "A Ferromagnetically Coupled Mn^{١٩} Aggregate with a Record S=٨٣/٢ Ground Spin State", *Angew. Chem. Int. Edn.*, Vol. ٤٥, pp. ٤٩٤٤-٤٨.
٢٨. Slocik J. M., Zabinski J.S., Phillips D. M., Naik R. R., ٢٠٠٨, "Evaluation of peptide-capped gold nanoparticle networks for vapour sensing", *Adv. in Nanocomp. – Syn. Charac.and Indus. Appl.*, Vol. ٤, pp. ٥٤٨-٥١
٢٩. Yu C.J., Tseng W. L., ٢٠٠٨, "Colorimetric Detection of Mercury (II) in a High-Salinity Solution Using Gold Nanoparticles Capped with ٢-Mercaptopropionate Acid and Adenosine Monophosphate", *Langmuir*. Vol. ٢٤, pp. ١٢٧١٧-١٢٧٢٢.

٣٠. Ghosh S.K., Pal T., ٢٠٠٧, "Interparticle coupling effect on the surface plasmon resonance of gold nanoparticles: from theory to applications", Chem. Rev., Vol. ١٠٧, pp. ٤٧٩٧-٤٨٦٢.
٣١. Lee I.H., Kwon H.K., Yu M.K., Lee J., Lee T.S., Im S.H., Jon S., ٢٠١٢, "Reversible covalent inhibition of a protein target", Angew. Chem. Int. Ed., Vol. ٥٢, pp. ٨٩٣٠-٨٩٣٥.
٣٢. Liu D., Wang Z., Jiang X., ٢٠١١, "Gold nanoparticles for the colorimetric and fluorescent detection of ions and small organic molecules", Nanoscale. Vol. ٣, pp. ١٤٢١-١٤٢٥.
٣٣. Liu B., Tan H., Chen Y., ٢٠١٣, "Development of an Immunochromatographic Lateral-Flow Test Strip for Rapid Detection of Sulfonamides in Eggs and Chicken Muscles", Microchim. Acta. Vol. ١٨٠, pp. ٣٣١-٣٣٥.
٣٤. Villa D., Gonzalez M.C., Escarp A., ٢٠١٢, "sensing colorimetric approaches based on gold and silver nanoparticles aggregation: chemical creativity behind the assay", Anal. Chim. Acta. Vol. ٧٥١, pp. ٢٤-٢٩.
٣٥. Dang Y.Q., Li H.W., Wang B., Li L., Wu Y., ٢٠٠٩, "Selective detection of trace Cr^{٣+} in aqueous solution by using ٥,٥'-dithiobis (٢-nitrobenzoic acid)-modified gold nanoparticle", ACS. Appl. Mater. Interfaces. Vol. ١, pp. ١٥٣٣-١٥٣٥.
٣٦. Jiang Y., Zhao H., Lin Y., Zhu N., Ma Y., Mao L., ٢٠١٠, "A simple assay for direct colorimetric visualization of trinitrotoluene at picomolar levels using gold nanoparticles", Angew. Chem. Int. Ed., Vol. ٤٩, pp. ٤٨٠٠-٤٨٢٠.
٣٧. Jiang Y., Zhao H., Zhu N., Lin Y., Yu P., Mao L., ٢٠٠٨, "Chemoselective Ligation and Modification Strategies for Peptides and Proteins", Angew. Chem. Int. Ed., Vol. ٤٧, pp. ٨٦٠١-٨٦٠٥.
٣٨. Zheng Y., Wang Y., Yang X., ٢٠١١, "recent developments in carbon nanomaterial sensors", Sen. Act. B., Vol. ١٥٦, pp. ٩٥-٩٧.

٣٩. <http://www.infometrix.com/chemometrics/chemometrics.html>.
٤٠. Kincl M., Turk S., Vreker F., ٢٠٠٥, "Application of experimental design methodology in development and optimization of drug release method", Int. J. of Pharm., Vol. ٣٩١, pp. ٣٩-٤٩.
٤١. Brereton R. G., ٢٠٠٢, "Data Analysis for the Laboratory and Chemical Plant", Wiley, England.
٤٢. Wold S., Sjöström M., Eriksson L., ٢٠٠١, "PLS-regression: a basic tool of chemometrics", Chemo. Intell. Lab. Systems, Vol. ٥٨, pp. ١٠٩-١٣٠.
٤٣. Jonsson T., Christensen C.B., Jordening H., ١٩٨٨, "The bioavailability of rectally administered morphine", Pharmacol. Toxicol. , Vol. ٦٢, pp. ٢٠٣-٢٠٥.
٤٤. Whimster F., ١٩٩٧, "Cambridge textbook of accident and emergency medicine" Cambridge: Cambridge University .
٤٥. Güneş Y. M., Bakirdere S., ٢٠٠٣, "Contamination of aluminium from cooking utensils and yogurt containers," Bull. Environ. Contamin. Toxic, Vol. ٧٠, pp. ٤٣٧-٤٤٢.
٤٦. Lide D. R., ٢٠٠٥, "Magnetic susceptibility of the elements and inorganic compounds, CRC Handbook of Chemistry and Physics", ٨٧th ed., Boca Raton (FL), CRC Press.
٤٧. Morrow H., ٢٠١٠, "Cadmium and Cadmium Alloys, Kirk-Othmer Encyclopedia of Chemical Technology", John Wiley & Sons.
٤٨. Macintyre P.E., Schug S.A., Scott D.A., ٢٠١٠, "Working Group of the Australian and New Zealand College of Anaesthetists and Faculty of Pain Medicine", Acute Pain Management: Scientific Evidence , ٣rd ed., Melbourne, National Health and Medical Research Council, Australia.
٤٩. Schug S.A., ٢٠١٣, "Codapane Forte Paracetamol and codeine phosphate product information", TGA eBusiness Services, Alphapharm Pty Limited, London.

- . Granberg R.A., Rasmuson A.C., 1999, "Solubility of paracetamol in pure solvents", Journal of Chemical & Engineering Data, Vol. 44, pp. 1391–1390.
- . Karthikeyan M., Glen R. C., Bender A., 2000, "General Melting Point Prediction Based on a Diverse Compound Data Set and Artificial Neural Networks", J. of Chem. Inform. Model., Vol. 40, pp. 581–591.
- . Bartlett J., 2013, "Clinical Ocular Pharmacology", 4nd ed., Elsevier.
- . Moulds R., Jeyasingham M., 2010, "Gentamicin: a great way to start", Austr. Presc. Vol. 33, pp. 134–135.
- . Yebra M.C., Cespon R.M., Cid A.M., 2001, "Automatic determination of ascorbic acid by flame atomic absorption spectrometry", Anal. Chim. Acta., Vol. 448, pp. 157–164
- . Agater I.B., Jewsbury R.A., 1997, "Direct chemiluminescence determination of ascorbic acid using flow injection analysis", Anal. Chim. Acta., Vol. 306, pp. 289–294.
- . Wang S., Schram I.M., Sund R.B., 1990, "Determination of plasma ascorbic acid by HPLC: Method and stability studies", Eur. J. of Pharm. Sci., Vol. 1, pp. 231–239.
- . Esteban MR., Ho CN., 1997, "Enzymic spectrophotometric determination of ascorbic
- . Nishino S.F., Spain J.C., 2004, "Catabolism of nitro aromatic compounds", third ed., Pseudomonas, Kluwer Academic/Plenum Publishers, New York.
- . Nishino S. F., Spain J.C., He Z., 2004, "Strategies for aerobic degradation of nitro aromatic compounds by bacteria: process discovery to field application", CRC, Boca Raton, FL.
- . Jin Y., Jang J.W., Han C.H., Lee M.H., 2000, "Development of ELISA and Immunochromatographic Assay for the Detection of Gentamicin", J of Agri. and Food Chem. Vol. 48, pp. 7639–7643.

٦١. Jurjen ter M., Remco R., Colin J. I., Carel A. G. M., ٢٠١١, "Organic Modification and Subsequent Biofunctionalization of Porous Anodic Alumina Using Terminal Alkynes", *Langmuir*, Vol. ٢٧, pp ١٣٦٠٦-١٣٦١٧.
٦٢. Tseng K.H., Hsieh C.L., Huang J.C., ٢٠١٥, "The Effect of NaCl/pH on Colloidal Nanogold Produced by Pulsed Spark Discharge", *Journal of Nanomaterials*, Vol ٢٠١٥, pp. ٧-١٥.
٦٣. Kazanga I., Tameni S., Piccinotti A., ٢٠١٢, "Psychoactive substances in seriously injured drivers in Denmark", *Forensic. Sci. Int.* Vol. ٢١٥, pp. ٤٦-٤٩.
٦٤. Storhoff J.J., Lazarides A.A., Mucic R.C., ٢٠٠٠, "What Controls the Optical Properties of DNA-Linked Gold Nanoparticle Assemblies?", *J. Am. Chem. Soc.* Vol. ١٢٢, pp. ٤٦٤٠-٤٦٤٥.
٦٥. Conde J., Dias J. T., Grazú V., ٢٠١٤, "Revisiting ٣٠ years of biofunctionalization and surface chemistry of inorganic nanoparticles for nanomedicine", *Front. Chem.* Vol. ٢, pp. ٤٨-٥٠.
٦٦. Madrakian T., Afkhami A., Borazjani M., Bahram M., ٢٠٠٠, "Partial least-squares regression for the simultaneous determination of aluminum and beryllium in geochemical samples using xylenol orange", *Spectrochimica Acta. Part A*. Vol. ٦١, pp. ٢٩٨٨-٢٩٩٠.
٦٧. Luger T.J., Häussler R., ١٩٩٠, "Determination of hemoglobin concentration using the hemoglobin azide method in traumatic emergencies", Article in German. Vol. ٣٩, pp. ١٢٥-١٢٩.
٦٨. Baker W., ١٩٣١, "the determination of hemoglobin in minute amounts of blood by WTJ'S method", From the Department of Biochemistry, School of Medicine, Western Reserve University, Cleveland.
٦٩. Palmer W., ١٩١٧, "the colorimetric determination of hemoglobin", From the Hospital of the Rockefeller Institute for Medical Research, Cleveland.

٧٠. Matias R., Ribeiro P. R. S., Sarraguça M. C., ٢٠١٤, "A UV spectrophotometric method for the determination of folic acid in pharmaceutical tablets and dissolution tests", Anal. Methods, Vol. ٦, pp. ٣٠٦٥-٣٠٧١
٧١. Nagaraja P., Vasantha R.A., Yathirajan H.S., ٢٠٠٢, " Spectrophotometric determination of folic acid in pharmaceutical preparations by coupling reactions with iminodibenzyl or ٢-aminophenol or sodium molybdate-pyrocatechol", Anal. Biochem. Vol. ٣٠٧, pp. ٣١٦-٣٢١.
٧٢. Lebiedzińska A., Dąbrowska M., Szefer P., Marszał M., ٢٠٠٨, "High-Performance Liquid Chromatography Method for the Determination of Folic Acid in Fortified Food Products", Toxic. Mech. and Meth. Vol. ١٨, pp. ٤٦٣-٤٧٧.
٧٣. Yordanov A. T., Wolf N. J., M.Georgiev E., Koch H. F., Falana O. M., ١٩٩٩, "Advances in Endophytic Research", Comments Inorg. Chem., Vol. ٢٠, pp. ١٦٣-١٦٥.
٧٤. Zhang X., Chen Gaozhong Cao M., Hu G., ٢٠١٣, "Determination of Morphine and Codeine in Human Urine by Gas Chromatography-Mass Spectrometry", J. Anal. Methods. Chem. Vol. ١٥, pp. ٦-١٠.
٧٥. Bashir M., Mohammadi M.A., Alkazemi B., ٢٠١٣, "analgesic effect of intraarticular morphine, after arthroscopic knee surgery", Int. J. Pharm. Pharmaceut. Sci. Vol. ٥, pp. ٩٢-٩٥.
- ٧٦.
- <http://dailymed.nlm.nih.gov/dailymed/fda/fdaDrugXsl.cfm?setid=6660d.e3-e30b-40e4-b-fe24c20e26f0ad&type=display>, ٢٠١٥.
٧٧. Chunfang L., Dongxiang L., Gangqiang W., Jie X., Wanguo H., ٢٠١١, "Ambient Air and Hole Transport Layer Free Synthesis: Towards Low Cost CH₃NH₃PbI₃ Solar Cells", Nanoscale Res. Lett. Vol. ٦, pp. ٤٤٠-٤٥٠.
٧٨. Souri E., Amanlou M., ٢٠١٣, "medicinal chemistry", Tehran University of Medical Sciences, Iran. Chemical and pharmacy. Bullet. Vol. ٣, pp. ١٢-١٥.

٧٩. NW A., Hegazy M.A., Abdelkawy M., Abdelfatah R.M., ٢٠١٣, "Simultaneous determination of naphazoline hydrochloride, chlorpheniramine maleate", Pak. J. Pharm. Sci., Vol. ٢٦, pp. ٦٤١-٦٤٨.
٨٠. Maria J., Gallego L., Perez Arroyo J., ٢٠١٣, "Dosimetric comparison of ٣-dimensional conformal and field-in-field radiotherapy techniques for the adjuvant treatment of early stage endometrial cancer", J. Sep. Sci. Vol. ٢٦, pp. ٦٥٠-٦٥٥.
٨١. Eman Frag Y.Z., Gehad Mohamed G., Nour El-Dien F.A., ٢٠١١, "Simple Spectrophotometric Methods for Determination of Tenofovir Fumarate and Emtricitabine in Bulk Powder and in Tablets", Pharma. Anal. Acta. Vol. ٢٢, pp. ٢٠٠-٣٠٠.
٨٢. Sayed N., Hegazy M., Abdelkawy M., Abdelfatah R., ٢٠١٣, "Botanical and genetic characteristics of Farsetia aegyptia Turra growing in Egypt", Bull. Fac. Pharm., Vol. ٥١, pp. ٥٧-٦٨.
٨٣. Salem I. I., Alkhatib M., Najib N., ٢٠١١, "Recent advances in the application of transmission Raman spectroscopy to pharmaceutical analysis", Jord. J. Pharm. Biomed. Anal. Vol. ٥٦, pp. ٩٨٣-٩٩١.
٨٤. Belal F., Sharaf M.K., Din E., Enany N., Saad S., ٢٠١٣, "Direct fluorescence polarization aptamer-based assay for the determination of adenosine", Anal. Meth. Vol. ٢٣, pp. ٩٣٠-٩٣١.
٨٥. Burda C., Chen X., Narayana R., El-Sayed M. A., ٢٠٠٥, "Chemistry and properties of nanocrystals of different shapes", Chemical Reviews. Vol. ١٠٥, pp. ١٠٢٥-١١٠٢.
٨٦. Saha K., Agasti S.S., Kim C., Li X., Rotello M. V., ٢٠١٢, "Gold nanoparticles in chemical and biological sensing", Chemical Reviews. Vol. ١١٢, pp. ٢٧٣٩-٢٧٧٩.
٨٧. Vilela D., Gonzalez M. C., Escarpa A., ٢٠١٢, "Sensing colorimetric approaches based on gold and silver nanoparticles aggregation: Chemical

creativity behind the assay a review", Analytica Chimica Acta. Vol. 701, pp. 40-43

88. HaoHan J., Xu Zh., Li J., Meng X., 2011, "Surface-enhanced Raman scattering analysis of perchlorate using silver nanofilms deposited on copper foils", Research Letters. Vol. 1, pp. 263-273.

89. Yadong Y., Zhi-Yuan L., Ziyi Z.H., Byron G., Sagar V.W., 2002, "Synthesis and characterization of stable aqueous dispersions of silver nanoparticles through the Tollens process", Journal of Materials Chemistry. Vol. 12, pp. 522-527.

90. Saito Y., Wang J., Batchelder D.N., Smith D.A., 2003, "Simple Chemical Method for Forming Silver Surfaces with Controlled Grain Sizes for Surface Plasmon Experiments", Langmuir. Vol. 19, pp. 6807-6811.